

# مهندسی ژنتیک و ایمنی زیستی

دو فصل نامه علمی-پژوهشی مهندسی ژنتیک و ایمنی زیستی، دوره دوم، شماره ۱، بهار و تابستان ۱۳۹۲

صاحب امتیاز: انجمن ایمنی زیستی ایران

مدیر مسئول: دکتر بهزاد قره‌یاضی

سردبیر: دکتر منصور امیدی

دبیر هیات تحریریه و اجرایی: مهندس سمیرا کهک و مهندس مهدیه مجدى

## هیات تحریریه

دکتر فضل الله افراز (استادیار، موسسه تحقیقات علوم دامی کشور)

دکتر منصور امیدی (استاد، دانشگاه تهران، پردیس کشاورزی و منابع طبیعی کرج)

دکتر علی اکبر شاه نجات بوشهری (استاد، دانشگاه تهران، پردیس کشاورزی و منابع طبیعی کرج)

دکتر مسعود توحیدفر (دانشیار، پژوهشکده بیوتکنولوژی کشاورزی ایران)

دکتر بهزاد قره‌یاضی (استاد، پژوهشکده بیوتکنولوژی کشاورزی)

دکتر رضا معالی امیری (دانشیار، دانشگاه تهران، پردیس کشاورزی و منابع طبیعی)

دکتر محمد علی مليوبی (دانشیار، پژوهشگاه ملی مهندسی ژنتیک و زیست فناوری)

دکتر سید ضیاء الدین میرحسینی (دانشیار، دانشگاه گیلان)

## صفحه آرایی: مهندس افسانه شمس و مهندس مليحه نعل چگر

درجه علمی-پژوهشی مجله مهندسی ژنتیک و ایمنی زیستی طی نامه شماره ۸۹/۱۱/۱۸ مورخه ۸۹/۳/۱۱/۸۹۳۶۴ کمیسیون بررسی نشریات علمی کشور تأیید شده است.

مسئولیت محتوای علمی، اطلاعاتی، اسمی نویسنده(گان) و ترتیب آن‌ها به عهده مکاتبه کننده مقاله است.

دو فصل نامه در ویرایش و تخلیص مطالب آزاد است. درج مطالب به منزله تأیید کامل محتوای آن‌ها نیست.

مقالات وارد مسترنده نمی‌شود. نقل مطالب با ذکر مأخذ مجاز است.

نشانی: تهران، انتهای اتوبان همت به سمت غرب، بلوار پژوهش، پژوهشگاه ملی مهندسی ژنتیک و زیست فناوری

صندوق پستی ۱۴۹۶۵/۱۶۱

پست الکترونیک: gebs.j.bs @gmail.com ، تلفن: ۰۲۱-۴۴۵۸۰۳۷۵

پایگاه اینترنتی: www.gebsj.ir

امور چاپ: مرکز نشر دانشگاهی

تیراژ: ۵۰۰

## مهندسی ژنتیک و ایمنی زیستی

دوفصلنامه علمی-پژوهشی مهندسی ژنتیک و ایمنی زیستی، دوره دوم، شماره ۱، شماره پیاپی ۳، بهار و تابستان ۱۳۹۲

### فهرست مطالب

#### مقالات‌های پژوهشی

- ۱-۲۸ مقایسه کشت متداول گیاهان زراعی با گیاهان تراریخته مقاوم به آفات از جنبه اثر بر سلامت محیط زیست، انسان و دام نگین عادلی و بهزاد قره یاضی
- ۲۹-۳۶ بررسی میزان باقیمانده و دوره کارنس حشره کش دیازینون در محصول خیار گلخانه‌ای جیرفت محسن مروتی و مهدی آزادوار
- ۳۷-۴۸ ردیابی ژن *nptII* و پیشبر *nos* در دستگاه گوارش و بافت‌های موشکای صحرایی تغذیه شده با سیب زمینی تراریخته علیرضا ستارزاده، حسن رهنما، مهدی نیکمرد، بهزاد قره یاضی و محمود خسروشاهی
- ۴۹-۵۸ هم ردیفی توالی آنزیم‌های مسیر بیوسنتز اینولین در گیاهان هادی شوریده، سیدعلی پیغمبری، منصور امیدی، محمدرضا نقوی، اسعد معروفی و مرضیه حسینی نژاد
- ۵۹-۷۰ جداسازی بخشی از cDNA ژن ترانسفرین (*TTf*) از رقم به گندم زراعی تحت تیمار تنش شوری نادر رحیمی اسفنجانی و علیرضا تاری نژاد
- ۷۱-۸۰ بهمود کارایی انتقال ژن به روش غیرکشت بافت در گیاهان گندم و برنج با استفاده از اگروروکتریوم صدیقه نصررمزی، محمدمهری سوهانی و محسن ایمان زاده
- ۸۱-۹۰ ارزیابی پاسخ‌های مولکولی دو رقم گندم به قارچ عامل زنگ قهوه‌ای عارفه اصغری، ولی‌اله بابایی‌زاد، محمدعلی تاجیک قنبری و صفرعلی مهدیان

## مقایسه کشت متدائل گیاهان زراعی با گیاهان تراریخته مقاوم به آفات

### از جنبه اثر بر سلامت محیط زیست، انسان و دام

### Comparison between the Impact of Transgenic Insect Resistant Crop Plants and their Traditional Counterparts on Human Health and the Environment

نگین عادلی<sup>۱</sup> و بهزاد قره‌یاضی<sup>۲\*</sup>

Negin Adeli<sup>1</sup> and Behzad Ghareyazie<sup>2\*</sup>

۱- دانشجوی کارشناسی ارشد دانشکده کشاورزی دانشگاه آزاد اسلامی واحد کرج

۲- دانشیار پژوهشکده بیوتکنولوژی کشاورزی ایران

1- College of Agriculture and Natural Resources of the Islamic Azad University at Karaj

2- Agricultural Biotechnology Research Institute of Iran.

\* نویسنده مسئول مکاتبات، پست الکترونیکی: ghareyazie@yahoo.com

(تاریخ دریافت: ۹۰/۱۰/۳ - تاریخ پذیرش: ۹۱/۸/۹)

چکیده

#### واژه‌های کلیدی

کشت بیش از ۱۷۰/۳ میلیون هکتار محصولات تراریخته در جهان در انتهای سال ۲۰۱۲ میلادی که بیش از ۲۰ میلیون هکتار آن به گیاهان تراریخته مقاوم به آفات اختصاص دارد. ضرورت بازنگری در ممانعت از تولید محصولات تراریخته در ایران را بیش از بیش نمایان می‌کند. مخالفین توسعه مهندسی ژنتیک با وجود اینکه قانون ملی اینمی زیستی دولت را بر فراهم آوری تمهدیات لازم برای تسهیل رهاسازی، کاشت، تولید، مصرف و صادرات و واردات محصولات تراریخته مکلف می‌کند همچنان در تلاش هستند تا با وارد کردن ایرادات مختلف مانع از توسعه این فناوری در کشور شوند. این امر به مفهوم تجویز استمرار روش رایج تولید محصولات زراعی در کشور است. بیش از ۹۹ درصد محصولات زراعی کشور ما با استفاده از روش‌های سنتی آگروشیمیابی صورت می‌گیرد. حجم تولید محصولات ارگانیک در کشور به کمتر از یک درصد می‌رسد. بنابراین استفاده از سوم شیمیابی بخش غیرقابل تفکیک زراعت امروز کشور ماست. اما این سوم علاوه بر هزینه‌ای که در سطح خانوار و ملی تحمیل می‌کنند، موجب تهدید سلامت کشاورزان و (به دلیل بقایای سوم) مصرف کنندگان می‌شود. از سوی دیگر اثر منفی غیرقابل اجتناب سوم شیمیابی بر موجودات غیرهدف مانند دشمنان طبیعی آفات غیرقابل اجتناب است. در این مقاله ضمن مرور میزان مصرف، واردات و تولید داخلی سوم حشره‌کش شیمیابی و عوارض سوء آن، آخرین وضعیت تولید گیاهان تراریخته مقاوم به آفات در کشورهای مختلف جهان مورد بررسی قرار گرفته و عوارض موردن اشاره این دو سیستم مبارزه با آفات مورد مقایسه قرار گرفته است.

آفات

سموم شیمیابی

محیط زیست

مهندسي ژنتيک

ایمنی زیستی

## مقدمه

بزرگتری تبدیل شود. اما این شکارچی‌ها توسط حشره‌کش‌ها از بین می‌روند. متأسفانه رفتارهایی که در درازمدت پایدار نیستند ممکن است در کوتاه‌مدت از نظر تجاری سودمند و جذاب باشند و به همین دلیل استفاده از حشره‌کش‌های غیراختصاصی به‌ویژه در جاهایی که بر کشاورزی مقررات نظارتی اعمال نمی‌شود، همچنان ادامه دارد. این تفکر منجر به ایجاد شکافی بین صنعت کشاورزی (و بسیاری از کشاورزان) از یکسو و نوعی اتحاد بین گروههایی با علایق انسان دوستانه که تحت لوای کلی "طرفداران محیط‌زیست" و "توسعه پایدار" جمع شده‌اند از سوی دیگر شده است. به هر حال پیامدهای ناگوار استفاده از حشره‌کش‌های شیمیایی بر روی محیط زیست (از بین رفتن گونه‌های در حال انقراض، موجودات غیرهدف، آلدگی آب‌های زیرزمینی و ...) و سلامت انسان (سرطان‌زاوی، بیماری‌های سیستم عصبی، تنفسی و زادآوری و ...) مستند به شواهد علمی معتبر است (Keifer *et al.*, 2010; McConnell and Hruska 1993).

در پاسخ به حجم انتقادات، صنعت اگردوشیمی به‌طور فعال به دنبال راه‌های کمتر زیان‌آور کنترل آفات حشره‌ای بوده و تعدادی از حشره‌کش‌های کمتر زیان‌آور را ارایه کرده است. به علاوه راهبردهای جایگزینی برای کنترل حشرات آفت مانند کنترل بیولوژیک و استفاده از واریته‌های مقاوم ارایه شده است. اما از نظر تجاری، این راهبردها بازده بالایی که قابل مقایسه با کاربرد سومون حشره‌کش باشند نداشته‌اند. از دید کشاورزان، هزینه روش‌های جایگزین بیشتر و اجرای آنها نیز مشکل‌تر و پیچیده‌تر است و تضمین برابری با استفاده از حشره‌کش‌های عمومی را نیز عرضه نمی‌کنند. همچنین با وجود راهبردهای مدیریت تلقیقی آفات که استفاده از سومون شیمیایی را با استفاده از ژرم‌پلاسم مقاوم و تغییر در کاشت، داشت و برداشت را تلقیق می‌کنند در واقع خسارت حشرات در بیشتر گیاهان زراعی در دو دهه گذشته حتی کمی هم افزایش داشته است (Duck and Evola 1997). تمام این فاکتورها روی هم رفته در شرایطی بدست آمده است که در حال استفاده بی‌رویه از سومون هستیم و هنوز به تغییرات لازمه برای ورود به عرصه پایداری واقعی نرسیده‌ایم.

حمله حشرات از مشکلات لاینفک در کشاورزی است که علاوه بر کاهش عملکرد و کیفیت محصول صدمات زیادی را بر محیط زیست و سلامت انسان بر جای می‌گذارد (Nabati 2010; Yazdi 2010 *et al.*). هر ساله حدود ۲۵ درصد از محصولات غذایی در سراسر جهان توسط حشرات و لارو آنها از بین می‌روند. به عنوان مثال در اروپا لارو *Ostrinia nubilalis*، باعث نابودی ۲۰ درصد از محصول ذرت شد (GMO Compass, 2010).

متأسفانه دستیابی به تولید بیشینه و مبارزه سنتی و مبتقی بر استفاده از سومون شیمیایی مستلزم پرداخت بهای بسیار بالایی است. این بهای می‌تواند تخلیه یا تخریب محیط طبیعی باشد که موجب می‌شود برخی فعالیت‌های کشاورزی در درازمدت ناپایدار باشند. یکی از این فعالیت‌ها استفاده از آفت‌کش‌های غیرانتخابی است که برای مبارزه با آفات حشره‌ای و غیره مورد استفاده قرار می‌گیرند. اگرچه حشره‌کش‌ها برای حل فوری مشکل حمله حشرات به محصولات زراعی بسیار موثر هستند و یکی از اجزای افزایش سریع عملکرد در محصولات حساس به آفات محسوب می‌شوند، اما زیان‌های دراز مدت آنها نیز روشن است. حشره‌کش‌های غیراختصاصی نسبت به موجودات غیرهدف که می‌توانند به‌طور طبیعی جمعیت آفت را تحت کنترل داشته باشند، زیان‌آورند. این مواد بر روی حشرات مفید که به عنوان شکارچی یا پارازیت آفات عمل می‌کنند سعی هستند و بر روی حیوانات عالی نیز که به عنوان شکارچی بر روی آفات گیاهان عمل می‌کنند اثر زیان‌آور دارند. اثر بقایای سومون که تا بالاترین زنجیره غذایی راه می‌پاید و مفیدترین گونه‌های شکارچی را که در رأس زنجیره غذایی قرار گرفته‌اند مسommen می‌کند موضوعی اثبات شده است.

بسیاری از حشره‌کش‌ها به‌ویژه آنها که بر مبنای ارگانوفسفات‌ها هستند برای انسان هم سمیت دارند. به علاوه برای تعیین اینکه اتکای بیش از حد به حشره‌کش‌ها پایدار نیست باید توجه شود که بسیاری از حشرات نسبت به این سومون مقاومت پیدا کرده‌اند. فشار انتخاب بر روی آفت خیلی بالاست و بنابراین مقاومت می‌تواند تنها در مدت چند نسل ایجاد شود. در غیاب شکارچی‌ها که به‌طور طبیعی سطح آفات را پایین می‌آورند، یک گونه آفت می‌تواند نسبت به حالت قبل از استفاده از حشره‌کش به مشکل

جدول ۱- سطح زیر کشت جهانی چهار محصول زراعی تاریخته در سال‌های ۲۰۰۹ تا ۲۰۱۲ (به میلیون هکتار) (James 2009, 2010, 2011 and 2012)

Table 1- Global area of four Biotech Crops in 2009 to 2012 (Million Hectares) (James, 2009, 2010, 2011 and 2012).

Year/ Crop سال/محصول	Canola کلزا	Corn ذرت	Cotton پنبه	Soybean سویا	Others سایر	Total مجموع
2009	6.4	41.7	16.1	69.2	0.7	134
2010	7	46	21	73.3	0.7	148
2011	8.2	51.0	24.7	75.4	0.7	160
2012	9.3	55.6	24.3	81	0.7	170.3

جدول ۲- سطح زیر کشت گیاهان تاریخته مقاوم به آفات در سال‌های ۲۰۰۹ و ۲۰۱۰ (به میلیون هکتار) (James, 2009 and 2010)

Table 2- Global area of GM Crops resistant to pests in 2009 and 2010 (Million Hectares) (James, 2009 and 2010)

Crop and Trait محصول و صفت	2009	2010	Presentage of global area of biotech crops in 2010 درصد سطح زیر کشت گیاهان تاریخته جهان در سال ۲۰۱۰
Corn with pest resistance and herbicide tolerance traits ذرت دارای دو صفت مقاومت به آفات و تحمل به علفکش	26.1	28.8	19
Corn with pest resistance trait ذرت مقاوم به آفات	9.2	10.2	7
Cotton with pest resistance and herbicide tolerance traits پنبه دارای دو صفت مقاومت به آفات و تحمل به علفکش	2.6	3.5	2
Cotton with pest resistance trait پنبه مقاوم به آفات	12.4	16.1	11
Total of GM crops resistatnt to pests جمع گیاهان تاریخته مقاوم به آفات	50.3	58.6	39

جدول ۳- سوم مورد استفاده در روش‌های مبارزه شیمیایی با آفات مهم محصولات عمده کشاورزی که مشابه تاریخته مقاوم به آفات آنها در بازار

صرف جهانی موجودند (Giah Co., 2010; PPO personal communications, Pars Co., 2010)

Table 3- Toxins used in chemical control methods against important pest of major crops that their transgenic insect resistance counterpart are available in global market. (Giah Co., 2010; PPO personal communications, Pars Co., 2010).

محصول	نام فارسی آفت	نام علمی آفت	سموم توصیه شده	فرمولاسیون	صرف در هکtar	کنترل آفات	هزینه تخمینی	صرف	سالانه سم / هکtar
برنج	<i>Chilo suppressalis</i>	۱- لیندین * ۲- دیازینون ۳- دیازینون ۴- کارتاپ*	۱۰۰ گرم در ۱۰۰ مترمربع (خزانه)	WP 25%	۵۰	۱۰۰	۱۰۰	۴۵۲۱۵۰	۴۵۲۱۵۰
		۵- فیپرونیل*	۱۵ کیلوگرم	G 10%	۱	۱ کیلو	۲۵۰۰۰		
		۶- فنتروتیون	۳۰ کیلوگرم	G 5%	۱	۱ کیلو	۱۷۰۰۰		
		۷- دیازینون	۳۰ کیلوگرم	G 4%	۱	۱۱۹۰۰۰	۱/۵ لیتر	۱۱۹۰۰۰	
		۸- فنتروتیون	۲۰ کیلوگرم	G 0.2%	۱	۹۸۰۰۰	۱ لیتر	۹۸۰۰۰	

کرم سبز برگخوار برنج کرم برگخوار تک نقطه‌ای	<i>Naranga aenescens</i> <i>Cirphis unipunctata</i>	۱ کارباریل* ۲- تری کلروفون* ۳- مالاتیون	WP 85% SP 80% EC 57%	۲- کیلوگرم ۱ کیلوگرم ۱ لیتر	۶۵۰۰۰
انواع مگس خزانه	<i>Ephydria spp.</i>	۱- لیندین*	WP 25%	۵۰ گرم در ۱۰۰ متر	مربع ۱۲ گرم در ۱۰۰ متر
کرم ساقه‌خوار (سزامیا)	<i>Sesamia nonagrioides</i>	۱- دیازینون	EC 60%	۹۸۰۰۰ ۱ لیتر	مترا مربع ۹۸۰۰۰ ۱ لیتر
کرم طوفه بر (آگروتیس)	<i>Agrotis segtum</i> <i>Agrotis ipsilon</i>	۱- کارباریل* ۲- دیازینون ۳- اتریمغوس*	WP 85% EC 60% EC 50%	۸۰ کیلو طعمه مسومه در هکتار ۱-۱/۵ لیتر	۴۸۳۰۰
کرم قوزه پنبه ذرت	<i>Helicoverpa spp.</i>	۱- فوزالن ۲- تیودیکارب	EC 35% DF 80%	۱۲۹۰۰۰ ۱ لیتر	۱۲۹۰۰۰ ۱ لیتر
کرم برگخوار کارادرینا	<i>Spodoptera exigua</i>	۱- کارباریل* ۲- فوزالن	WP 85% EC 35%	۳ کیلو گرم با نظر کارشناس	۱۲۹۰۰۰ ۱ لیتر
کرم برگخوار ذرت	<i>Mythimna loreyi</i>	۱- مونوکروتوفوس* ۲- فوزالن	SL 40% EC 35%	۵۰ کیلو طعمه مسوم ۵٪	۱۲۹۰۰۰ ۱ لیتر
تریپس آگروتیس (کرم طوفه بر)	<i>Anaphothrips sp.</i> <i>Agrotis spp.</i>	۱- کارباریل* ۲- دیازینون	WP 85% EC 60%	۱ لیتر	۹۸۰۰۰ ۱ لیتر
پرودنیا (برگخوار مصری)	<i>Spodoptera littoralis</i>	۱- مونوکروتوفوس* ۲- یکی از پایرتریوئیدهای مجاز	SL 40%	۲ لیتر	۸۰ کیلو گرم
کارادرینا شب پره گاما	<i>Spodoptera exigua</i> <i>Plusia gamma</i>	۱- کارباریل* ۲- اندوسولفان*	WP 85% EC 35%	۳ کیلو گرم ۳ لیتر	۱۴۳۰۰۰ ۱ لیتر
تریپس خانواده	<i>Thrips tabaci</i>	۱- اکسی دیمتون میل*	EC 25%	۱ لیتر	۸۵۰۰۰ ۱ لیتر
شنه ها	<i>Aphididae</i>	۲- تیومتون*	EC 25%	۱ لیتر	۸۵۰۰۰ ۱ لیتر
و دیگر حشرات مکنده	<i>Bemisia tabaci</i> <i>Bemisia gossypiperda</i>	۳- دیمتوات ۴- مونوکروتوفوس*	EC 40% SL 40%	۲ لیتر	۹۵۱۶۸ ۲۱۰۰۰
کرم قوزه پنبه	<i>Helicoverpa armigera</i>	۱- تیودیکارب ۲- کارباریل* ۳- اندوسولفان*	DF 80% WP 85% EC 35%	۱ کیلو گرم ۳ کیلو گرم ۳ لیتر	۱۴۳۰۰۰ ۱ لیتر
کرم طوفه بر (آگروتیس)	<i>Agrotis segetum</i> <i>Agrotis ipsilon</i>	۱- کارباریل*	WP 85%	۵۰-۸۰ کیلو گرم طعمه مسموم	سی سی
برگخوار (کارادرینا) و پروانه گاما	<i>Spodoptera exigua</i> <i>Plusia gamma</i>	۱- کارباریل* ۲- اندوسولفان*	EC 60%	۱ لیتر	۹۸۰۰۰ ۱ لیتر
کرم خاردار	<i>Earias insulana</i>	۱- کارباریل*	WP 85% EC 20%	۳ کیلو گرم	۱۴۳۰۰۰ ۱ لیتر

۵ لیتر	G 5%	۳۰ کیلوگرم	در صورت ضرورت کلرپیریفوس* و دیازینون	۲- آزینفوس متیل*	Agriotes lineatus Homophillus coriaceus	کرم‌های مفتولی
۱۲۹۰۰۰	۱ لیتر	۲ لیتر	EC 35%	۱- فوزالن	<i>Aphis gossypii</i> <i>Myzus persicae</i>	شته‌های
۱۴۳۰۰۰	۱-۲ لیتر	۱-۲ لیتر	EC 35%	۲- اندوسلوفان*	<i>Macrosiphum euphorbiae</i>	سیب‌زمینی
۲۱۰۰۰	یک کیلو گرم	یک کیلو گرم	DF 80%	۳- تیودیکارب	<i>Aulacorthum solani</i>	سیب‌زمینی
بر اساس توصیه کارشناس				* سومومی که مصرف آن‌ها در ایران ممنوع شده و یا در حال ممنوع شدن هستند.		

(blindness) آفریقا به کار می‌رود. در حال حاضر در حدود ۱ درصد از بازار سوموم مورد استفاده در کشاورزی (حشره‌کش‌ها، علف‌کش‌ها و قارچ‌کش‌ها) در جهان به فراورده‌های بی‌تی اختصاص دارد (FAO, 2009; Jafari *et al.*, 2009; Jouzani *et al.*, 2008). فراورده‌های تجاری بی‌تی در بردارنده مخلوطی از اسپورها و کریستال‌های خشک این باکتری است. این پودرها بر روی برگ‌ها یا سایر اندام‌هایی از گیاهان که مورد تعذیه آفت قرار می‌گیرند پاشیده می‌شود.

استفاده از این باکتری در کنترل آفات، به دلیل تولید یک پروتئین با فرم کریستالی است. هنگامی که این پروتئین توسط حشرات مصرف می‌شود، در دستگاه گوارش حشره فعال شده و به فرم آندوتوكسین دلتا در می‌آید که باعث از بین رفتن آفت می‌شود. این پروتئین برای انسان به طور کامل بی‌زیان و بلکه مفید است (Jafari and Tohidfar 2007; Ghareyazie 2004; Betz *et al.*, 2001; EPA, 2000; 2001). بیش از ۱۰۰ نوع متفاوت از پروتئین حشره‌کش از گونه‌های مختلف بی‌تی کشف شده است که برای گونه‌های مختلف حشرات از آن استفاده می‌شود. به عنوان مثال، ژن *cryIAb* به منظور از بین بردن پروانه‌ها مؤثر است در حالی که ژن *cry3* بر علیه سوسک‌ها موثر است (Rashidi Monfared *et al.*, 2009; Ghareyazie 2006).

سطح زیر کشت محصولات تاریخته مقاوم به آفات در جهان در سال ۲۰۱۲ میلادی ۱۷۰/۳ میلیون هکتار در ۲۹ کشور توسط ۱۷ میلیون کشاورز بزرگ و خردبنا در جهان، که بیش از ۹۰

مهندسی ژنتیک راهکاری قابل انکا برای مبارزه با آفات در شرایط ذکر شده، ظهور فناوری‌هایی که اجراه می‌دهند ژن‌هایی با منشا خارجی را به گیاهان منتقل کنیم بسیار به هنگام بوده و پس از برخی تردیدهای اولیه مهندسی ژنتیک گیاهان زراعی برای افزایش مقاومت آنها به آفات، امروزه هم توسط صنعت کشاورزی و هم توسط دولت‌ها با اشتیاق زیادی بکار گرفته شده است. این فناوری امکان توسعه "منبع ژن" موجود برای یک گونه زراعی را فراهم می‌آورد. بنابراین مهندسی مقاومت ذاتی به آفات براساس ژن‌های مقاومت از سایر گونه‌های گیاهی یا ژن‌های مقاومت از گونه‌هایی متعلق به سایر سلسله‌ها یا حتی ژن‌های مقاومت به طور کامل جدید امکان‌پذیر شده است. به این ترتیب استفاده از حشره‌کش‌ها می‌تواند حذف شود یا حداقل به طور چشم‌گیری کاهش یابد. بدیهی است که کاهش مصرف حشره‌کش‌ها دارای فواید اقتصادی و زیست‌محیطی فراوان است.

به تدریج با پیشرفت زیست‌شناسی مولکولی و استفاده از زیست‌فناوری در تولید محصولات مرغوب، بدون استفاده از روش‌های زمانبر اصلاحی کشاورزی سنتی، از حدود دو دهه پیش انتقال ژن از باکتری *Bacillus thuringiensis* به گیاهان زراعی امکان‌پذیر شد. این باکتری (که به اختصار تحت عنوان بی‌تی نامیده می‌شود) یک باکتری کشنده حشرات است که در سراسر جهان برای کنترل بسیاری از آفات مهم گیاهی به ویژه لارو بالپولکداران (پروانه‌ها و بیدهای)، سخت بالپوشان و لارو پشه‌های ناقل بیماری کوری (موسم به River

سلامتی انسان و محیط زیست عنوان شده است. در این مقاله سعی شده است که با مقایسه محصولات کشاورزی متدالوں که با مصرف سموم شیمیایی دفع آفات نباتی پرورش می‌یابند با محصولات تاریخته مقاوم به آفات که در ۲۹ کشور دنیا کشت می‌شوند، به بررسی این ادعاهای پرداخته شود.

#### تأثیر سموم شیمیایی دفع آفات

جدول ۳ آفات مهم محصولات زراعی عمده‌ای را که مشابه تاریخته آن هم اکنون در کشورهای مختلف به زیر کشت می‌شوند، روش مبارزه شیمیایی با این آفات در ایران را نشان می‌دهد. سموم مورد استفاده برای کنترل این آفات بیش از ۹۰ درصد سموم مورد استفاده برای کنترل همه حشرات زیان‌آور همه محصولات کشاورزی در ایران را شامل می‌شود.

#### اثر بر روی سلامتی انسان

حشره‌کش‌ها باعث سرکوب سیستم ایمنی بدن، سقط جنین (Edwards 2011)، عدم رشد فکری، اثرهای مخرب ساختمانی در بدن هنگام تولد، سرطان، تومورها (Keifer 1996) و نقص‌هایی در اعمال و بافت‌ها و سلول‌های بدن می‌شوند (Edwards 2011; Edwards 2011; Anonymous 2011). حشره‌کش‌ها دارای اثرهای مخرب و سمی روی دی‌ان‌ای، اندام‌های تولیدمثلی، تداخل در اعمال هورمونی، عقیمی مردان و زنان و دوره‌های قاعدگی نامنظم در زنان هستند (Solati et al., 2008; Keifer 1996). نتایج بدست آمده از بررسی اپیدمیولوژیک موارد مسمومیت که با سموم حشره‌کش (ارگانوفسفره و ارگانوکلر) در بیماران بستری شده در بیمارستان شهدای عشایر خرم‌آباد در شش ماه اول سال ۸۵ بدست آمده است، نشان داد که از بین ۱۵۳ بیمار مسموم مراجعه کننده، ۷۷/۱ درصد با سموم ارگانوفسفره و ۲۲/۹ درصد با سموم ارگانوکلر دچار مسمومیت شده بودند (Mohammadi and Ataii 2008).

برخی از ترکیبات شیمیایی از گروه آفت‌کش‌ها مانند ارگانوفسفره‌ها و کربامات‌ها با فعالیت کولین استراز<sup>۱</sup> تداخل کرده و یا آن را مهار می‌سازند. تنفس، خوردن، جذب از طریق پوست و چشم راههایی هستند که مهار کننده‌های کولین استراز می‌توانند

<sup>۱</sup>کولین استراز یکی از مهم‌ترین آنزیم‌هایی است که برای عملکرد صحیح سیستم عصبی مورد نیاز است.

درصد از آنها در کشورهای در حال توسعه هستند به زیر کشت محصولات تاریخته رفت. کشورهای در حال توسعه‌ای مانند هندوستان و پاکستان نیز به ترتیب با مساحت ۱۰۸ و ۲۸ میلیون هکتار رتبه ۴ و ۸ جهانی در تولید پنبه تاریخته مقاوم به آفات را از آن خود کردند (James 2012). جدول ۱ سطح زیر کشت جهانی محصولات تاریخته از آغاز تا انتهای سال ۲۰۱۲ میلادی را نشان می‌دهد. چنانچه ملاحظه می‌شود با وجود کشت بیش از ۱۰ نوع محصول تاریخته در دنیا ۴ محصول سویا، ذرت، پنبه و کلزا همچنان سهم اصلی محصولات تاریخته را در بازار جهانی دارا هستند.

سطح زیر کشت گیاہان تاریخته مقاوم به آفات به تفکیک نوع محصول در سال‌های ۲۰۰۹ تا ۲۰۱۲ در جدول شماره ۲ نشان داده شده است. چنانچه مشاهده می‌شود در سال‌های ۲۰۰۹ و ۲۰۱۰ میلادی به ترتیب ۵۰/۳ و ۵۸/۶ میلیون هکتار از زمین‌های جهان به زیر کشت محصولاتی رفته‌اند که نسبت به آفات حشره‌ای مقاوم بودند. البته مقادیر کمتری از محصولات تاریخته مقاوم به آفات دیگر نظیر برنج تاریخته مقاوم به آفات نیز طی این سال‌ها در کشورهای ایران و چین به زیر کشت رفته‌اند که آمار دقیقی از میزان آن در دست نیست. البته فهرست محصولات تاریخته ای که در کشورهای مختلف جهان مجوز تولید انبوه دریافت کرده و یا به زیر کشت رفته‌اند بسیار طویل است و آینده نزدیک شاهد توسعه کشت این قبیل محصولات با تنوع بیشتری خواهد بود. جدول پیوست فهرست گیاہان تاریخته مختلفی را که دارای صفت مقاومت به آفات هستند و تا انتهای سال ۲۰۱۰ میلادی در کشورهای مختلف مجوز تولید انبوه دریافت کرده و یا به زیر کشت رفته‌اند را نشان می‌دهد.

اما با وجود رشد روز افزون گیاہان تاریخته در جهان و استفاده بیش از حد کشاورزان ایرانی از سموم شیمیایی، به دلیل مخالفت برخی مدیران دانایی ستیز و فناوری هراس، با وجود تأکیدات قانونی مبنی بر تکلیف دولت برای فراهم‌آوری تسهیلات لازم برای توسعه کشت و کار و مصرف محصولات تاریخته (موضوع قانون ایمنی زیستی)، کشت گیاہان تاریخته در ایران در هاله‌ای از ابهام قرار دارد. یکی از بهانه‌های این مدیران کم‌بهره از دانش روز احتمال بروز آثار منفی ناشی از محصولات تاریخته بر روی

نحوه اثر حشره‌کش بر روی حشره مهم است (Personal communication, Yasini A, PPO سیستمک (مانند متامیستوکس) و سموم نفوذی (مانند دیازینون) نه تنها برای محیط زیست و افراد در تماس با سم خطرناک است، بلکه با نفوذ به داخل گیاه برای مصرف‌کننده هم مشکل‌آفرین است. سم دیازینون بیشترین سم حشره‌کش مورد مصرف در ایران و به ویژه زراعت برنج است. با توجه به اینکه شالیکاران برای عملیات مختلف زراعی مانند وجین دستی ناگزیر از ورود به شالیزارهایی هستند که دارای حداقل به عمق ۲۰ سانتی‌متر آب آلوده با این نوع سم خطرناک هستند، آمار مراجعه به بیمارستان‌ها و شکایت از مسمومیت ناشی از سموم حشره کش دیازینون در فصل کشت و نواحی کشت برنج بسیار بالا است. استفاده از سموم آلی فسفره (مالاتیون، دیازینون، دورسبان، اتیون کومافوس) سبب مسمومیت‌های حاد شده و کار کولین استراز خون را متوقف می‌کند (Anonymous 2010). امروزه استفاده از مخلوط این سموم نیز در بین کشاورزان شیوع پیدا کرده است. در بعضی از کشورهای در حال توسعه و ایالات متحده، مسمومیت آفت‌کش‌ها بیشتر ناشی از مخلوطی از حشره‌کش‌ها است (Blondell 1997; Cole et al., 200; Keifer et al., 1996 شد که ۳۸ درصد از حوادث، شامل مخلوطی از حشره‌کش‌ها است (Keifer et al., 1996) داده‌ها از کالیفرنیا نشان داده است که وقتی حشره‌کش‌ها با هم مخلوط می‌شوند، اثر شدیدی روی چشم و پوست بر جای می‌گذارند (Blondell 1997). تعداد زیادی از این سموم حذف شده‌اند و تعدادی دیگر در حال تعیق هستند (جدول ۳).

#### تأثیر سموم شیمیایی بر روی موجودات غیرهدف و دشمنان طبیعی آفات

بندپایان در برقراری تعادل در زنجیره‌های غذایی اکوسیستم نقش بسیار مهمی دارند، اما بیشتر ترکیبات شیمیایی باعث گسیخته شدن این زنجیره‌های طبیعی می‌شوند (Gahhari et al., 2005). پراکندگی آفت‌کش‌ها به اطراف، مناطق مجاور را آلوده می‌سازد. ورود آفت‌کش‌ها به سطح آب‌های زیرزمینی به اثبات رسیده است. ورود این مواد سمی مثل دیمتوات به آب‌های آزاد، می‌تواند سبب مرگ ماهی‌ها شود که برای گونه‌های بی‌مهره،

انسان را آلوده سازند (Oakeshott et al., 2005). سالانه حدود ۳ میلیون مورد مسمومیت با سموم ارگانوفسفره تخمین زده می‌شود که از این تعداد نزدیک به ۳۰۰۰۰۰ نفر دچار مرگ یا صدمات جدی می‌شوند (Eyer 2003).

#### استعمال تصادفی و ناخودآگاه

اولین قربانیان استعمال حشره‌کش‌ها کشاورزان و خانواده آنها و کارگرانی هستند که در بخش کشاورزی یا در کارخانه تولید سم کار می‌کنند، که خواسته یا ناخواسته بر اثر بی‌دقیقی در دست زدن به حشره‌کش‌ها و یا پوشیدن لباس‌های نامناسب حفاظتی و تجهیزات در معرض آن قرار می‌گیرند (McConell and Hruska 1993). کاهش بیش از ۲۵ درصد سطح کولین استراز سرم (Joshegani et al., 2006) در ۱۷ نفر (۲۷ درصد) از کارگران شاغل در کارخانه تولید حشره‌کش‌های گیاهی مشاهده شده است. در کارگران شاغل در کارخانه تولید حشره‌کش‌های ارگانوفسفره شهر قزوین در سال ۸۸ خطر وجود یکی از علائم تنفسی در معرض مواجهه با حشره‌کش‌های ارگانوفسفره در مقایسه با کارگران گروه شاهد، حداقل ۳/۶ برابر افزایش داشته است (Yazdi et al., 2010). علاوه بر این، حوادث بی‌شماری در اثر مصرف حشره‌کش‌ها در جهان رخ داده است که به مرگ یا بیماری منجر شده است. یکی از موارد اتفاق افتاده در بپال هند گزارش داده شده است، که در آن بیش از ۵۰۰۰ مورد مرگ ناشی از قار گرفتن در معرض انتشار اتفاقی آیسوکسینات‌متیل از کارخانه آفت‌کش بوده است (McConell and Hruska 1993).

اندوسلوفان، که یک حشره‌کش ارگانوفسفره است به علت ایجاد مسمومیت‌های شغلی در هر دو کشورهای در حال توسعه و توسعه‌یافته (Brandt et al., 2001, Murray et al., 2002) به عنوان یک حشره‌کش خطرناک شناخته شده است که مسمومیت با آن منجر به مرگ می‌شود و در صورت زنده ماندن اختلالات عصبی را در بر دارد (Brandt et al., 2001).

#### استعمال آگاهانه و اصولی

استفاده درست از حشره‌کش‌ها می‌تواند تا حدودی از خطرات آن بر روی سلامت انسان‌ها بکاهد (Meulenbelt and De Vries 1998). توجه به نوع سم (کلره یا فسفره) بودن آن و این که متناسب با گیاه انتخاب شود و نیز توجه به

کاهش جمعیت دشمنان طبیعی آفات، امکان کشت بدون سمپاشی وجود نخواهد داشت و طغیان آفات رخ خواهد داد.

هزینه استفاده از سوم شیمیایی در سطح کشاورز نیازهای مختلف کشاورزان و تنوع رو به تزاید آفات، منجر به تولید حشره‌کش‌های متنوع می‌شود. تولیدکنندگان حشره‌کش‌ها باید به طور کامل به نیازهای خریداران آگاهی داشته باشند. کیفیت و قیمت حشره‌کش‌ها دو فاکتور مهم در انتخاب آنها توسط خریداران هستند. بطور حتم مصرف کنندگان حشره‌کش‌ها، تصمیم برای خرید حشره‌کش را بر اساس سود حاصله، بنا می‌نهند. در واقع مصرف کنندگان انتظار بازگشت هزینه مصرف حشره‌کش‌ها را به همان اندازه که در سایر روش‌های کترول (غیر شیمیایی) سرمایه‌گذاری کرده‌اند، دارند. بنابراین صنعت حشره‌کش‌ها باید قادر به تحقق بخشیدن به نیازهای مختلف مصرف کنندگان باشد.

بسیاری از تولید کنندگان و فروشنندگان سوم شیمیایی با تجزیه و تحلیل اقتصادی که در آنها هزینه‌های کل ناشی از کاربرد حشره‌کش‌ها را در نظر نمی‌گیرند، استفاده بیشتر از آنها را توجیه‌پذیر می‌کنند. بر طبق گزارشی از سازمان حفظ نباتات کشور، مبارزه با آفات نباتات زراعی از ۲۷۱۱.۸۵۰ هکتار در سال ۸۷-۸۸ به ۲۰۹۷.۳۰۳ هکتار در سال ۸۸-۸۹ رسیده است (Vishlaghi et al., 2009).

مبارزه شیمیایی با آفات علاوه بر هزینه‌های غیرمستقیم ناشی از درمان عوارض سوء مصرف سوم، هزینه مستقیم هنگفتی را نیز به کشاورزان تحمیل می‌کند. این هزینه‌ها مشتمل بر هزینه خرید سم، خرید یا اجاره سمپاش، نگهداری سم و سمپاش، هزینه کارگر برای سمپاشی و هزینه‌های ناشی از بهداشت و درمان است. اما در منابع گاهی هزینه مبارزه شیمیایی با آفات به بهای پرداخت شده بابت خرید سم و یا حداقل هزینه کارگری سمپاشی محدود می‌شود که یا تعمدی برای ادامه استفاده از سوم شیمیایی در آن وجود دارد و یا ناشی از ساده‌انگاری و محاسبه اشتباه است. جدول ۳ به صورت انحصری هزینه خرید سم برای هر هکتار را نشان می‌دهد. منبع معتبری که کلیه هزینه‌های استفاده از سوم شیمیایی برای کترول آفات گیاهان زراعی در ایران را برآورد کرده باشد به دست نیامد.

سمی‌تر از ماهیان است. آب آشامیدنی انسان گاهی اوقات فراتر از سطح قابل قبول اینمی، آلوده است (Anonymous 2011). بررسی و تعیین میزان باقیمانده حشره‌کش‌های ارگانوفسفره مالاتیون و دیازینون (که بیشتر برای کترول کرم ساقه‌خوار برنج و آفات مرکبات استفاده می‌شود) در حوزه آبریز سد امیرکبیر کرج نشان داده است که میزان باقیمانده این سوم در ایستگاه‌های ابتدایی که در نزدیکی باغ‌ها قرار دارند، ۱ تا ۲ ماه پس از شماپاشی قابل شناسایی بوده و بیش از حد مجاز است (Shayegi 2008).

رسوبات لایروبی آبراه‌ها در ایالات متحده با باقیمانده سوم شیمیایی مثل پیروتروئیدها بیشتر آلوده می‌شود. اثرات حشره‌کشی پیروتروئیدها مربوط به استرهای کاتابولیک اسید pyrethroidic و اسید chryosanthemic است. این اسیدها به شدت آلیوفیل هستند و به سرعت به درون دستگاه عصبی حشرات نفوذ می‌کنند (Gyah Co. 2010). این سم علاوه بر اثر کشنده‌گی بالا (Chen et al., 1991; Cole et al., 2000) و اثرهای مخبری بر Gammon et al., 1982; Chen et al., 1991) و تولید مثلی جانوران بر جای می‌گذارد (Nakamora et al., 2007). حشره‌کش و کنه‌کش آبامکتین نیز برای آبریان و زنبور عسل خطرناک محسوب می‌شود، به همین دلیل در سال ۸۸ از فهرست سوم مجاز کشور حذف شدند (جدول ۳).

شکارگر آندرالوس (*Andralus spinidense*) یکی از مفیدترین حشرات و دشمنان طبیعی آفت‌ها در مناطق شمالی و برنج خیز کشور است که هم از کرم ساقه‌خوار برنج و هم از کرم سبز برگ‌خوار برنج تغذیه می‌کند. اما جمعیت این حشره مفید در نتیجه استفاده بی‌رویه از حشره‌کش‌های شیمیایی که به طور متداول در شالیزارهای ایران مصرف می‌شود رو به کاهش است (Mohaghegh and Amirmaafi 2007; Rao and Rao 1979).

با توجه به اینکه حشره‌کش‌ها و سایر آفت‌کش‌ها اختصاصی عمل نمی‌کنند بنابراین استفاده از سوم حشره‌کش ضمن کاهش دشمنان طبیعی آفات موجب برهم خوردن تعادل اکوسیستم‌ها شده و موجب می‌شود اتكای مبارزه با آفات به سوم شیمیایی بلند مدت باشد زیرا پس از یک دوره استفاده از این سوم و

جدول ۴- وضعیت واردات مواد مؤثره و محصول آماده حشرهکش در سال ۱۳۸۸ (Nabati 2010).

Table 4: Imports status of pesticide active ingredients and final products in 2009 (Nabati 2010).

حشرهکش غیرخانگی Non- domestic pesticide	مواد موثره			محصول آماده		
	Active Ingredients			Final Product		
	متوجه قیمت وارداتی (دلار/کیلوگرم) The average price of imported product (USD/ KG)	ارزش (هزار دلار) Price (USD \$)	میزان (تن) Amount (tons)	متوجه قیمت وارداتی (دلار/کیلوگرم) The average price of imported product (USD/KG)	ارزش (هزار دلار) Price (USD \$)	میزان (تن) Amount (tons)
	6.22	3163	509	8.27	22098	2671

جدول ۵- میزان واردات و تولیدات داخلی سموم حشرهکش در سال ۱۳۸۸ (تن).

Table 5- Rate of imports and domestic production of pesticide in 2009 (Tons)

** تولید	Production**	* واردات	Import*
	18000	2000	

.(Personal communication, Dr. Kalantar, PPO) \* مصاحبه شخصی، با دکتر کلانتر مدیر امور سموم و سپاپشها

\*\* آمارنامه کشاورزی. جلد دوم (Anonymous 2009).

.(Nabati 2010)

میزان مصرف آفتکش‌های دنیا حدود ۲/۵ میلیون تن است. با توجه به اینکه میانگین استفاده از حشرهکش‌ها در جهان ۲۵/۵ درصد است، از این‌رو میزان مصرف انواع سموم در ایران کمتر از ۱ درصد مصرف جهانی است. بر اساس اطلاعات موجود استان‌های تهران، قزوین، مازندران و سمنان و بیشترین تعداد واحدهای آفتکش‌ها را دارا هستند و حدود ۶۰ درصد واحدهای فعال دارای مجوز صنعتی در این ۴ استان مستقر هستند حشرهکش را در سال ۱۳۸۸ نشان می‌دهد.

#### نقش مهندسی ژنتیک در کنترل آفات

طی استفاده مکرر از سموم حشرهکش، حشرات نسبت به سموم قبلی مقاومت پیدا می‌کردند. به همین دلیل در دهه ۸۰ میلادی با روی کار آمدن علم بیوتکنولوژی مدرن، مبارزات گسترش‌ای برای عدم استفاده از سموم و مواد شیمیایی در کشاورزی، صورت گرفت (Mehrabi 2006). یکی از مهمترین کاربردهای استفاده از مهندسی ژنتیک در کشاورزی انتقال ژن‌های *cry* (از باکتری

#### هزینه‌های ارزی و ریالی در سطح ملی

با وجود مصرف بیش از حد حشرهکش‌ها در آمریکا هنوز ۳۷ درصد از محصولات کشاورزی این کشور در نتیجه خسارت آفات از بین می‌رود. از سوی دیگر مصرف حشرهکش‌ها سالانه ۱/۱ میلیارد دلار به بهداشت عمومی خسارت وارد می‌کند (Anonymous 2010). در ایران بر اساس اطلاعات سامانه اطلاعات صنعتی کشور ۱۱۵ واحد تولیدی با جمع ظرفیت ۳۵۰ هزار تن در زمینه تولید آفتکش‌ها فعالیت دارند که سهم تولید حشرهکش‌ها از آن ۵۲ واحد با ظرفیت ۲۱۸۰۰۰ تن (درصد) است. در ۵ سال گذشته، بیشترین حجم واردات مواد موثره مربوط به علف کش‌ها با سهم ۳۸ درصدی و پس از آن حشرهکش‌ها با سهم ۳۲ درصد است (Nabati 2010).

وضعیت واردات مواد موثره آفتکش‌ها در سال ۸۸ به میزان ۱۰۳۸۷ هزار دلار و به ارزش ۷۰۹۵۹ هزار دلار و واردات محصول آماده به میزان ۲۰۹۹ تن و به ارزش ۱۶۳۱۷ هزار دلار است. بیشترین قیمت از گروه آفتکش‌ها مربوط به حشرهکش‌ها با قیمت هر کیلوگرم ۸/۲۷ دلار (با سهم وزنی ۲۶ درصد) است

تولید کرد. پس از آن، در فاصله سال‌های ۱۹۹۵ تا ۱۹۹۶، ۳۵ گیاه تواریخته تولید شد که حدود ۸۰ درصد آنها مربوط به دو کشور آمریکا و کانادا است. تا سال ۱۹۹۹، بین ۲۵ تا ۴۵ درصد تولید برخی از محصولات اصلی زراعی (ذرت، سویا و غیره) در آمریکا، با استفاده از گیاهان تواریخته صورت می‌گرفت (ISAAA 2005). در حال حاضر، بر طبق گزارشات منتشر شده از سرویس بین‌المللی دستیابی و استفاده از بیوتکنولوژی کشاورزی، در سال ۲۰۱۰ آمریکا با تولید ذرت، سویا، پنبه، کلزا، چغندر قند، یونجه، خربزه درختی، کدو با مساحت ۶۶/۸ میلیون هکتار، کماکان در صدر کشورهای تولیدکننده این محصولات قرار دارد و سه کشور پاکستان، میانمار و سوئد برای اولین بار در کنار سایر کشورها جزو تولیدکننده‌گان قرار گرفتند. کشور آلمان نیز دوباره کشت محصولات تواریخته را از سر گرفته است (ISAAA 2009).

**اثر بر روی موجودات غیر هدف و دشمنان طبیعی**  
استفاده از باکتری باسیلوس توریجینسیس (Bt) گیاه را قادر به تولید پروتئینی می‌سازد که برای حشرات کشنده است (Ghareyazie 2004; Mohsenpoor et al., 2009; Edwards 1993; Wesseling et al., 2011; Karimi Andani 2009; WHO 2009) باکتری به گیاه، علاوه بر مقاومت در اثر حمله حشرات، مصرف سموم شیمیایی کاهش پیدا کرده و پرنده‌گانی نظیر چکاوک و هدهد که در مزارع پنبه دیده می‌شوند و همین‌طور گونه‌های در حال انقراض دیگر نیز کمتر در معرض خطر نابودی قرار می‌گیرند (Anonymous 2010b). احیای مراعع، جنگل‌ها، حفظ تنوع گونه‌های گیاهی و جانوری در مناطق کویری و بیابانی از دیگر عرصه‌های کشاورزی است که با کمک ژنتیک مولکولی روند سریع تری یافته است (Anonymous 2010b).

#### اثر بر سلامتی انسان

با توجه به اینکه بیش از ۸۰۰ میلیون نفر در جهان در فقر و گرسنگی به سر می‌برند، سالانه هزینه‌های هنگفتی صرف تولید و واردات سم می‌شود و انسان‌های زیادی در اثر تماس مستقیم و یا غیرمستقیم از طریق مصرف محصولات سمی دچار آسیب‌های جبران‌ناپذیری می‌شوند (Rashidi Monfared et al., 2009). استفاده از محصولات تواریخته به دلیل وجود ژن‌های مقاومت به آفات در گیاه این مشکل را حل کرده است به طوری در ۲۹

باسیلوس توریجینسیس) به گیاهان است. گیاهانی که بدین وسیله خصوصیات و صفات جدید پیدا می‌کنند تواریخته نامیده می‌شوند. این گیاهان تغییریافته می‌توانند قابلیت مقابله با هر نوع آفات نباتات زراعی را داشته باشند (Saifnejhad et al., 2007; Mohsenpoor et al., 2009).

در سال ۱۹۹۶ کاشت محصولات تواریخته در سراسر جهان به گونه‌ای رواج پیدا کرد که ایران هم، همپا با سایر کشورها برنج تواریخته مقاوم به کرم ساقه‌خوار، که بیشترین مقدار سم برای مقابله با آن مصرف می‌شود را تولید کرد. دستیابی ایران به این فناوری مهم توجه همگان را به خود جلب کرد چرا که این برنج که طارم مولاًی نامگذاری شد اولین برنج تواریخته رهاسازی شده در جهان و اولین محصول تواریخته کشورهای مسلمان و منطقه خاورمیانه است که به سطح مزرعه راه یافته است و صدھا کشاورز ایرانی نیز آن را تولید کرده‌اند. بدین ترتیب کاهش مصرف سموم، محیط زیست و دشمنان طبیعی و مفید موجود در مزارع برنج مانند کفسدووزک‌ها، ماهی‌ها و به خصوص کشاورز را که در اثر تماس با این سموم دچار مشکلات زیادی می‌شد (Ghareyazie 2006; Malboobi et al., 2005; Zaidi et al., 2005) محفوظ می‌داشت. این گیاهان رواج پیدا کرده است به گونه‌ای که کشورهای کوچک و در حال توسعه نیز برای رهایی از آفات به کاشت این گیاهان روی آورده‌اند.

#### وضیعت در سطح جهانی

آمریکا با میزان مصرف بالغ بر ۰/۵ میلیون تن از کل سهم مصرف آفت‌کش‌ها، رتبه اول را در دنیا دارد. بیشترین سهم مصرف آفت‌کش‌ها در آمریکا متعلق به علف‌کش‌ها است، به همین دلیل اولین کشوری بود که به دنبال رهایی از هزینه‌های بالا و اثرهای مخرب سموم شیمیایی با استفاده از علم بیوتکنولوژی در سال ۱۹۸۶ به کاشت تباکو تواریخته دست یافت. همچنین در کشور فرانسه نیز نخستین آزمایش‌های مزرعه‌ای، با تباکوی تواریخته صورت گرفت (Anonymous 2010b).

به دنبال تولید گیاهان تواریخته کشور چین در سال ۱۹۹۰، تولید گیاهان تواریخته (تبناکو) را به شکل تجاری آغاز کرد. آمریکا نیز در سال ۱۹۹۴، گیاه تواریخته گوجه‌فرنگی را به شکل تجاری

اعتنایی که خطر یا زیان این محصولات را تأیید کند، تا زمان انتشار این گزارش تحقق نیافته و احتمال وقوع آن نیز نزدیک به صفر است (ISAAA 2009; Malboobi *et. al.*, 2005).

**سلامتی محصولات تاریخته به تأیید تجربی**  
مشکل اساسی که در رابطه با کاشت گیاهان تاریخته مطرح می‌شود مسئله جریان ژنی (شار ژنی) است. جریان ژنی انتقال ناخواسته ژن‌های نوترکیب از گیاه تاریخته که ژن به دو صورت افقی یا عمودی انتقال پیدا می‌کند. در انتقال افقی، ژن‌ها بین گونه‌هایی که از نظر جنسی سازگار نیستند و متعلق به گروه‌ای تاکسونومیکی هستند جابجا می‌شوند. در این مورد ادعا شده است که انتقال افقی ژن از باکتری‌های خاک یا باکتری‌های موجود در دستگاه گوارش گیاه‌خواران، منجر به تولید سویه‌های باکتریایی جدیدی می‌شود که دارای ژن نشانگر (بویژه ژن‌های مقاومت به آنتی‌بیوتیک) یا تراژن‌های اصلی باشد. اما احتمال این انتقال از گیاهان تاریخته به میکروب‌ها بسیار کم است زیرا هنوز هیچ مدرکی برای اثبات این ادعا پیدا نشده است (Rahnama 2008; Azmi *et. al.*, 2006).

در انتقال عمودی که به معنی انتقال دی‌ان‌ای بین گیاهانی است که حداقل سازگاری جنسی را با هم دارند، یکی از روش‌های آلودگی تراژن است که از طریق پخش دانه گرده گیاه تاریخته صورت می‌گیرد که منجر به تولید بذرهای هیرید می‌شود (Rahnama 2006, Azmi *et. al.*, 2009). با وجود گزارشاتی که در این مورد از آلودگی داده شده است با این وجود در طی ۱۶ سال تغذیه بیش از نیمی از مردم ۶ میلیارد نفری جهان از ۵۸/۶ میلیون هکتار میلیارد تن محصول تاریخته حتی یک گزارش تایید شده مبنی بر بروز هر نوع اثر سوء و ناخواسته ناشی از تغذیه انسان یا دام از این نوع محصولات وجود نداشته است (ISAAA 2009).

**سلامتی محصولات تاریخته با پشتونه پژوهشی**  
درباره اینمنی زیستی و ارزیابی مخاطرات احتمالی پروتئین‌های *cry* در گیاهان تاریخته، محققان بسیاری در جهان و بخصوص در ایران، به دلیل مخالفت‌های برخی از دولت‌مردان، به بررسی این آسیب‌ها پرداخته‌اند. نتایج بررسی پروتئین‌های *cry* با استفاده از روش ۸۰ آمینو اسیدی هیچگونه آرژی‌زایی از این گیاهان را

کشور ۹۰ درصد از کشاورزان این محصولات را کشت می‌کنند (ISAAA 2009). با ارزیابی‌هایی که پژوهشگران بر روی این گیاهان و غذاهای حاصل از آن انجام داده‌اند تاکنون هیچ نوع گزارش اثبات شده‌ای در مورد سمیت محصولات تاریخته به دست نیامده است و بارها سازمان‌های بهداشت جهانی و خواروبار جهانی عدم سمیت محصولات تاریخته را تأیید کرده‌اند (WHO 2003).

**سلامتی محصولات تاریخته به تأیید سازمان‌های جهانی بهداشت**

استفاده از محصولات تاریخته طی بیانیه‌های مختلف از سوی سازمان‌های بهداشت جهانی و خواروبار جهانی به کرات تایید شده است (WHO 2003)، اما به دلیل شباهت و سوال‌های زیادی که در مورد سلامتی غذاهای ناشی از محصولات تاریخته در بعضی از دولت‌ها بوجود آمده، با استفاده از برجسته‌ترین دانشمندان جهان در حوزه علم ژنتیک، سازمان بهداشت جهانی محصولات تاریخته و غذاهای حاصل از آن را، با انتشار مجموعه‌ای از ۲۰ سوال و پاسخ در سال ۲۰۰۳، سلامتی استفاده از این محصولات را تأیید کرددند (WHO 2003). یکی از سوالاتی که در این مجموعه مطرح شد به این شرح است:

"آیا غذاهای ناشی از محصولات تاریخته (مهندسی ژنتیک شده) سالم و بی‌زیان هستند؟"

پاسخ سازمان بهداشت جهانی به این شرح است.  
"موجودات تاریخته مختلف دارای ژن‌های متفاوتی هستند که با روش‌های مختلفی منتقل شده‌اند. این امر به این مفهوم است که اینمنی غذاهای ناشی از هر یک از موجودات تاریخته باید به صورت مورد به مورد ارزیابی شود. غذاهای ناشی از موجودات تاریخته‌ای که امروزه در بازار جهانی یافت می‌شوند مورد بررسی‌ها و تجزیه و تحلیل‌های مختلف و تخمین ریسک قرار گرفته و تایید شده‌اند و خطری برای سلامتی انسان ندارند. به علاوه در کشورهایی که این محصولات تایید و مصرف شده‌اند هیچ اثر سویی بر روی سلامتی انسان دیده نشده است".

بر طبق بررسی‌های انجمن اینمنی زیستی ایران نیز که توسط متخصصین این حوزه صورت گرفته است، هیچ مستند علمی قابل

هکتار مبارزه شیمیایی و حدود ۲/۵ میلیون هکتار عملیات مبارزه غیرشیمیایی صورت می‌پذیرد. با وجود خدمات جانی و محیطی بسیاری که در ادامه استفاده از سموم وجود دارد و با وجود عدم هر نوع مستندی در مورد زیان‌آور بودن محصولات تاریخته، اسرار مخالفین دانایی ستیز و فناوری هراس برای مخالفت با تولید این گیاهان در داخل کشور می‌تواند برای سم فروشان و واردکنندگان سموم شیمیایی نفع داشته باشد.

کرم ساقه خوار برنج یکی از آفات کلیدی برنج در منطقه‌ی مازندران است. با توجه به اهمیت این آفت در ایجاد کاهش معنی‌دار در عملکرد محصول، کنترل شیمیایی علیه آن در شمال ایران از مرحله‌ی خزانه آغاز می‌شود و همین امر باعث آلودگی‌های شدید زیست محیطی و آسیب شدید به سلامتی انسان می‌شود. عملکرد مبارزه با این آفت در سال ۸۸ برابر با ۴۶۰۶۵۵ هکتار برآورد شده است، که این میزان مصرف سم برای کشوری که به تولید محصول تاریخته آن دست یافته است بسیار بالا و صدمات آن جبران ناپذیر است. (Ghareyazie 2004).

اصولاً کشاورزان آفت‌کش‌هایی را درخواست می‌کنند که دارای ویژگی‌های تأثیر مناسب بر کنترل آفات، هزینه خرید آفت‌کش، سهولت کاربرد بی‌خطر برای محصول، کارگر، کارگر مزرعه و مصرف کنندگان محصولات باشند. اگرچه بخش ترویج جهاد کشاورزی نحوه و میزان استفاده از سموم را آموزش می‌دهد اما علاوه بر این مساله، نیاز به نظارت بر مصرف آفت‌کش‌ها ضروری و اجتناب ناپذیر است.

اینکه گفته می‌شود کاشت گیاهان تاریخته به مکانیسم‌هایی که آفت نیستند و به نوعی برای گیاهان مفید هستند اثر زیانباری را بر جای می‌گذارد، دلیل منطقی برای عدم استفاده از این گیاهان نیست، زیرا تخریب محیط زیست و اکوسیستم‌های طبیعی با کاشت گیاهان متداول زراعی صورت می‌گیرد که به دلیل استفاده بیش از حد سموم دفع آفات نباتی که یکی از اصلی‌ترین آلاینده‌های آب نیز محسوب می‌شوند علاوه بر این باعث نابودی موجودات نیز محسوب می‌شوند (FAO 2009; FAO 2011; James 2010). در دهه ۱۹۴۰ میلادی به دلیل قدرت بسیار بالای سموم شیمیایی در این برد حشرات موجود در طبیعت مانند پشه آنوفل مalaria و آفات نباتی (WHO 2009)، تنها راه حل و

نشان نداده است (Behzadi Rad et al., 2009; Josheghani et al., 2007). روش‌هایی بر اساس زنجیره پلیمراز، ردیابی پرتوئین‌های نوترکیب به وسیله تکنیک ELISA دانشمندان با مطالعه روی پروتئین *cry1Ab* مصرف شده توسط پروانه مونارک که یکی از آفات گیاه ذرت محسوب می‌شود ثابت کردند که جمعیت پروانه مونارک مواجه شده با گیاه تاریخته تنها ۰/۶ درصد از کل جمعیت حشره در شمال آمریکا را دارد، یعنی دانه گرده حاوی پروتئین *cry1Ab* در شرایط آزمایشگاهی اثر ناچیزی روی پروانه مونارک داشت (Jafari and Noroozi 2009; Dively et al., 2004). امروزه از ژن تغییریافته پروتئین *cry1Ac* نیز در پلاسمد *pcry1Ac-npt* با دو T-DNA مجزا برای ترازیش گیاه *Helicoverpa armigera* استفاده شده است، اما هنوز نتایج آن در حال بررسی است (Moshtaghi 2010).

سازمان‌های بین‌المللی مانند سازمان خواربار و کشاورزی، سازمان بهداشت جهانی، کمیسیون اروپا، آکادمی فرانسه پزشکی، انجمن پزشکی آمریکا، انجمن آمریکایی و سم شناسی سلامت غذاهای حاصل از گیاهان تاریخته را مورد بررسی قرار دادند و آنها را برای سلامت انسان امن می‌دانند (ISAAA 2009).

### نتیجه‌گیری

فرایند کشف و پیشرفت حشره‌کش‌ها امری طولانی مدت است. معمولاً ۸ تا ۱۰ سال زمان و میلیون‌ها دلار هزینه جهت آزمایشات و ثبت یک حشره‌کش نیاز است. در طول این فرایند نگرش و نیازهای مصرف کنندگان و بازار پسندی در حال تغییر است. این در حالی است که الزامات قانونی، وجود حشره‌کش‌های رقیب، قیمت و ... در طول چند سال می‌تواند تغییر کند. بنابراین تولید حشره‌کش‌های جدید بسیار ریسک‌پذیر است. مصرف کنندگان با توجه به منطقه جغرافیایی، شرایط آب و هوایی، تراکم آفات بومی و عملیات مدیریتی کنترل آفات نیازهای مختلفی از نظر انتخاب آفتکش‌ها دارند (Nabati 2010).

مسئله نظارت بر نوع و میزان مصرف سموم در محصولات کشاورزی بحث مهم و حساسی است که در کشور ما آن‌طور که شایسته است انجام نمی‌شود. سالانه در سطحی حدود ۱۲ میلیون

بر نخورده‌اند.

پیش‌بینی می‌شود که تا سال ۲۰۱۵ میلادی، تعداد گرسنگان جهان، با زیر کشت بردن محصولات تاریخته به نصف مقدار کنونی کاهش پیدا کند و نبود امنیت غذایی، کیفیت و سلامت غذا، با کاهش استفاده بی‌رویه از سموم شیمیایی و آلودگی محیط زیست افزایش می‌یابد (Ghareyazie 2006).

چاره نجات برای تأمین غذا و پیشگیری از حمله آفات به مزارع، استفاده از مواد شیمیایی بود (FAO 2009a, 2011 b and c)، اما امروزه با پیشرفت علم و دستیابی به گیاهان تاریخته دلیلی برای استفاده از سموم شیمیایی وجود ندارد. همان‌گونه که کشورهای بیشماری در دنیا به کشت این محصولات پرداخته‌اند و با مصرف آنها تا کنون به مشکلی برای انسان و موجودات زنده دیگر

جدول پیوست- فهرست محصولات تاریخته مقاوم به آفات که در کشورهای مختلف مجوز تولید انبوه دریافت کرده‌اند (James 2010)

Attached table- List of GM crops resistant to pests in different countries that have received the license for mass production. (James 2010)

نام کشور Country	نام محصول Crop	صاحب فناوری	نوع صفت Trait	تعداد رخدادهای مصوب Number of approved events
آرژانتین Argentina	پنبه Cotton	Monsanto	مقاومت به آفات Pest resistance	2
	پنبه Cotton	Monsanto	مقاومت همزمان به آفات و علفکش Pest resistance and herbicide tolerance (Simultaneous resistance)	1
	ذرت Corn	Syngenta	مقاومت همزمان به آفات و علفکش (Simultaneous resistance)	2
	ذرت Corn	Syngenta	مقاومت به آفات Pest resistance	1
	ذرت Corn	Decalb Genetics	مقاومت همزمان به آفات و علفکش (Simultaneous resistance)	1
	ذرت Corn	Monsanto	مقاومت همزمان به آفات و علفکش (Simultaneous resistance)	3
	ذرت Corn	Monsanto	مقاومت به آفات Pest resistance	2
	ذرت Corn	باير	مقاومت همزمان به آفات و علفکش (Simultaneous resistance)	1
	ذرت Corn	مايكروزن	مقاومت همزمان به آفات و علفکش (Simultaneous resistance)	1
	پنبه Cotton	Monsanto	مقاومت به آفات Pest resistance	3
آفریقای جنوبی South Africa	پنبه Cotton	Monsanto	مقاومت همزمان به آفات و علفکش (Simultaneous resistance)	2
	ذرت Corn	Monsanto	مقاومت به آفات Pest resistance	2
	ذرت Corn	Monsanto	مقاطومت همزمان به آفات و علفکش (Simultaneous resistance)	3
	ذرت Corn	Syngenta	مقاطومت به آفات	1

	Corn	Pest resistance	
	ذرت	مقاومت همزمان به آفات و علفکش	
	Corn	(Simultaneous resistance)	1
	ذرت	مقاومت همزمان به آفات و علفکش	
	Corn	(Simultaneous resistance)	1
	پنبه	مقاآمت به آفات	
	Cotton	daw	3
	پنبه	Pest resistance	
	Cotton	Syngenta	2
	پنبه	مقاآمت به آفات	
	Cotton	Monsanto	2
	پنبه	مقاآمت همزمان به آفات و علفکش	
	Cotton	(Simultaneous resistance)	1
	پنبه	مقاآمت همزمان به آفات و علفکش	
	Cotton	Calgene	1
	ذرت	مقاآمت به آفات	
	Corn	Monsanto	5
	ذرت	مقاآمت همزمان به آفات و علفکش	
	Corn	(Simultaneous resistance)	10
	ذرت	مقاآمت همزمان به آفات و علفکش	
	Corn	(Simultaneous resistance) Pests & Lysine	1
	ذرت	مقاآمت به آفات	
	Corn	Pest resistance	3
آمریکا USA	ذرت	مقاآمت همزمان به آفات و علفکش	
	Corn	(Simultaneous resistance)	6
	ذرت	مقاآمت همزمان به آفات و علفکش	
	Corn	(Simultaneous resistance)Pests & Disease	1
	ذرت	مقاآمت همزمان به آفات و علفکش	
	Corn	- پایونیر داو	7
	ذرت	مقاآمت همزمان به آفات و علفکش	
	Corn	پایونیر	2
	ذرت	مقاآمت همزمان به آفات و علفکش	
	Corn	(Simultaneous resistance)	2
	ذرت	مقاآمت همزمان به آفات و علفکش	
	Corn	Dekalb Genetics	1
	ذرت	مقاآمت همزمان به آفات و علفکش	
	Corn	مایکوژن	1
	سیب‌زمینی	مقاآمت به آفات	
	Potato	Monsanto	4
	سیب‌زمینی	Pest resistance	
	Potato	Monsanto	7
	سویا	مقاآمت به آفات	
	Soybean	Monsanto	1
	سویا	Pest resistance	

	گوجه‌فرنگی Tomato	Monsanto	مقاومت به آفات Pest resistance	1
	پنبه Cotton	Monsanto	مقاومت به آفات Pest resistance	2
	پنبه Cotton	Monsanto	مقاومت همزمان به آفات و علفکش (Simultaneous resistance)	2
	پنبه Cotton	Syngenta	مقاومت به آفات Pest resistance	2
اروپا Europe	پنبه Cotton	Syngenta	مقاومت همزمان به آفات و علفکش (Simultaneous resistance)	2
	پنبه Cotton	داو-پایونیر	مقاومت همزمان به آفات و علفکش (Simultaneous resistance)	4
	ذرت Corn	Monsanto	مقاومت به آفات Pest resistance	4
	ذرت Corn	Monsanto	مقاومت همزمان به آفات و علفکش (Simultaneous resistance)	7
	ذرت Corn	مایکوژن-پایونیر	مقاومت همزمان به آفات و علفکش (Simultaneous resistance)	1
اروگوئه Uruguay	پنبه Cotton	Syngenta	مقاومت به آفات Pest resistance	1
	ذرت Corn	Monsanto	مقاومت به آفات Pest resistance	1
	ذرت Corn	Syngenta	مقاومت همزمان به آفات و علفکش (Simultaneous resistance)	1
	پنبه Cotton	داو	مقاومت به آفات Pest resistance	1
	پنبه Cotton	Syngenta	مقاومت به آفات Pest resistance	2
	پنبه Cotton	Monsanto	مقاومت به آفات Pest resistance	3
	پنبه Cotton	Monsanto	مقاومت همزمان به آفات و علفکش (Simultaneous resistance)	3
	پنبه Cotton	باير	مقاومت به آفات Pest resistance	1
استرالیا Australia	ذرت Corn	داو-پایونیر	مقاومت همزمان به آفات و علفکش (Simultaneous resistance)	3
	ذرت Corn	Syngenta	مقاومت به آفات Pest resistance	3
	ذرت Corn	Syngenta	مقاومت همزمان به آفات و علفکش (Simultaneous resistance)	1
	ذرت Corn	Monsanto	مقاومت به آفات Pest resistance	3
	ذرت Corn	Monsanto	مقاومت همزمان به آفات و علفکش (Simultaneous resistance)	1
	ذرت Corn	پایونیر	مقاومت همزمان به آفات و علفکش	1

	Corn		(Simultaneous resistance)	
	ذرت	Dekalb Genetics	مقاومت همزمان به آفات و علفکش	1
	Corn		(Simultaneous resistance)	
	ذرت	مایکروژن-پایونیر	مقاومت همزمان به آفات و علفکش	1
	Corn		(Simultaneous resistance)	
	سیب‌زمینی	Monsanto	مقاومت به آفات	3
	Potato		Pest resistance	
	سیب‌زمینی	Monsanto	مقاومت همزمان به آفات و علفکش	6
	Potato		(Simultaneous resistance) Pests & Disease	
	سویا	Monsanto	مقاومت به آفات	1
	Soybean		Pest resistance	
السالوادور	ذرت	Monsanto	مقاومت همزمان به آفات و علفکش	1
El Salvador	Corn		(Simultaneous resistance)	
	ذرت	مایکروژن-پایونیر	مقاومت همزمان به آفات و علفکش	1
	Corn		(Simultaneous resistance)	
انگلستان	ذرت	Syngenta	مقاومت به آفات	1
	Corn		Pest resistance	
England	ذرت	Syngenta	مقاومت همزمان به آفات و علفکش	1
	Corn		(Simultaneous resistance)	
ایران	برنج	Corresponding	مقاومت به آفات	1
Iran	Rice	Auther	Pest resistance	
	پنبه	داو	مقاومت به آفات	1
	Cotton		Pest resistance	
	پنبه	Monsanto	مقاومت به آفات	2
	Cotton		Pest resistance	
	پنبه	Monsanto	مقاومت همزمان به آفات و علفکش	
	Cotton		(Simultaneous resistance)	
	ذرت	Syngenta	مقاآمت به آفات	1
	Corn		Pest resistance	
	ذرت	Syngenta	مقاآمت همزمان به آفات و علفکش	3
Brezil	Corn		(Simultaneous resistance)	
	ذرت	Monsanto	مقاآمت به آفات	2
Brezil	Corn		Pest resistance	
	ذرت	Monsanto	مقاآمت همزمان به آفات و علفکش	3
	Corn		(Simultaneous resistance)	
	ذرت	مایکروژن	مقاآمت همزمان به آفات و علفکش	1
	Corn		(Simultaneous resistance)	
	ذرت	داو	مقاآمت همزمان به آفات و علفکش	1
	Corn		(Simultaneous resistance)	
	سویا	Monsanto	مقاآمت همزمان به آفات و علفکش	1
	Soybean		(Simultaneous resistance)	
Burkina Faso	پنبه	Monsanto	مقاآمت به آفات	1
Burkina Faso	Cotton		Pest resistance	
پاکستان	پنبه	Monsanto	مقاآمت به آفات	1

Pakistan	Cotton		Pest resistance	
	ذرت	Monsanto	مقاومت به آفات	311
	Corn		Pest resistance	
	ذرت	Monsanto	مقاومت همزمان به آفات و علفکش (Simultaneous resistance)	7
	Corn			
	ذرت	Syngenta	مقاومت به آفات	3
	Corn		Pest resistance	
تایوان	ذرت	Syngenta	مقاومت همزمان به آفات و علفکش (Simultaneous resistance)	2
Taiwan	Corn			
	ذرت	داو	مقاومت همزمان به آفات و علفکش (Simultaneous resistance)	1
	Corn			
	ذرت	داو-پایونیر	مقاومت همزمان به آفات و علفکش (Simultaneous resistance)	4
	Corn			
	ذرت	Dekalb Genetics	مقاومت همزمان به آفات و علفکش (Simultaneous resistance)	1
	Corn			
	ذرت	مایکروژن- پایونیر	مقاومت همزمان به آفات و علفکش (Simultaneous resistance)	1
	Corn			
جمهوری چک	ذرت	Monsanto	مقاومت به آفات	1
Czech Republic	Corn		Pest resistance	
	پنبه	آکادمی علوم چین	مقاومت به آفات	2
	Cotton		Pest resistance	
	ذرت	داو-پایونیر	مقاومت همزمان به آفات و علفکش (Simultaneous resistance)	1
	Corn			
	ذرت	Syngenta	مقاومت به آفات	1
	Corn		Pest resistance	
چین	ذرت	Syngenta	مقاومت همزمان به آفات و علفکش (Simultaneous resistance)	1
China	Corn			
	ذرت	Monsanto	مقاومت به آفات	2
	Corn		Pest resistance	
	ذرت	مایکروژن	مقاومت همزمان به آفات و علفکش (Simultaneous resistance)	1
	Corn			
	موسسه تحقیقات جنگل درخت تبریزی		مقاومت به آفات	1
	Poplar	پکن	Pest resistance	
	برنج	دانشگاه کشاورزی چین	مقاومت به آفات	1
	Rice	Huazhong	Pest resistance	
رومانی	ذرت	Monsanto	مقاومت به آفات	1
Romania	Corn		Pest resistance	
	پنبه	Monsanto	مقاومت به آفات	2
	Cotton		Pest resistance	
زولاندزو	پنبه	Syngenta	مقاومت به آفات	1
New Zealand	Cotton		Pest resistance	
	پنبه	بایر	مقاومت به آفات	1
	Cotton		Pest resistance	

			مقاومت به آفات	
	Corn	Monsanto	Pest resistance	3
	ذرت	Monsanto	مقاومت همزمان به آفات و علفکش (Simultaneous resistance)	1
	Corn	Syngenta	مقاومت به آفات	2
	ذرت	Syngenta	Pest resistance	
	Corn		مقاومت همزمان به آفات و علفکش (Simultaneous resistance)	1
	ذرت	داو-پایونیر	مقاومت همزمان به آفات و علفکش (Simultaneous resistance)	2
	Corn	پایونیر	مقاومت همزمان به آفات و علفکش (Simultaneous resistance)	1
	ذرت	مایکوژن-پایونیر	مقاومت همزمان به آفات و علفکش (Simultaneous resistance)	1
	Corn	Dekalb Genetics	مقاومت همزمان به آفات و علفکش (Simultaneous resistance)	1
	سیب‌زمینی	Monsanto	مقاومت به آفات	1
	Potato		Pest resistance	
	سیب‌زمینی	Monsanto	مقاومت همزمان به آفات و علفکش (Simultaneous resistance) Pest & Disease	6
	Potato			
	سویا	Monsanto	مقاومت به آفات	1
	Soybean		Pest resistance	
	پنبه	داو	مقاومت به آفات	3
	Cotton		Pest resistance	
	پنبه	داو	مقاومت همزمان به آفات و علفکش (Simultaneous resistance)	1
	Cotton	Syngenta	مقاومت به آفات	2
	Cotton	Monsanto	Pest resistance	
	پنبه	Monsanto	مقاومت همزمان به آفات و علفکش (Simultaneous resistance)	3
	Cotton			
	پنبه	داو-پایونیر	مقاومت همزمان به آفات و علفکش (Simultaneous resistance)	1
	Cotton	Calgene Inc.	مقاومت همزمان به آفات و علفکش (Simultaneous resistance)	1
	پنبه	باير	مقاومت همزمان به آفات و علفکش (Simultaneous resistance)	1
	Cotton			
	ذرت	Monsanto	مقاومت به آفات	4
	Corn		Pest resistance	
	ذرت	Monsanto	مقاومت همزمان به آفات و علفکش (Simultaneous resistance)	8
	Corn			
	ذرت	Monsanto	مقاومت همزمان به آفات و علفکش (Simultaneous resistance) Pest &	1
	Corn			

Lysine			
ذرت Corn	Syngenta	مقاومت به آفات Pest resistance	1
ذرت Corn	Syngenta	مقاومت همزمان به آفات و علفکش (Simultaneous resistance)	6
ذرت Corn	Syngenta	مقاومت همزمان به آفات و علفکش (Simultaneous resistance) Pests & Disease	1
ذرت Corn	داو-پایونیر	مقاومت همزمان به آفات و علفکش (Simultaneous resistance)	5
ذرت Corn	پایونیر	مقاومت همزمان به آفات و علفکش (Simultaneous resistance)	2
ذرت Corn	Dekalb Genetics	مقاومت همزمان به آفات و علفکش (Simultaneous resistance)	1
ذرت Corn	Monsanto و مایکروژن/ داو	مقاومت همزمان به آفات و علفکش (Simultaneous resistance)	1
ذرت Corn	داو	مقاومت همزمان به آفات و علفکش (Simultaneous resistance)	1
ذرت Corn	مایکروژن- پایونیر	مقاومت همزمان به آفات و علفکش (Simultaneous resistance)	1
سیب‌زمینی Potato	Monsanto	مقاومت به آفات Pest resistance	4
سیب‌زمینی Potato	Monsanto	مقاومت همزمان به آفات و علفکش (Simultaneous resistance) Pests & Disease	6
سنگاپور Singapore	ذرت Corn	مقاومت به آفات Pest resistance	1
	ذرت Corn	مقاومت به آفات Pest resistance	1
سوئیس Switzerland	ذرت Corn	مقاومت به آفات Pest resistance	1
	ذرت Corn	مقاومت همزمان به آفات و علفکش (Simultaneous resistance)	1
شیلی Chile	ذرت Corn	مقاومت به آفات Pest resistance	1
	ذرت Corn	مقاومت به آفات Pest resistance	2
	ذرت Corn	مقاومت همزمان به آفات و علفکش (Simultaneous resistance)	1
روسیه Russia	ذرت Corn	مقاومت به آفات Pest resistance	1
	ذرت Corn	مقاومت همزمان به آفات و علفکش (Simultaneous resistance)	1
سیب‌زمینی Potato	Monsanto	مقاومت به آفات Pest resistance	2

	سیب‌زمینی Potato	Center Bioengineering RAS, Russia	مقاومت به آفات Pest resistance	2
	پنبه Cotton	Monsanto	مقاومت به آفات Pest resistance	3
	پنبه Cotton	Monsanto	مقاومت همزمان به آفات و علفکش (Simultaneous resistance)	3
	ذرت Corn	Monsanto	مقاومت به آفات Pest resistance	4
	ذرت Corn	Monsanto	مقاومت همزمان به آفات و علفکش (Simultaneous resistance)	8
	ذرت Corn	Monsanto	مقاومت همزمان به آفات و علفکش (Simultaneous resistance) Pests & Lysine	1
فیلیپین The Philippines	ذرت Corn	Syngenta	مقاومت به آفات Pest resistance	3
	ذرت Corn	Syngenta	مقاومت همزمان به آفات و علفکش (Simultaneous resistance)	7
	ذرت Corn	Syngenta	مقاومت همزمان به آفات و علفکش (Simultaneous resistance) Pests& Disease & Herbicides	1
	ذرت Corn	داو	مقاومت همزمان به آفات و علفکش (Simultaneous resistance)	1
	ذرت Corn	داو-پایونیر	مقاومت همزمان به آفات و علفکش (Simultaneous resistance)	4
	سیب‌زمینی Potato	Monsanto	مقاومت به آفات Pest resistance	4
	سیب‌زمینی Potato	Monsanto	مقاومت همزمان به آفات و علفکش (Simultaneous resistance) Pests& Disease	6
کاستاریکا Costa Rica	پنبه Cotton	Monsanto	مقاومت به آفات Pest resistance	2
	پنبه Cotton	Monsanto	مقاومت همزمان به آفات و علفکش (Simultaneous resistance)	3
	پنبه Cotton	Syngenta	مقاومت همزمان به آفات و علفکش (Simultaneous resistance)	3
	پنبه Cotton	Syngenta	مقاومت همزمان به آفات و علفکش (Simultaneous resistance)	1
	پنبه Cotton	باير	مقاومت به آفات Pest resistance	1
	پنبه Cotton	داو-پایونیر	مقاومت به آفات Pest resistance	1
	پنبه Cotton	داو-پایونیر	مقاومت همزمان به آفات و علفکش (Simultaneous resistance)	1
کانادا Canada	پنبه Cotton	داو	مقاومت به آفات Pest resistance	2

نام محصول	پرورش دهنده	نام شرکت	گیاه	نوع مقاومت	آفات	ردیف
کشت متدائل گیاهان زراعی با گیاهان تراریخته ...		Monsanto	Cotton	مقاومت به آفات		2
	پنبه	Monsanto	Cotton	مقاومت همزمان به آفات و علفکش (Simultaneous resistance)		1
	پنبه	Calgene	Cotton	مقاومت همزمان به آفات و علفکش (Simultaneous resistance)		1
	ذرت	داو	Corn	مقاومت همزمان به آفات و علفکش (Simultaneous resistance)		2
	ذرت	داو-پایونیر	Corn	مقاومت همزمان به آفات و علفکش (Simultaneous resistance)		6
	ذرت	Syngenta	Corn	مقاومت همزمان به آفات و علفکش (Simultaneous resistance)		5
	ذرت	Syngenta	Corn	مقاومت همزمان به آفات و علفکش (Simultaneous resistance) Pests & Disease & Herbicides		1
	ذرت	پایونیر	Corn	مقاومت همزمان به آفات و علفکش (Simultaneous resistance)		2
	ذرت	Syngenta	Corn	مقاومت به آفات	Pest resistance	3
	ذرت	Monsanto	Corn	مقاومت به آفات	Pest resistance	4
	ذرت	Monsanto	Corn	مقاومت همزمان به آفات و علفکش (Simultaneous resistance)		9
	ذرت	Dekalb Genetics	Corn	مقاومت همزمان به آفات و علفکش (Simultaneous resistance)		1
	ذرت	مایکروژن	Corn	مقاومت همزمان به آفات و علفکش (Simultaneous resistance)		1
	سیب زمینی	Monsanto	Potato	مقاومت به آفات	Pest resistance	4
	سیب زمینی	Monsanto	Potato	مقاومت همزمان به آفات و علفکش (Simultaneous resistance)		6
	گوجه فرنگی	Monsanto	Tomato	مقاومت به آفات	Pest resistance	1
	پنبه	Monsanto	Cotton	مقاومت به آفات	Pest resistance	4
	پنبه	Monsanto	Cotton	مقاومت همزمان به آفات و علفکش (Simultaneous resistance)		3
	پنبه	داو	Cotton	مقاومت به آفات	Pest resistance	1
	پنبه	داو	Cotton	مقاومت همزمان به آفات و علفکش (Simultaneous resistance)		1
	پنبه	داو-پایونیر	Cotton	مقاومت همزمان به آفات و علفکش (Simultaneous resistance)		1
	پنبه	باير	Cotton	مقاطومت همزمان به آفات و علفکش (Simultaneous resistance)		1
کره جنوبی						
South Korea						

			مقاومت به آفات	
	ذرت	داو	Pest resistance	1
Corn				
ذرت	Monsanto		مقاومت همزمان به آفات و علفکش (Simultaneous resistance)	4
Corn				
ذرت	Monsanto		مقاومت همزمان به آفات و علفکش (Simultaneous resistance)	8
Corn				
ذرت	Monsanto		مقاومت همزمان به آفات و علفکش (Simultaneous resistance) pests & Disease & Herbicides	1
Corn				
ذرت	Syngenta		مقاومت به آفات	3
Corn			Pest resistance	
ذرت	Syngenta		مقاومت همزمان به آفات و علفکش (Simultaneous resistance)	5
Corn				
ذرت	Dekalb Genetics		مقاومت همزمان به آفات و علفکش (Simultaneous resistance)	1
Corn				
ذرت	پایونیر		مقاومت همزمان به آفات و علفکش (Simultaneous resistance)	1
Corn				
ذرت	داو-پایونیر		مقاومت همزمان به آفات و علفکش (Simultaneous resistance)	6
Corn				
ذرت	Monsanto		مقاومت همزمان به آفات و علفکش (Simultaneous resistance)	1
Corn	و مایکوژن/ داو			
سیبزمینی	Monsanto		مقاومت به آفات	3
Potato			Pest resistance	
سیبزمینی	Monsanto		مقاومت همزمان به آفات و علفکش (Simultaneous resistance)	6
Potato				
پنبه	Monsanto		مقاومت به آفات	3
Cotton			Pest resistance	
پنبه	Monsanto		مقاومت همزمان به آفات و علفکش (Simultaneous resistance)	3
Cotton				
ذرت	Monsanto		مقاومت به آفات	3
Corn			Pest resistance	
ذرت	Monsanto		مقاومت همزمان به آفات و علفکش (Simultaneous resistance)	3
Corn				
ذرت	Syngenta		مقاومت همزمان به آفات و علفکش (Simultaneous resistance)	3
Corn				
ذرت	داو		مقاومت همزمان به آفات و علفکش (Simultaneous resistance)	1
Corn				
ذرت	داو-پایونیر		مقاومت به آفات	1
Corn			Pest resistance	
ذرت	مایکوژن		مقاومت همزمان به آفات و علفکش (Simultaneous resistance)	1
Corn				
پنبه	Monsanto		مقاومت به آفات	3
Cotton			Pest resistance	
پنبه	Monsanto		مقاومت همزمان به آفات و علفکش (Simultaneous resistance)	3
Cotton				

			مقاومت به آفات	
	Cotton	Syngenta	Pest resistance	1
	پنبه	داو	مقاومت به آفات	3
	Cotton		Pest resistance	
	پنبه	داو	مقاومت همزمان به آفات و علفکش (Simultaneous resistance)	1
	Cotton			
	پنبه	داو-پایونیر	مقاومت همزمان به آفات و علفکش (Simultaneous resistance)	1
	Cotton			
	پنبه	بایر	مقاومت همزمان به آفات و علفکش (Simultaneous resistance)	1
	Cotton			
	ذرت	Monsanto	مقاومت به آفات Pest resistance	4
	Corn			
	ذرت	Monsanto	مقاومت همزمان به آفات و علفکش (Simultaneous resistance)	7
	Corn			
	ذرت	Monsanto	مقاومت همزمان به آفات و علفکش (Simultaneous resistance) Pests & Lysine	1
	Corn			
	ذرت	Syngenta	مقاومت به آفات Pest resistance	2
	Corn			
	ذرت	Syngenta	مقاومت همزمان به آفات و علفکش (Simultaneous resistance)	6
	Corn			
	ذرت	داو-پایونیر	مقاومت همزمان به آفات و علفکش (Simultaneous resistance)	7
	Corn			
	ذرت	پایونیر	مقاومت همزمان به آفات و علفکش (Simultaneous resistance)	1
	Corn			
	ذرت	مایکوژن- پایونیر	مقاومت همزمان به آفات و علفکش (Simultaneous resistance)	1
	Corn			
	سیب‌زمینی	Monsanto	مقاومت به آفات Pest resistance	1
	Potato			
	سیب‌زمینی	Monsanto	مقاومت همزمان به آفات و علفکش (Simultaneous resistance) Pests & Disease	6
	Potato			
مصر	ذرت	Monsanto	مقاومت همزمان به آفات و علفکش (Simultaneous resistance)	1
	Corn			
Egypt	ذرت	مایکوژن- پایونیر	مقاومت همزمان به آفات و علفکش (Simultaneous resistance)	1
	Corn			
	پنبه	Monsanto	مقاومت به آفات Pest resistance	3
	Cotton			
	پنبه	Monsanto	مقاومت همزمان به آفات و علفکش (Simultaneous resistance)	3
	Cotton			
	پنبه	Syngenta	مقاومت همزمان به آفات و علفکش (Simultaneous resistance)	1
	Cotton			
	پنبه	Syngenta	مقاومت همزمان به آفات و علفکش (Simultaneous resistance)	1
	Cotton			
	پنبه	داو	مقاومت همزمان به آفات و علفکش	3
	Cotton			

	Cotton	(Simultaneous resistance)	
	پنبه	داو	مقاومت همزمان به آفات و علفکش
	Cotton		(Simultaneous resistance)
	پنبه	داو-پایونیر	مقاومت همزمان به آفات و علفکش
	Cotton		(Simultaneous resistance)
	ذرت	Monsanto	مقاومت به آفات
	Corn		Pest resistance
	ذرت	Monsanto	مقاومت همزمان به آفات و علفکش
	Corn		(Simultaneous resistance)
	ذرت	Monsanto	مقاومت همزمان به آفات و علفکش
	Corn		(Simultaneous resistance) Pests & Lysine
	ذرت	Syngenta	مقاومت به آفات
	Corn		Pest resistance
	ذرت	Syngenta	مقاومت همزمان به آفات و علفکش
	Corn		(Simultaneous resistance)
	ذرت	داو-پایونیر	مقاومت همزمان به آفات و علفکش
	Corn		(Simultaneous resistance)
	ذرت	پایونیر	مقاومت همزمان به آفات و علفکش
	Corn		(Simultaneous resistance)
	ذرت	مایکوژن-پایونیر	مقاومت همزمان به آفات و علفکش
	Corn		(Simultaneous resistance)
	سیب زمینی	Monsanto	مقاومت به آفات
	Potato		Pest resistance
	سیب زمینی	Monsanto	مقاومت همزمان به آفات و علفکش
	Potato		(Simultaneous resistance) Pests & Disease
میانمار	پنبه	Cotton and Sericulture Department	مقاومت به آفات
Myanmar	Cotton		Pest resistance
هلند	ذرت	Syngenta	مقاومت به آفات
Netherland	Corn		Pest resistance
	پنبه	Monsanto	مقاومت به آفات
	Cotton		Pest resistance
	پنبه	Metahelix Life Sciences	مقاومت به آفات
	Cotton		Pest resistance
هندوستان	پنبه	Nath Seeds	مقاومت به آفات
India	Cotton		Pest resistance
	پنبه	Jk Agri Gentics Ltd	مقاومت به آفات
	Cotton		Pest resistance
	پنبه	CICR & UAS, Dharwad	مقاومت به آفات
	Cotton		Pest resistance
هندوراس	ذرت	Monsanto	مقاومت به آفات
Honduras	Corn		Pest resistance
	ذرت	مایکوژن-پایونیر	مقاومت همزمان به آفات و علفکش
	Corn		(Simultaneous resistance)

ذرت Corn	داو-پایونیر Daw-Pioneer	مقاطومت همزمان به آفات و علفکش (Simultaneous resistance)	1
-------------	----------------------------	-------------------------------------------------------------	---

## منابع

- Anonymous (2010a), Analysis of pesticide usage in Iran and in the world. Sabzine Plant Protection. <http://www.sabzineh.ir>
- Anonymous (2010b). Genetic Engineering. Wikipedia. The Free Encyclopedia. February 2011. <http://fa.wikipedia.org>
- Anonymous, Department of Planning, Economic and International Affairs. Office of Statistics and Information Technology. Ministry of Agriculture, Agricultural statistics letter. Volume 2, (2009).
- Azmi A, Movahe Mohammadi H, Irvani H nad Bihamta M R. (2006). Status of transgenic plants in environment and agriculture. Journal of Humans and the Environment: 16-30.
- Behzadirad M, Naghavi M R, Abbasi A and Dastmalchi T. (2009). Phytoremediation, especial solution of biotechnology in environmental protection. Journal of Biosafety. Volume II. No1: 43-50.
- Betz, F.S. Bruce G. Harmond and Roy L. Fuchs. (2000) Safety and advantages of *Bacillus thuringiensis* protected plants to control insect pests. *Regul. Toxicol.Pharmacol.* 32, 156-173
- Blondell, J. (1997). Epidemiology of pesticide poisonings in the United States, with special reference to occupational cases. *Occup Med* 12, 209-20.
- Brandt, V.A., Moon, S., Ehlers, J., Methner, M.M., and Struttmann, T. (2001). Exposure to endosulfan in farmers: two case studies. *Am J Ind Med* 39, 643-9.
- Chen, S.Y., Zhang, Z.W., He, F.S., Yao, P.P., Wu, Y.Q., Sun, J.X., Liu, L.H., and Li, Q.G. (1991). An epidemiological study on occupational acute pyrethroid poisoning in cotton farmers. *Br J Ind Med* 48, 77-81.
- Cole, D.C., Carpio, F., and Leon, N. (2000). Economic burden of illness from pesticide poisonings in highland Ecuador. *Rev Panam Salud Publica* 8, 196-201.
- Dively, G.p.; Rose, R.; Sears, M.K.; Hellmich, R.L.; Stanley-Horn, D.E.: Calvin D.D.: Russo, J.M. and Anderson, P.L. (2004). Effects on Monarch butterfly larvae (*Lepidoptera: Danaidae*) after continuous exposure to *cry1Ab*- expressing corn during anthesis. *Environ. Entomol.* 33:116-1125.
- Duck, N. and S. Evola. 1997. Use of transgenes to increase host plant resistance to insects; opportunities and challenges. Pages 1–18 in Advances in insect control, edited by N. Carizzi and M. Koziel. Taylor and Francis, London, UK. Edwards, C.A. Thornhill, W.A.Jones, B.A.Bater, J.E., and
- Lofty,J.R.1984.The influence of pesticides on polyphagous predators of pests.
- Edwards Clive A. U.S. Environmental Protection Agency. (2011). Pesticides. <http://www.epa.gov>
- EPA (2001). *Bacillus thuringiensis (Bt) Plant-Incorporated Protectants Bt Plant- Incorporated Protectants October 15, 2001 Biopesticides Registration Action Document*. EPA, USA.
- Eyer P. The role of oximes in the management of organophosphorus pesticide poisoning. (2003). *Toxicol Rev*; 22:165-1
- FAO (Food and Agriculture Organization of the United Nations). (2009) The State of Agricultural Commodity Markets. <ftp://ftp.fao.org>
- Food and Agriculture Organization of the United Nations and Consumer Protection (2011) Towards integrated commodity and pest management in grain storage, <http://www.fao.org>
- Food and Agriculture Organization of the United Nations. (2011) Understanding the indigenous knowledge and information systems of. <http://ftp.fao.org/docrep/fao>
- Food and Agriculture Organization of the United Nations. (2011), Pesticides as water pollutants - FAO: FAO Home, <http://www.fao.org>
- Food and Agriculture Organization of the United Nations.(2009). Field Guide/Manual on the Identification and Management of Poplar pests and Produced by:Forestry Departmen, Manual on Forest Insect Pests with Emphasis on Pests of Poplars in the Area of the “Three North 009 Project” (North-Eastern China), <http://www.fao.org>
- Gammon DW, Lawrence Lj, Casida JE.(1982). Pyrethroid toxicology: protective effects of diazepam and Phenobarbital in the mous and the cockroach. *Toxicology and Applied Pharmacology*;66:290-296.
- Ghahari H, Sakenin H and Ostovan H. (2005). Biological effects of three insecticides Diazinon, Atrimfus and Chlorpyrifos on non-target arthropods density and activity. *Journal of Agricultural Science and Natural Resources*. 12: 4.
- Ghareyazie B. (2004). Safety assessment of Cry1Ab protein. 1st National Biosafety Congress In Iran. 17 - 18 Feb 2004. Agricultural Biotechnology Research Institute of Iran. Karaj, Iran.
- Ghareyazie B. (2006). The wide reflection of production of the first transgenic rice by Iran: Reported by Agrifood awareness: Iran takes the biotech lead.

- Economic Research Report, 04 6 85 1 Center for strategic research.
25. GMO Compass Breeding Aims.(2010) Pest Resistant Crops. <http://www.gmocompass.org>
26. International Service for the Acquisition of Agri-biotech Applications.(2009) Are Food Derived from GM Crops Safe?. (October 2009). <http://www.isaaa.org>
27. Jafari M and Norozi P. (2009). Overview of the risk assessment of transgenic plants. Journal of Biosafety. Volume I, No 3: 49-68.
28. Jafari M and Tohidfar M. (2007). Transgenic Bt plants, safety, advantages, potential effects in agriculture and in insect and pest resistance management. Modern Genetic Journal. Volume II, No1: 5-17.
29. Jafari, M., Norouzi, P., Malboobi, M. A., Ghareyazie, B., Valizadeh, M., Mohammadi, S. A. et al. (2009). Enhanced resistance to a lepidopteran pest in transgenic sugar beet plants expressing synthetic cry1Ab gene. *Euphytica*. 165 (2), 333
30. James Clive, 2010, Global status of commercialized biotech/GM crops: 2010. ISAAA Brief No.42. ISAAA: Ithaca, NY.
31. Jonoubi, P., Mousavi, A., Majd, A., Salmanian, A. H., Javaran, M. J., and Daneshian, J., (2005). Efficient regeneration of *Brassica napus* L. hypocotyls and genetic transformation by *Agrobacterium tumefaciens*. *Biologia Plantarum* 49 (2), 175
32. Joshaghani H R, Ahmadi A and Behnampor N. (2006). Reduction of Cholinesterase level in red blood cell in pesticide factory workers. Scientific Journal of Gorgan Medical Sciences University. Volume 8, No4: 23-27.
33. Joshaghani H R, Ahmadi A and Behnampor N. (2007). Studying the relation between changes of serum AchE enzyme with levels of liver enzymes in Chemical Pesticides factory workers. *Feiz Journal*, Volume 11, No4: 31-35.
34. Jouzani, G. S., Goldenkova, I. V. and Piruzian, E. S., (2008). Expression of hybrid cry3aM-licBM2 genes in transgenic potatoes (*Solanum tuberosum*). *Plant Cell Tissue and Organ Culture* 92 (3), 321
35. Karimi Andani J and Mohsenzadeh S. (2009). Pathologic studies of GM crops. Journal of Biosafety. Volume 1, No 4: 21-26.
36. Keifer, M., McConnell, R., Pacheco, A.F., Daniel, W., and Rosenstock, L. (1996a). Estimating underreported pesticide poisonings in Nicaragua. *Am J Ind Med* 30,195-201.
37. learen to earn, earn to learen, (2011).Pesticides://www.indiastudychannel.com
38. Malbobi et al (2005). Case study: Evaluation of the release of insect resistant transgenic rice (Tarom Molaii). Report of a joint working group of Iranian Genetics Society, Iranian Biotechnology Society and Biosafety society of Iran..
39. Mashayekhi, M., Shakib, A. M., Ahmad-Raji, M. and Bezdi, G. K., (2008). Gene transformation potential of commercial canola (*Brassica napus* L.) cultivars using cotyledon and hypocotyl explants. *African Journal of Biotechnology* 7 (24), 4459
40. McConnell, R. and Hruska, A.J. (1993). An epidemic of pesticide poisoning in Nicaragua: implications for prevention in developing countries. *Am J Public Health* 83, 1559-62.
41. Mehrabi, R., van der Lee, T., Waalwijk, C. and Kema, G. H. J., (2006). MgSlt2, a cellular integrity MAP kinase gene of the fungal wheat pathogen *Mycosphaerella graminicola*, is dispensable for penetration but essential for invasive growth. *Molecular Plant-Microbe Interactions* 19 (4), 389
42. Meulenbelt, J. and de Vries, I. (1997). Acute work-related poisoning by pesticides in TheNetherlands; a one year follow-up study. *Przegl Lek* 54, 665-70.
43. Mohaghegh J. and Amir-Maafi M. 2007. *Appl. Entomol. Zool.*, 42: 15-20.
44. Mohammadi GH A and Ataii R. (2008). Epidemiologic study of pesticide poisoning (Organophosphate and Organochlorine) in patients admitted in Shohada hospital Khorramabad in the first six months 2006. *Yafteh Journal- Lorestan University of Medical Sciences*. Volume 10, No1: 3- 10.
45. Mohsenpor M, Babaian Jelodar N and Tohidfar M. (2009). Choloroplast transformation, safe and environmentally friendly way of production of transgenic plants. Journal of Biosafety. Volume 1, No 4: 35-46.
46. Moshtaghi N, Bagheri A, Higgins T J, Jalali Javaran M and Ghareyazie B. (2010). Genetic engineering of chickpea (*Cicer arietinum*)to increase the resistance to crack-eating pests (*Helicoverpa armigera*). *Iranian Journal of Cereal Research*.Volume 1, No1: 65-75.
47. Murray, D., Keifer M, Wesseling C., Corriols, M., Henao, S. (2002). Pesticide Illness Surveillance: Putting the Data to Work. *Int J Occup Environ Health* 8. 243-248
48. Nabati P. Head of Chemical Industries, Non metalic industry office and representative of the ministry of Industries and Mines in the coordination center for science and technology of pesticides. (2010). Status report of pests industry in the country.
49. Nakamora Y, Sugihara K, sone T, Isobe M, Ohata S, Kitamura S. ( 2007). The invitro metabolism of a pyrethroid insecticide, permethrin, and its hydrolysis products in rats. *Toxicology*;235:176-184.
50. Oakeshott JG. Devonshire AL. Claudianos C. Sutherland TD. Horne I. Campbell PM. et al( 2005). Comparing the organophosphorus and carbamate insecticide resistance mutations in cholin- and carboxylesterases. *Chem Biol Interact*; 157-158: 269-276.
51. Personal Commiunication (2010) Ehsan Nazarbeigi deputy manager, Pars pesticides company.
52. Personal Communication (2010). Alireza Yasini, Plant Production Organization of Iran.

53. Personal Communication (2010). Dr. Kalantar, manager of toxins and sprayers affairs. Plant Production Organization of Iran.
54. Personal Communication (2010). Mr. Abedini, toxins and sprayers affairs. Plant Production Organization of Iran.
55. Personal Communicaton (2010).. Akbarpor, Plant Production Organization of Iran.
56. Plant company. (2010). <http://www.gyah.ir>
57. Rahnama H. (2009). Biosafety and assessment of possible risk in molecular agriculture. Journal of Biosafety. Volume I, No 3: 31-48.
58. Rao Y. and Rao V. N. (1979). J. Entomol. Research. 3: 106-108.
59. Rashidi Monfared S, Rezaii M and Ebrahimi A. (2009). Evaluation of Cry Proteins using allergenics databases. Journal of Biosafety. Volume I, No 4: 9-17.
60. Rrahnama H. (2008). Bioethics and production of GM crops. Journal of Ethics in Science and Thechnology. Third year, No1 and 2: 1-14.
61. Seifi nezhad A, Bihamta M R, Omidi M and Salehi jozani G. (2007).Functional Genomics of Bt. Modern Genetic Journal. Volume II, No3: 5-16.
62. Shaieghi M, Khobdel M, Ghamisi A, Selseleh M, Abolhasani M and Nasirian H. (2008). Investigation and determination of the amount of organophosphate insecticides malathion and diazinon residues in Karaj Dam catchment. Environmental Science and Technology. Vulome 10: 257-266.
63. Solati J, Hajikhani R and Todehzaem R A. (2008). Investigation of the effects of permethrin insecticide on hormones andsexual behavior in adult male mice (NMRI). Scientific Journal of Kurdistan University of Medical Sciences. Volume 13, No2: 42-49.
64. Van der Hoek, W., Konradsen, F., Athukorala, K., and Wanigadewa, T. (1998). Pesticide poisoning: a major health problem in Sri Lanka. Soc Sci Med 46, 495-504.
65. Vishlaghi N, Rashedi H, Emami F and Ghareyazie B. (2009). Comparison of the unintended effects of GM crops and crops produced through traditional plant breeding methods. Journal of Biosafety. Volume 1, No 3: 9-17.
66. Wesseling, C., Castillo, L., and Elinder, C.G. (1993). Pesticide poisonings in Costa Rica. Scand J Work Environ Health 19, 227-35.
67. World Health Organization. Media centre. (2010). General information related to chemical risks in food. Fact sheet N°225 May 2010.[Http://www.who.int](http://www.who.int)
68. World Health Organization.Global insecticide use for vector-borne disease control. (2009). 4th edition. (Document WHO/HTM/NTD/WHOPE/2009.6) World Health Organization, Geneva  
[http://whqlibdoc.who.int/publications/2009/9789241598781\\_eng.pdf](http://whqlibdoc.who.int/publications/2009/9789241598781_eng.pdf)
69. Yazdi Z, Sarreshtedari M and Zohal M A. (2010). Respiratory disease in workers exposed to organophosphate materials. Journal of School of Medicine, Mashhad University of Medical Science. Year 53, No4: 206-213.
70. Zaidi, M. A., Mohammadi, M., Postel, S., Masson, L. and Altosaar, I., (2005). The Bt gene cry2Aa2 driven by a tissue specific ST-LS1 promoter from potato effectively controls *Heliothis virescens*. Transgenic Research 14 (3), 289.



## بررسی میزان باقیمانده و دوره کارنس حشره‌کش دیازینون در

### محصول خیار گلخانه‌ای جیرفت

#### Determination of Diazinon residue levels and preharvest intervals in green house Cucumbers in Jiroft

محسن مرواتی<sup>۱\*</sup> و مهدی آزادوار<sup>۲</sup>

Mohsen morowati<sup>1\*</sup> and Mahdi Azadvar<sup>2</sup>

۱- دانشیار پژوهش مؤسسه تحقیقات گیاه‌پزشکی ایران

۲- استادیار پژوهش مرکز تحقیقات کشاورزی و منابع طبیعی جیرفت و کهنوج

1- Associate Professor, Iranian research Institute of Plant Protection.

2- Associate Professor, Jiroft and Kahnooj Agricultural and Natural Resources Center

\* نویسنده مسئول مکاتبات، پست الکترونیکی: m\_morowati@yahoo.com

(تاریخ دریافت: ۹۲/۳/۵ - تاریخ پذیرش: ۹۲/۷/۲۱)

چکیده

#### واژه‌های کلیدی

باقیمانده آفت‌کش

تراریخته

خیار

دوره کارنس

دیازینون

با وجود کشت بیش از ۱۷۰/۳ میلیون هکتار محصولات تاریخته در دنیا؛ اصرار برخی مدیران میانی فناوری هر اس در کشورمان بهویژه در دهه اخیر موجب استمرار استفاده از آفت‌کش‌های شیمیایی خطرناک مانند دیازینون شده است. حشره‌کش دیازینون برای کنترل آفاتی نظریه مبنیوز و کرم برگخوار خیار در سطح وسیعی در گلخانه‌های خیار منطقه جیرفت و کهنوج استفاده می‌شود. به منظور بررسی میزان باقیمانده این حشره‌کش و تعیین دوره کارنس آن در شرایط گلخانه عملیات کاشت خیار گلخانه‌ای و اعمال تیمارها در مرکز تحقیقات کشاورزی منطقه جیرفت انجام گرفت. در قطعات تیمار از حشره‌کش دیازینون امولسیون ۶۰ درصد، به نسبت یک در هزار از فرم تجاری طبق توصیه شرکت سازنده استفاده شد. نمونه‌برداری از میوه‌های قابل برداشت و به فواصل ۱، ۳، ۷، ۱۰، ۱۴ و ۲۱ روز پس از سمپاشی انجام گرفت. طی این مدت نیز هیچ گونه سمپاشی در قطعات تیمار انجام نگرفت. نمونه‌ها بالاصله در پوشش‌های پلاستیکی سیاه‌رنگ، بسته‌بندی و تا زمان آفالیز در فریزر ۲۰- درجه سلسیوس نگهداری شدند. در هر مرحله نمونه‌برداری، حدود یک کیلوگرم میوه (۱۰- ۵ عدد) بصورت تصادفی از هر پلات برداشت شد. به منظور ردیابی باقیمانده دیازینون، پس از استخراج، برای اندازه‌گیری آن از دستگاه کروماتوگرافی گازی (GC) با آشکارساز نیتروژن فسفره (NPD) استفاده شد. نتایج بدست آمده تعزیه و تحلیل شده و بر اساس آن دوره کارنس حشره‌کش دیازینون در حدود ۱۰ روز با توجه به حداقل میزان مجاز باقیمانده (MRL) که معادل ۰/۰۵ میلی‌گرم بر کیلوگرم است، تعیین شد. با توجه به اینکه در کشت خیار هر ۳ روز یکبار چین خیار انجام و محصول جمع‌آوری می‌شود و این محصول به سرعت باید به بازار عرضه شود تا حالت تازه خود را حفظ کند. بنابراین نمی‌توان از دیازینون به عنوان حشره‌کش مناسبی برای محصول خیار استفاده کرد و باید استفاده از روش‌های جایگزین مانند کشت محصولات تاریخته مقاوم به آفات که هم‌اکنون در بیش از ۲۰ میلیون هکتار از زمین‌های کشاورزی جهان کشت می‌شوند؛ در دستور کار قرار گیرد.

## مقدمه

موقع مشکل آفت‌ها و بیماری‌ها را کاهش می‌دهند، اما استفاده وسیع، نابجا و نادرست از آنها سبب ایجاد مشکلات جدی شده است. از جمله این مشکلات می‌توان به طغیان آفت‌های بالقوه، ظهور آفت‌های ثانویه، گیاه‌سوزی، آلودگی محیط زیست، مقاومت آفت‌ها به آفت‌کش‌ها، نابودی حشرات مفید و موجودات غیر هدف، مسمومیت‌های حاد و مزمن اشاره کرد. مسمومیت‌های ناشی از آفت‌کش‌ها علاوه بر پرستن شاغل در بخش کشاورزی و کارخانجات تولید آفت‌کش‌های شیمیایی، در اثر مصرف مواد غذایی حاوی باقیمانده آنها نیز روی می‌دهد. آمار دقیقی درباره زیان‌ها و تلفات ناشی از مسمومیت دراز مدت شغلی در دست نیست، اما تعداد زیادی از مردم در اثر مصرف مواد غذایی دارای باقیمانده آفت‌کش‌ها در معرض مسمومیت هستند. برآورد می‌شود که در صد زیادی از مواد غذایی بخصوص انواع سبزیجات و میوه‌جات به باقیمانده آفت‌کش‌ها آلوده باشد (Hodgson & Levi 1987; Ragsdale & Kuhr 1997). یکی از مهمترین موانع در صدور محصولات کشاورزی (خصوصاً تره‌بار و سبزیجات)، مخاطرات میزان باقیمانده سموم در این محصولات است. بر اساس مصوبات کمیته کدکس مواد غذایی<sup>۱</sup>، کشورهای عضو، که ایران نیز یکی از اعضاء آن است، ملزم به رعایت موارد ایمنی غذایی و کنترل کیفی محصولات کشاورزی که وارد بازار داخلی شده و یا صادر می‌شوند، با توجه به شرایط محلی خود هستند. خیار یکی از میوه‌هایی است که از نظر میزان مصرف در بین خانواده‌های ایرانی از جایگاه خاصی برخوردار است. حشره‌کش دیازینون برای کنترل آفت‌هایی از قبیل مینوز و کرم برگ‌خوار خیار که از مهمترین آفت‌ها این محصول هستند، توصیه شده است. این حشره‌کش در سطح وسیعی در مزارع و گلخانه‌های خیار منطقه جیرفت و کهنوج بر علیه آفات مذکور استفاده می‌شود. نظر به اینکه میزان باقیمانده آن در خیار گلخانه‌ای منطقه تاکنون بررسی نشده و بعلاوه دوره کارنس آن در شرایط گلخانه ممکن است با شرایط مزرعه (هوای آزاد) متفاوت باشد و با عنایت به اینکه محصول خیار تولیدی این منطقه به میزان زیادی وارد بازارهای داخلی (استان‌های مختلف کشور) می‌شود و همچنین اخیراً صادر نیز می‌شود، انجام این پژوهش به منظور بررسی میزان باقیمانده

تا اواخر سال ۲۰۱۲ میلادی چیزی در حدود ۱۷۰/۳ میلیون هکtar از زمین‌های کشاورزی در دنیا به کشت محصولات تراویخته اختصاص یافته که ۶۴ میلیون هکtar آن به گیاهان تراویخته مقاوم به آفات اختصاص دارد (Adeli and Ghareyazie, 2012). بدین ترتیب با کاشت این نوع محصولات و با استفاده از استراتژی استفاده از گیاهان مقاوم به آفات، مصرف آفت‌کش‌های شیمیایی به طور چشم‌گیری کاهش پیدا کرده و اینگونه محصولات فاقد هرگونه باقیمانده سموم بوده و ضمن تضمین سلامت مصرف کننده، از بازار مناسبی چه در داخل و چه برای صادرات نیز برخوردار خواهد بود. دو نکته در عدم استفاده از محصولات تراویخته قابل تأمل است، اول اینکه تاکنون هیچ مدرک و سندی مبنی بر وجود اثرهای سوء بر انسان و محیط زیست در محصولات تراویخته ارائه نشده است و دوم اینکه عدم کشت محصولات تراویخته به منزله ادامه کشت محصولات حساس به آفات است که موجب استمرار مصرف آفت‌کش‌های شیمیایی خطرناک می‌شود. موادی که خطرناک بودن آنها چه برای انسانها و چه برای محیط زیست با پژوهش‌های بیشماری به اثبات رسیده است. در پژوهش حاضر سعی شده تا قسمتی از معرض باقیمانده آفت‌کش‌ها در محصولات کشاورزی که به مصرف تک تک افراد جامعه می‌رسد نشان داده شود. بیش از ۵۰ درصد از آفت‌کش‌های مورد استفاده در اکوسیستم، روی منطقه هدف یعنی گیاهان قرار نمی‌گیرد و به روش‌های مختلف وارد محیط زیست می‌شود. مصرف انواع آفت‌کش‌های کشاورزی در ایران نسبت به کشورهای دارای تولید ناخالص ملی مشابه بیشتر است (Anonymous 1995b). طبق آمارهای رسمی طی سال‌های ۱۳۶۵ تا ۱۳۷۰ سالانه بین ۳۵ تا ۶۰ هزار تن آفت‌کش در کشور به مصرف رسیده (Anonymous 1995a) که از این میزان استان مازندران ۳۵ درصد کل مصرف کشور را به خود اختصاص داده است (Anonymous 1995c). این میزان در سال زراعی ۸۵-۸۶ در حدود ۲۶ هزار تن بوده که ۱۹ هزار تن آن در محصولات زراعی و ۷ هزار تن آن در محصولات باغی مصرف شده است (Heidari 2010). آفت‌کش‌ها یا سمهای شیمیایی مانند یک شمشیر دو لبه عمل می‌کنند، زیرا در بهترین حالت به صورت

در پژوهشی در اروپا میزان باقیمانده ۱۲ حشره‌کش ارگانوفسفره بویژه دیازینون در مرکبات در والنسیای اسپانیا بررسی و با استانداردهای توصیه شده مقایسه شد که میزان برخی از آنها بیش از حد استاندارد گزارش شدند (Torres et al. 1997). در کانادا نیز میزان باقیمانده تعدادی از سوم فسفره و کلر روح ۱۶ مخصوص کشاورزی بررسی و با استانداردهای توصیه شده مقایسه شدند که در این پژوهش‌ها نیز تعدادی از حشره‌کش‌ها مخصوصاً دیازینون بیش از حد مجاز گزارش شده است (Frank et al. 1990). در پژوهش‌هایی دیگر در ایران میزان باقیمانده و دوره کارنس سم دیازینون در محصول پیاز و پیازچه اندازه‌گیری و با استانداردهای توصیه شده از کشورهای ژاپن، چکسلواکی و کدکس بین‌المللی مقایسه شده و میزان مجاز آن را توصیه کرده‌اند. در بررسی دیگری در کشور، میزان باقیمانده دیازینون در گیلاس و هندوانه مطالعه و دوره کارنس مناسب آن تعیین و معرفی شد (Yadegarian, 2000; Hajirazagh 2000 and 2001).

## مواد و روش‌ها

کشت خیار بصورت بذری در یک واحد گلخانه ۵۰۰ متر مربعی با پوشش پلاستیکی و اسکلت فلزی انجام گرفت. این آزمایش‌ها بصورت طرح بلوک‌های کامل تصادفی انجام شد که شامل دو تیمار دیازینون و شاهد در سه تکرار (بلوک) بود. بدین منظور دو ردیف از گلخانه انتخاب که هر ردیف به دو تیمار دیازینون و شاهد تقسیم‌بندی و طول هر تیمار حدود ۱۰ متر و فاصله بلوک‌ها (تکرار) حدود ۸۰ سانتی‌متر از هم بود. قبل از سمپاشی از تیمار شاهد (بدون سم پاشی) بمنظور انجام آزمایش‌ها ریکاوری نمونه‌برداری شد. آبیاری و تغذیه زیر نظر کارشناسان مربوطه انجام شد. بوته‌ها پس از رویش توسط طناب‌های سیمی که به سقف گلخانه بسته شده بودند، آویزان شدند. از دو ماه قبل از اعمال تیمارها از انجام هرگونه سمپاشی روی بوته‌های خیار خودداری شد. یک ساعت قبل از اعمال تیمارها نمونه‌برداری از میوه‌های قابل برداشت انجام گرفت. عملیات سمپاشی در بعدازظهر روز مورد نظر و با سمپاش پشتی‌دستی انجام گرفت. در زمان سمپاشی دمای گلخانه معادل ۲۵ درجه سانتی‌گراد و رطوبت ۶۵ درصد یادداشت شد.

این حشره‌کش و تعیین دوره کارنس آن در شرایط گلخانه و مقایسه آن با استاندارد ملی و با هدف تامین سلامت صرف‌کنندگان داخلی و ایجاد زمینه کترول کیفی محصول جهت صادرات، لازم و ضروری است.

دیازینون حشره‌کشی غیرسیستمیک، ارگانوفسفره و با فرمول شیمیایی  $C_{12}H_{21}N_2O_3PS$  است و کاربرد گسترده‌ای روی محصولات زراعی دارد و بر علیه آفت‌هایی چون مگس مینوز و کرم‌های برگخوار توصیه شده است (Tomlin 2003). حداقل میزان باقیمانده مجاز توصیه شده این حشره‌کش طبق استانداردهای ملی روی خیار ۰/۰۵ میلی‌گرم بر کیلوگرم است (Iranian National Standard 2010).

در خصوص بررسی و ردیابی بقایای آفت‌کش‌ها در محصولات مختلف و محیط زیست در مناطق مختلف کشور پژوهش‌هایی انجام شده است. در یکی از این پژوهش‌ها در مورد باقیمانده حشره‌کش اندوسولفان مورد استفاده در مزارع خیار در منطقه چگلوندی استان لرستان نشان داده شد که میزان این حشره‌کش در آب ۳ روز پس از سمپاشی حدود ۲ میکروگرم بر کیلوگرم است (Jafari et al. 2004). بررسی باقیمانده آفت‌کش‌های اندوسولفان و دیازینون در مزارع خیار سبز و گوجه‌فرنگی استان کهکیلویه و بویراحمد طی سالهای ۸۱-۸۲ نشان داد که بیشترین میزان باقیمانده مربوط به حشره‌کش دیازینون در محصول خیار سبز بود که حدود ۳/۵ برابر بیشتر از حد استاندارد ملی و جهانی بوده است. همچنین مقدار باقیمانده دیازینون و اندوسولفان در گوجه‌فرنگی و خیار سبز در برخی مناطق استان بالاتر از حد مجاز برآورد شد (Salahi et al. 2013). ایمانی و همکاران (2013) باقیمانده ۸ نوع آفت‌کش از گروه‌های مختلف را در محصولات گوجه‌فرنگی و خیار به روش تجزیه جمعی بررسی کردند. این پژوهش نشان داد که در خیار باقیمانده آفت‌کش‌های دیازینون، کلرپیرفوس، فوزالن، دیکلرووس، کارباریل، پرمترین و فنپروپاترین به ترتیب پس از ۹، ۱۲، ۷، ۹، ۱۲، ۵ و ۴ روز به حد مجاز رسیدند و در گوجه‌فرنگی باقیمانده آفت‌کش‌های دیازینون، کلرپیرفوس، و فوزالن به ترتیب پس از ۱۰ و ۱۱ روز به حد مجاز کاهش یافتد (Imani et al. 2006).

در روتاری تبخیر شد. در نهایت به این محلول ۱ میلی لیتر متانول اضافه کرده و ۱ میکرولیتر از آن را به دستگاه کروماتوگرافی تزریق و دیازینون اندازه‌گیری شد. جهت پالایش، صرفاً از فیلتر سرسرنگی با مش  $0/45$  میکرون و قطر  $13$  میلی متر استفاده شد.

**شرایط دستگاه برای آنالیز:** دستگاه گاز کروماتوگرافی Shimadzu, Japan Model: GC-2010 استون:  $280$  درجه سلسیوس، طول استون:  $30$  متر، قطر داخلی استون:  $0/25$  میلی متر، قطر پوسسه:  $0/25$  میکرومتر، دمای اولیه استون:  $150$  درجه سلسیوس با توقف  $5$  دقیقه و بعد با رمپ  $3$  درجه در دقیقه به  $280$  درجه سلسیوس با زمان توقف  $10$  دقیقه، اثرکتور Splitless، دمای اثرکتور:  $200$  درجه سلسیوس، آشکارساز NPD، دمای آشکارساز:  $300$  درجه سلسیوس و با گاز حامل هیدروژن/هوا، میزان جریان:  $3$  میلی لیتر/دقیقه.

جهت انجام آزمایش‌های مربوط به بازیافت<sup>۳</sup>، محلول استاندارد مادر  $1000$  میلی گرم بر کیلوگرم از حشره‌کش (دیازینون  $99$  درصد) تهیه و سپس با رقیق کردن محلول استاندارد مادر، محلول‌های استاندارد با غلظت‌های متفاوت ( $1/6$  و  $44$  میلی گرم بر کیلوگرم) تهیه شد. برای سنجش میزان درصد بازدهی روش کار، آزمایش‌های بازیافت با غلظت‌های  $20$ ،  $10$  و  $1$  میلی گرم بر کیلوگرم با استفاده از استانداردهای کاری مناسب جهت اضافه کردن به  $10$  گرم نمونه شاهد انجام شد. جهت اندازه‌گیری حشره‌کش دیازینون، نمونه‌های تغییض شده، هر یک در  $1$  میلی لیتر اتانول حل شده و  $1$  میکرولیتر از آنها توسط میکروسرنگ طبق نمونه‌های تحت آزمایش به دستگاه تزریق شدند.

## نتایج و بحث

نتایج آزمایش‌ها میزان بازیافت حشره‌کش دیازینون از محصول خیار گلخانه‌ای بین  $75-85$  درصد برآورد شد که طبق عرف قابل قبول بین‌المللی بین  $120$  تا  $70$  درصد است و نشان می‌دهد که روش مورد استفاده در این گستره‌ها معتر است. حد آشکارسازی  $^{(LOD)}$  روش طبق ریکاوری‌های انجام شده معادل  $0/03$  میلی گرم بر کیلوگرم و حد کمی کردن  $^{(LOQ)}$  آن معادل  $0/09$

4- Recovery

5- Limit of Detection

6- Limit of Quantitation

در قطعات تیمار از حشره‌کش دیازینون امولسیون  $60$  درصد، ساخت شرکت آریا شیمی که به نسبت یک در هزار از فرم تجاری طبق توصیه شرکت سازنده استفاده شد. نمونه‌برداری از میوه‌های قابل برداشت و به فواصل  $1, 3, 7, 10, 14$  و  $21$  روز پس از سمپاشی انجام گرفت. طی این مدت نیز هیچ گونه سمپاشی در قطعات تیمار انجام نگرفت. نمونه‌ها بالافاصله در پوشش‌های پلاستیکی سیامرنگ، بسته‌بندی و تا زمان آنالیز در فریزر  $-20$  درجه سلسیوس نگهداری شدند. در هر مرحله نمونه‌برداری، حدود یک کیلوگرم میوه ( $10-5$  عدد) بصورت تصادفی از هر پلات برداشت شد.

به منظور ردیابی باقیمانده دیازینون، از روش استخراج ذیل استفاده شد و برای اندازه‌گیری آن از دستگاه کروماتوگرافی گازی  $^{(GC)}$  با آشکارساز نیتروژن فسفره  $^{(NPD)}$  استفاده شد (Tribolet & Gasser 1995). نتایج بدست آمده تجزیه و تحلیل شده و میزان باقیمانده دیازینون و دوره کارنس آن در شرایط گلخانه تعیین و با استانداردهای توصیه شده توسط شرکت سازنده و ملی مقایسه شد.

**روش استخراج:** در مرحله اول  $10$  گرم از نمونه توزین و آسیاب شده و در یک ب Shr  $150$  میلی لیتری ریخته شد و مقدار  $60$  میلی لیتر استون به آن اضافه شد. سپس این مخلوط به مدت  $2$  دقیقه هموژن و مجدداً  $60$  میلی لیتر استون به آن اضافه و به مدت  $2$  دقیقه هموژن شد. مخلوط هموژن شده توسط پمپ خلا و کاغذ صافی فیلتر شده و محلول صاف شده به دکانتور انتقال داده شد. به این محلول مقدار  $150$  میلی لیتر محلول سدیم سولفات  $2$  درصد و  $40$  میلی لیتر دی‌کلرومتان افزوده و به مدت  $1$  دقیقه تکان داده شد. فاز آلی (فاز پایینی) در یک ب Shr جدا شده و مجدداً مقدار  $20$  میلی لیتر دی‌کلرومتان به دکانتور حاوی محلول باقیمانده اضافه شد. مجدداً فاز آلی (فاز پایینی) در ب Shr قبلی ریخته و مقدار  $20$  میلی لیتر دی‌کلرومتان برای سومین بار به دکانتور اضافه و سپس فاز آلی (فاز پایینی) در ب Shr قبلی ریخته شد. محتویات ب Shr از قیف بوخرن حاوی سولفات سدیم عبور داده شد و محلول صاف شده در دمای  $50$  درجه سانتی‌گراد تا حدود  $10-5$  میلی لیتر

2- gas chromatography

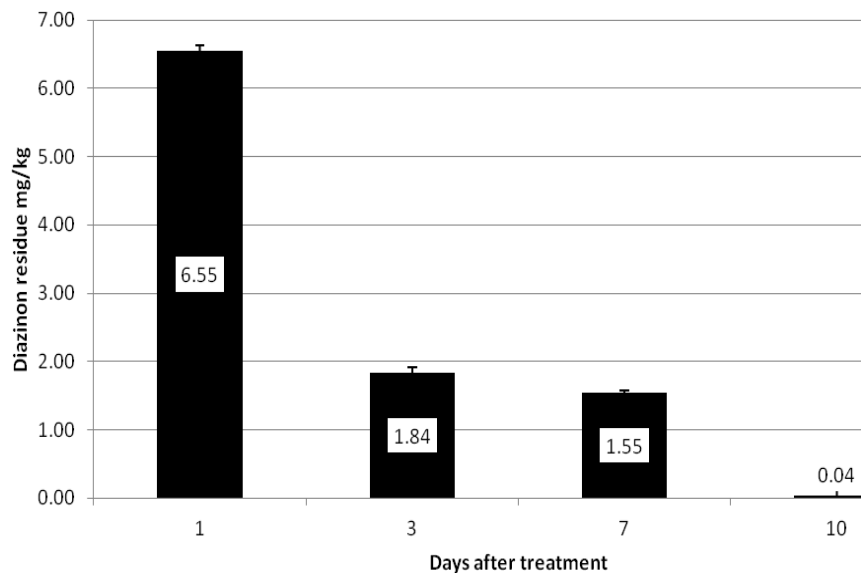
3- Nitrogen Phosphorous Detector

پژوهش ها دوره کارنس حشره کش دیازینون روی خیار ۷ روز تعیین شده است (Weinzierl 2000). تجزیه و از بین رفتن آفت کش ها به عواملی از جمله گونه گیاهی، فرمولاسیون شیمیایی ترکیب، روش کاربرد آنها، شرایط محیطی، پدیده های فیزیکی (عده تاً فارایت) و تجزیه شیمیایی (که در آن نور خورشید نقش مهمی دارد) بستگی دارد. پژوهش ها نشان داده اند که برای بررسی تجزیه آفت کش ها در یک گیاه زراعی، انجام آزمایش در شرایط خاصی که آن آفت کش مصرف می شود ضرورت دارد تا بتوان فاصله زمانی مورد نیاز برای رسیدن باقیمانده آفت کش ها به حد مجاز آن قبل از برداشت محصول مورد نظر را به دست آورد (Brouwer et al. 1997). بنابراین، معمولاً در شرایط خاص و نوع محصول، دوره کارنس متغیر است. با توجه به اینکه در کشت خیار هر ۳ روز یکبار چین خیار انجام و محصول جمع آوری می شود و به سرعت این محصول باید به بازار عرضه شود تا حالت تازه خود را حفظ کند بنابراین نمی توان از دیازینون به عنوان حشره کش مناسبی برای محصول خیار استفاده کرد. با توجه به فعالیت های مختلف انجام شده در وزارت جهاد کشاورزی در راستای تولید محصول سالم مانند تهیه و تدوین استانداردهای مجاز باقیمانده سموم (MRL) و برنامه استفاده بهینه از کود و سم و کاهش مصرف آفت کش ها که در دستور کار قرار گرفته است، به دلیل هراس از خسارت به محصولات و عملکرد پایین تولید، کشاورزان بدون برنامه مدون و کارشناسی شده از آفت کش ها استفاده می کنند که باعث ایجاد باقیمانده بیش از حد مجاز آن ها روی محصولات کشاورزی می شود. از طرفی اثرهای سوء احتمالی از فناوری سرنوشت ساز و مهم مهندسی ژنتیک و استفاده از محصولات ترا ریخته باعث عدم استقبال گسترده از این محصولات شده است و جالب اینجاست که با توجه به شواهد و مدارک بسیار که حاکی از اثرهای سوء آفت کش ها بر سلامت انسان ها و محیط زیست است، تصمیم قاطعی در عدم مصرف و یا حتی رعایت استانداردهای باقیمانده آفت کش ها گرفته نمی شود. فناوری هر ای افسوس و تردید افکنی غیرقانونی محدودی مدیر میانی به ویژه در دهه اخیر موجب خارج شدن فناوری سرنوشت ساز و مهم مهندسی ژنتیک از دستور کار به نژادگران کشور شده و در نتیجه سالیانه بالغ بر ۵ میلیارد دلار از این نوع محصولات وارد

میلی گرم بر کیلوگرم است. روند کاهش و تجزیه دیازینون در نمونه های آزمایش شده در دو سال زراعی در شکل های ۱ و ۲ آورده شده است. در هر دو سال آزمایش نمونه ها پس از ده روز میزان باقیمانده دیازینون را در حد مجاز نشان می دهد. مقادیر بدست آمده از نظر یکنواختی مورد بررسی قرار گرفته و در طرح بلوک های کامل تصادفی تجزیه شدند. با توجه به نتایج، اثر تکرار معنی دار نشد و تکرارها یکنواخت بودند ( $F=1/43$ ). همچنین مقادیر بدست آمده از نمونه برداری های ۱۰ روز پس از سمپاشی به منظور تعیین دوره کارنس توسط آزمون "t" با مقدار حد مجاز دیازینون برای خیار  $0/05$  میلی گرم بر کیلوگرم) مورد مقایسه قرار گرفتند و در سطح اطمینان ۹۵ درصد تفاوت معنی داری دیده نشد.

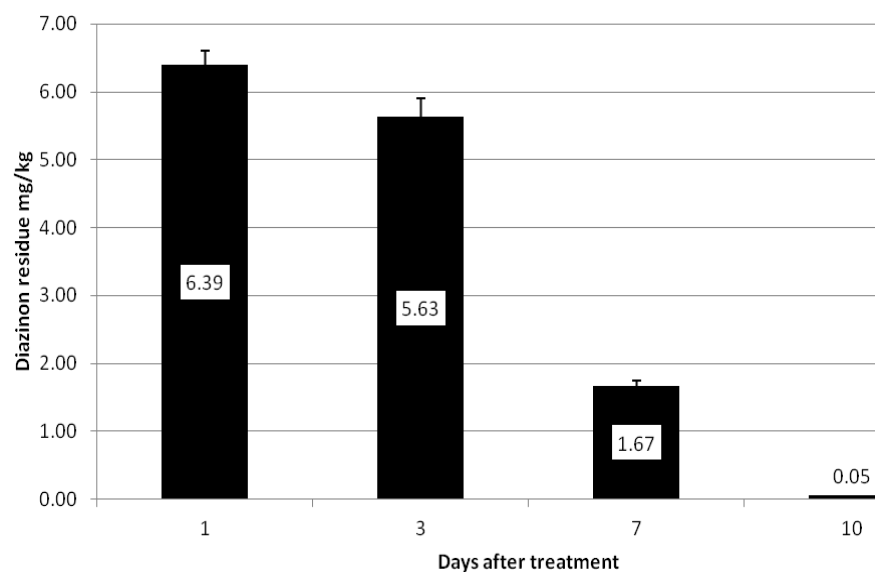
مقادیر بدست آمده از نظر یکنواختی مورد بررسی قرار گرفته و در طرح بلوک های کامل تصادفی تجزیه شدند. با توجه به نتایج، اثر تکرار معنی دار نیست و بنابراین تکرارها یکنواخت هستند. نتایج به دست آمده در دو سال آزمایش نیز مقایسه شدند و از لحاظ آماری تفاوت معنی داری بین سالها ملاحظه نشد و بنابراین تکرارهای هر دو سال به صورت یکجا مورد بررسی آماری قرار گرفت.

با توجه به آنالیز نمونه های برداشته شده از آزمایش های تعیین دوره کارنس سم دیازینون (شکل های ۱ و ۲)، میزان باقیمانده سم دیازینون ده روز پس از سمپاشی به حد مجاز (MRL) که  $0/05$  میلی گرم بر کیلوگرم است و توسط استاندارد ملی تعیین شده، می رسد (Iranian National Standard 2010). بنابراین دوره کارنس دیازینون بر روی خیار گلخانه ای ۱۰ روز پس از سمپاشی تحت شرایط فوق تعیین شد. در بررسی دیگری توسط نگارنده پژوهش هایی درباره دوره کارنس حشره کش ایمیداکلوبپرید روی خیار گلخانه ای در ورامین انجام پذیرفت که دوره کارنس آن معادل ۳ روز برآورد و تعیین شد (Morowati et al. 2013). در مطالعات جامعی که توسط واين زيرل در دانشگاه ايلينويز انجام پذيرفت حشره کش دیازینون را با دوزهای متفاوت روی محصولاتی چون کلم بروکلی، کلم پیچ، گل کم، شلغم، خردل، خیار، کدو و هندوانه آزمایش و دوره کارنس آن را بين ۴ روز (هندوانه) تا ۲۱ روز (کلم) تعیین و اعلام کردند و در ادامه همین



شکل ۱- روند تجزیه باقیمانده دیازینون روی خیار در سال اول زراعی.

Figure 1- Decomposition process of Diazinon residue on cucumber in the first year of cultivation.



شکل ۲- روند تجزیه باقیمانده دیازینون روی خیار در سال دوم زراعی.

Figure 2- Decomposition process of Diazinon residue on cucumber in the second year of cultivation

طرفداری از محیط زیست و سلامت انسان هنگامی غیرقابل باور و اعتقاد می‌شود که با وجود مدارک بسیار که حاکی از تاثیر سوء آفت‌کش‌های شیمیایی بر سلامت انسان و محیط زیست است؛ تصمیم قاطعی در مورد حذف این نوع سموم از زنجیره تولید

کشور می‌شود. با وجود استقبال بینظیر کشاورزان در کشورهای تولید کننده این نوع محصولات؛ در کشور ما کشاورزان و مصرف کنندگان ضمیم نهی در مورد کشت و کار محصولات ترازیخته در معرض آفت‌کش‌های شیمیایی قرار گرفته‌اند. اعتراض مدعیان

آفتکش‌ها اتخاذ نمی‌شود.

### منابع

1. Adeli N, Ghareyazie B. 2012. Comparison of Environmental, Human and Animal safety Aspects Between the Traditional Agrochemical-Based Insect Control and the Use of Insect Resistance Biotech Crops. Genetic Engineering and Biosafety Journal, Vol. 1, No. 2.
2. Anonymous. 1995a. Pesticides usage in agriculture, Preface, Zeiton, Special issue no. 1, Pp.4-5. (In Farsi).
3. Anonymous. 1995b. A discourse with the UNDP representative in I. R. Iran on Pesticides usage in Iran, Zeiton, Special issue no. 1. Pp. 9-11. (In Farsi).
4. Anonymous. 1995c. A discourse with the Director of Mazandaran Province Agricultural Organization on Pesticides usage in Iran, Zeiton, Special issue no. 1. Pp. 16-19. (In Farsi).
5. Brouwer DH, De Haan M, Leenheers LH, De Vreede SAF, Van Hemmen JJ. 1997. Half-lives of pesticides on greenhouse crops. Bull. Environ. Contam. Toxicol. 58: 976-984.
6. Frank R, Braun HE, Ripley BD. 1990. Residues of insecticides and fungicides on Ontario- grown vegetables, 186-1988. Food Additives and Contaminants, 7: 545-554.
7. Hajirazagh N. 2000. Determination of pesticide residue and pre-harvest interval of Diazinon in sweet cherry. Final project report. Iranian Research Institute of Plant Protection. (In Farsi).
8. Hajirazagh N. 2001. Determination of pesticide residue and pre-harvest interval of Diazinon in water melon and the comparison of recommended methods with customary ones. Final project report. Iranian Research Institute of Plant Protection. (In Farsi).
9. Heidari A. 2010. Strategic program of Pesticides Research. Iranian Institute of Plant Protection publication. Pp. 6. (In Farsi).
10. Hodgson E, Levi P. 1997. A textbook of modern toxicology. 2nd ed. Appleton & Lange.
11. Imani S, Talebi K, Shojaei M, Kamali K. 2006. Multi-residue determination of eight types of pesticides used on greenhouse cucumber and Tomato. Proceedings

محصولات کشاورزی و یا حتی رعایت استانداردهای باقیمانده

- of the 17<sup>th</sup> Plant Protection Congress, Tehran, Vol. 1, Pests, pp. 147. (In Farsi).
12. Iranian National Standard. 2010. Pesticides-Maximum residue limits of pesticides- Fruit vegetables, 1<sup>st</sup> Ed., Institute of Standard and Industrial Research of Iran. (In Farsi).
13. Jafari Sh, Sepahvand M, Azdbakht N, Ahora M. 2004. Investigation on Endosulfan residue levels in water and soil resources and cucumber produced in Chagholvandi region (Lorestan Province). Proceedings of the 1<sup>6</sup><sup>th</sup> Plant Protection Congress, Tabriz, Vol. 1, Pests, pp. 179. (In Farsi).
14. Morowati M, Ebrahimnejad M, Tajbakhsh MR. 2013. Determination of residue and pre-harvest interval of Imidaclopride insecticide on greenhouse cucumber in Varamin region. J. of Sc. & Technol. Greenhouse culture, vol. 4, No. 14. (In Farsi).
15. Ragsdale N, Kuhr RJ. 1987. Pesticides: minimizing the risk. ACS.
16. Salahi A, Morowati M, Entesari M. 2013. Determination of Endosulfan and Diazinon residue levels in Tomato and cucumber in Kohgiloye and Boyer Ahmad Province. Genetic Engineering and Biosafety, Vol. 1, No. 2, Pp. 113- 120. (In Farsi).
17. Tomlin CDS. 2003. The Pesticide Manual. British Crop Protection Council, 1<sup>3</sup><sup>th</sup> Edition, UK.
18. Torres CM, Pico Y, Marin R, Manes J. 1997. Evaluation of organophosphorous pesticide residues in citrus fruits from the Valencia Community (Spain). J. of AOAC International, 80: 1122-1128.
19. Tribolet N, Gasser J. 1995. Analytical methods for pesticide residues in food stuffs.
20. Weinzierl R. 2000. Insect Pest Management for commercial vegetable crops, Illinois agricultural pest management handbook, Department of crop sciences, Illinois.
21. Yadegarian L. 2000. Diazinon residue levels and its pre-harvest interval in Onion and Spring onion. Final project report, Iranian Research Institute of Plant Protection. (In Farsi).



## رديابي ژن *nptII* و پيشبر *nos* در دستگاه گوارش و بافت‌های موش‌های صحرائي تغذيه شده با سيبزميني تراوريخته

Detection of *nptII* gene and *nos* promoter in digestive system and tissues of rat, fed genetically modified potato

علييرضا ستارزاده<sup>۱</sup>، حسن رهنما<sup>۲\*</sup>، مهدى نيكمرد<sup>۳</sup>، بهزاد قره‌ياضى<sup>۴</sup>، محمود

خسروشاهلى<sup>۵</sup>

Alireza Sattarzadeh<sup>۱</sup>, HassanRahnama<sup>۲\*</sup>, Mahdi nikmard<sup>۳</sup>, Behzad Ghareyazie<sup>۴</sup>,  
Mahmod Khosrovchahli<sup>۵</sup>

۱، ۲ و ۴- پژوهشکده بیوتکنولوژی کشاورزی ایران

۱، ۳ و ۵- دانشگاه آزاد اسلامی واحد علوم تحقیقات تهران

۱، ۲، ۴-Agricultural Biotechnology Research Institute of Iran(ABRII)  
1,3,5- Azad university science and research center of Iran

\* نويسنده مسئول مکاتبات، پست الکترونيکي: hrahnama@abrii.ac.ir

(تاریخ دریافت: ۹۲/۴/۲۵ - تاریخ پذیرش: ۹۲/۷/۲۱)

چكیده

### واژه‌های کلیدی

استفاده از ژن‌های مقاومت به آنتىبيوتىك در گیاهان تراوريخته منجر به ملاحظاتی در مصرف کنندگان در رابطه با احتمال انتقال مقاومت آنتىبيوتىك به میکرووارگانیسم‌های داخلی بدن، دستگاه گوارش و احتمال جذب آنها شده است. بررسی میزان ثبات و تجزیه‌پذیری پروتئین یا ژن مورد نظر در طی مراحل هضم، می‌تواند تغیراتی مربوط به سمیت یا حساسیت‌زاویی آن را به حداقل برساند. برای بررسی میزان پایداری و وجود قطعات دی.ان.ای نوترکیب سیبزمینی تراوريخته در دستگاه گوارش و احتمال جذب آنها، از مدل حیوانی موش صحرائي استفاده شد. پس از اتمام یک دوره خوراک‌دهی ۹۰ روزه موش‌های صحرائي، نمونه‌هایی از محتوای دستگاه گوارش، بافت‌های دستگاه گوارش، خون و سایر بافت‌ها برداشته شد. پس از استخراج دی.ان.ای و بررسی کمیت و کیفیت آن، اقدام به شناسایی و رديابي قطعات مختلف ترازن با روش واکنش زنجيره‌اي پليمراز و با استفاده از آغازگرهای اختصاصی قطعات داخل ژنی شد. براساس نتایج بدست آمده، ژن شاهد که شامل قطعات ژن کلروپلاستی *cp* در خوراک استفاده شده بعنوان غذا و محتويات دستگاه گوارش و قطعات ژن داخلی موش *my* به عنوان کنترل داخلی بافت‌های موش، در هر دو گروه از موش‌های تغذيه شده با سیبزمینی تراوريخته و غيرتراوريخته شناسایي شد. نتایج واکنش زنجيره‌اي پليمراز برای پيشبر *nos* و ژن *nptII* و در تعدادی از نمونه‌های محتويات دستگاه گوارش گروه‌های تغذيه شده با سیبزمینی تراوريخته مشبت بود و در نمونه مربوط به بافت‌ها و خون و گروه کنترل هیچ قطعه‌ای مشاهده نشد. نتایج اين پژوهش نشان داد قطعات ژن داخلی سیبزمینی و مولکول دی.ان.ای ترازن در دستگاه گوارش بطور كامل تخریب نشده و قطعاتی از آن در دستگاه گوارش قابل تشخیص است. آنچه مسلم است دی.ان.ای موجود در يك ماده غذائي و يا دی.ان.ای منتقل شده (ترازن) در دستگاه گوارش ساختار يكسانی دارد. بنابراین، حضور قطعاتی از اين ژن‌ها در بخش‌های مختلف دستگاه گوارش موش طبیعی است.

پيشبر

دستگاه گوارش

دی.ان.ای نوترکیب

ژن *nptII*

سيبزميني تراوريخته

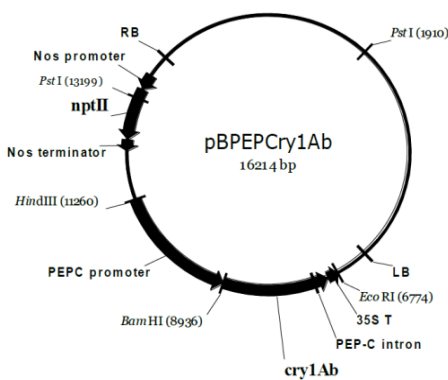
## مقدمه

بيفتند. پژوهش در زمينه انتقال ژن *nptII* و ساير ژن‌های نشانگر مقاومت به آنتيبيوتيك مشخص کرد که انتقال يك ژن نشانگر از يك گیاه تاریخته به باكتري خاک که قبلاً واجد آن ژن نبوده‌اند، بسیار بعيد است. حتی وقتی که يك باكتري خاک‌زی حساس به کاناامایسین، ژن *nptII* حاصل از گیاه را دریافت می‌کند پخش صفت جدید در جمعیت باكتري‌ای بستگی به قدرت رقابتی سلول‌های تاریخته دارد. چون وجود کاناامایسین در خاک‌های طبیعی هنوز شناسایی نشده است (Nielsen *et al.*, 2000). نتیجه گرفته شده است که شرایط طبیعی خاک به ندرت فشار انتخابی لازم برای اثبات انتقال احتمالی ژن *nptII* از گیاهان تاریخته به باكتري‌های پذیرنده را فراهم می‌کند. از طرف دیگر، باكتري‌های مقاوم به کاناامایسین به فراوانی در خاک‌های طبیعی وجود دارند. برای مثال، DeVries و همکاران (۱۹۹۸) دی.ان.ای استخراج شده از چهار نمونه خاک از مزارع مختلف را بررسی کرده و نشان دادند که هر چهار نمونه خاک واجد دی.ان.ای بودند که با استفاده از آغازگرهای اختصاصی *nptII* توسط واکنش زنجیرهای پلیمراز تکثیر پیدا می‌کنند. غلظت توالی‌های *nptII* هدف بین  $2 \times 10^6$  تا  $3 \times 10^8$  مولکول بر گرم خاک (وزن خشک) متفاوت بود. بنابراین، تحت بهترین شرایط فرضی، نمونه‌های خاک‌زی تاریخته مقاوم به کاناامایسین که در نتیجه جذب دی.ان.ای از گیاه تاریخته ایجاد می‌شوند ۱:۱۰۰۰۰۰۰ جمعیت‌های خاک‌زی مقاومت به کاناامایسین را هم تشکیل نخواهند داد (Rahnama *et al.*, 2011).

در این پژوهش تلاش شده است تا با استفاده از روش واکنش زنجیرهای پلیمراز، وجود قطعات دی.ان.ای تراژن *nptII* و پیشبر *nos* در محتویات دستگاه گوارش و همچنین بافت‌های مختلف موش‌های تغذیه شده با سیبزمینی تاریخته مورد بررسی قرار گیرد. نتایج این پژوهش را می‌توان به مراکز مسئول صدور مجوز رهاسازی ارائه کرد و به کمک این اطلاعات در مورد امکان به زیر کشت بردن تجاری سیبزمینی تاریخته تصمیم‌گیری کرد. با توجه به نتایج این بررسی تا حدودی به ملاحظه‌ها و تردیدها در مورد استفاده از محصولات تاریخته پاسخ داده خواهد شد.

تراژن‌های موجود در گیاهان تاریخته در بیشتر موارد دارای توالی‌های پروکاریوتی هستند از جمله ملاحظه‌های موجود در این زمينه امكان انتقال اين تراژن‌ها از گیاهان تاریخته به باكتري‌ها و يا ميكروب‌های موجود در دستگاه گوارش انسان و حيوانات است. يكى از مهمترین ملاحظه‌ها اين است که ژن‌های مقاومت به آنتيبيوتيك استفاده شده در توليد گیاهان تاریخته ممکن است وارد باكتري‌های بيماري‌زاي موجود در دستگاه گوارش شوند (Folmer *et al.*, 2000). بدین منظور ضروري است پس از توليد يك محصول تاریخته، سلامت غذائي آن از جنبه‌های مختلف مورد بررسی قرار گيرد. ژن *nptII* فراوان ترین ژن نشانگر انتخابی استفاده شده در گیاهان تاریخته جهت اهداف پژوهشی است (Ziemienowicz *et al.*, 2001). بررسی‌های انجام شده در بخشی از مقالات منتشر شده نشان داده که در ۴۴-۷۷ درصد از پژوهش‌هایی که از گیاهان تاریخته استفاده کرده‌اند، گیاهان مورد بررسی واجد ژن نشانگر انتخابی *nptII* بوده‌اند (Rahnama *et al.*, 2011). آژانس‌های نظارتی بین‌المللی، آزادسازی تجاري كلزا، ذرت، سيبزميني، گوجه‌فرنگي، گیاه کتان، کاسپي و پنبه حاوی ژن *nptII* را پذيرفته‌اند. هيق گونه گزارشي مبنی بر اثرهای سوء NPTII يا ژن *nptII* بر انسان، جانوران يا محيط گزارش نشده است (Rahnam *et al.*, 2004; Miki *et al.*, 2004). در بررسی‌های انجام شده بر روی باكتري‌های خاک‌زی در مزارع زير کشت گیاهان تاریخته واجد ژن‌های نشانگر مقاومت به آنتيبيوتيك‌ها، هيق گونه باكتري تاریخته‌ای مشاهده نشده است (De Vries *et al.*, 1998). بعلاوه، گروههای پژوهشی زيادي هم نتوانسته‌اند در شرایط آزمایشگاهی، انتقال افقی ژن را از گیاهان تاریخته به باكتري‌ها نشان دهند. با اين وجود، ثابت شده است که باكتري‌هایی که دارای بخش‌هایی از ژن *nptII* هستند می‌توانند در نتیجه نوترکيبي با ژن‌های همسان خود (NPTII) در گیاه تاریخته، ژن خارجي گیاهی را دریافت کنند (Rahnama *et al.*, 2011; Van den Eedeet *et al.*, 2004). داده‌های اخير مشخص کرده‌اند که انتقال ژن از گیاهان تاریخته به باكتري‌های خاک می‌تواند در شرایط طبیعی (حدائق و قناتی که توالی‌های همسان مشخصی بین ژن خارجي و دی.ان.ای سلول پذيرنده وجود داشته باشد) اتفاق

خوراک دهی ۹۰ روزه، پس از ۱۲ ساعت از قطع غذا یا خوراک، سلاخی و کشتار موش‌ها انجام شد؛ در دستگاه گوارش از محتویات معده، محتویات سکوم، محتویات روده، و بافت‌های دوازده، ژوژئوم، دودئوم، ریه، کبد، معده، قلب، کلیه، طحال، بیضه، مغز و خون بصورت جداگانه نمونه‌گیری شد و نمونه‌ها در فریزر و در دمای ۸۰–۸۰ درجه سانتی‌گراد نگهداری شدند. سپس به کمک روش واکنش زنجیره‌ای پلیمراز، ژن نشانگر *nptII* در قسمت‌های مختلف دستگاه گوارش، بافت‌ها و خون مورد پیگیری قرار گرفت. برای تهیه دی.ان.ای مورد نیاز از بافت‌ها و نمونه‌های مختلف برای واکنش زنجیره‌ای پلیمراز از کیت‌های استخراج دی.ان.ای Qiagen استفاده شد. غلظت دی.ان.ای مورد استفاده ۷۰ تا ۱۰۰ نانوگرم بر میکرولیتر بود. انجام واکنش زنجیره‌ای پلیمراز، جهت حصول اطمینان از ترازیخته بودن سیب‌زمینی مورد استفاده به عنوان خوراک در تغذیه موش‌ها با آغازگرهای اختصاصی (*cp* و *my*) ضروری است، بدین منظور پس از استخراج دی.ان.ای، واکنش زنجیره‌ای پلیمراز با آغازگر اختصاصی قطعات ژن‌های استفاده شده در تولید سیب‌زمینی ترازیخته، شامل پیشیر *nos* و ژن *nptII* انجام شد (شکل ۲ و ۳).



شکل ۱- نقشه‌ی ناقل دوگانه pBPECry1Ab حاوی ژن *cry1Ab* تحت کنترل پیشیر PEPC، پیشیر *nos* و نشانگر انتخابی *nptII*

Figure 1- Map of pBPECry1Ab vector containing *cry1Ab* gene under PEPC promoter, *nos* promoter, and *nptII* selectable marker gene.

آغازگرهای مورد استفاده در بررسی الگوی بیان ژن: به منظور بررسی الگوی بیان اعضای مختلف خانواده ژنی، طراحی

## مواد و روش‌ها

خصوصیات سازه ژنی استفاده شده در تولید سیب‌زمینی ترازیخته: در پژوهشکده بیوتکنولوژی کشاورزی ایران-کرج، سیب‌زمینی ترازیخته مقاوم به بید سیب‌زمینی با استفاده از ژن *cry1Ab* تولید شده است. برای هدفمند کردن بیان ژن‌ها و تولید سیب‌زمینی Bt این‌تر از نظر رعایت اصول ایمنی زیستی، از پیشیر (PEPC) *Phosphoenolpyruvate carboxylase* گیاه ذرت (*Zea mays*) که سبب ظاهر ژن در بخش‌های سبز گیاه می‌شود، استفاده شده است (Ghasimi et al., 2009). برای انتقال سازه مولکولی pBPECry1Ab به گیاه سیب‌زمینی از آگروباکتریوم تومه‌فاسینس سویه AGL01 استفاده شد (شکل ۱). این سازه ژنی دارای ژن نشانگر *nptII* و از پیشیر *NOS* است.

رژیم غذایی، گروه‌های آزمایشی و انجام واکنش زنجیره‌ای پلیمراز: سیب‌زمینی‌های کترسل و ترازیخته پس از کشت در شرایط گلخانه‌ای به مرحله غده‌دهی رفتند. سیب‌زمینی‌ها پس از خشک‌کردن، به شکل پودر در جیره غذایی موش‌ها مورد استفاده قرار گرفتند. از آنجا که سیب‌زمینی و فراورده‌های آن به وفور در سبد غذایی انسان مورد استفاده قرار می‌گیرد بنابراین در این پژوهش از مدل موش صحرایی به دلیل مشابهت بسیار زیاد دستگاه گوارش با انسان نسبت به سایر حیوانات آزمایشگاهی و مزرعه‌ای موجود در ایران استفاده شد. برای انجام این آزمایش از ۱۶ موش صحرایی (۸ موش نر و ۸ موش ماده) استفاده شد. موش‌ها به چهار گروه ۴ تایی تقسیم شدند. هر یک از این دسته‌ای ۴ تایی تحت عنوان یک تیمار بودند که در هر تیمار از ۲ موش نر و دو موش ماده استفاده شد. در ۲ گروه از موش‌ها علاوه بر جیره غذایی معمولی موش (شامل پودر گندم، پودر جو، پودر گشت، سبوس گندم، بلغور سویا، پودر برسیم، پودر یونجه، مولتی ویتامین، ویتامین C، ویتامین D3، ویتامین E، پودر شیر و بلغور گشت) ۳۰ درصد سیب‌زمینی ترازیخته و در دو گروه دوم علاوه بر جیره غذایی معمولی موش، از سیب‌زمینی غیرترازیخته استفاده شد. در دو گروه از گروه‌های چهارتایی از سیب‌زمینی نوردیده و در دو گروه دیگر از سیب‌زمینی‌های قرار گرفته در شرایط تاریکی استفاده شد. شرایط نگهداری موش‌ها براساس دستورالعمل OECD بود (OECD, 1998). پس از اتمام یک دوره

قطعات ژن داخلی موش به عنوان کنترل داخلی *my* (جدول ۱)، تهیه شد. کنترل مثبت در این آزمایش به یک ژن با تعداد نسخه بالا گفته می‌شود که بتوان به سادگی در قسمت‌های مختلف مورد ردیابی قرار گیرد انجام واکنش زنجیره‌ای پلی‌مراز جهت تشخیص قطعه ژن *nptII* و پیشتر *nos* با آغازگرهای اختصاصی (جدول ۲ و ۳) پس از استخراج دی.ان.ای از بافت‌های ذکر شده انجام شد (شکل ۴، ۵ و ۶؛ جدول ۴). ترکیب محلول واکنش در جدول ۳ و

آغازگرها به گونه‌ای صورت گرفت که با استفاده از هر جفت آغازگر تنها عضو مورد نظر به طور اختصاصی تکثیر شود. به این منظور از طریق هم‌ردیف کردن توالی‌های گزارش شده برای هر ژن مورد نظر در بانک ژن (National Center for Biotechnology Information NCBI) جفت آغازگرهای اختصاصی با استفاده از نرم‌افزار OLIGO ver 5 طراحی شد. یک جفت آغازگر برای کنترل مثبت که شامل قطعات ژن کلروپلاستی *cp* و

جدول ۱- فهرست جفت آغازگرهای مورد استفاده در بررسی الگوی بیان ژن‌های اختصاصی و کنترل.

Table 1- Names and sequences of the primer pair used for determine gene expression especially and control.

نام آغازگر Primer	توالی آغازگر Sequence of primer	طول محصول PCR Length of PCR product
Pot-cp-F	5'- CTC TTT ACA TCG AAA CTT CAG AAA G-3'	111 bp
Pot-cp-R	5'- AAA CTA CGG ATT CGG GTC G-3	
F-nptII	5' GCT ATT CGG CTA TGA CTG GGC AC 3'	400 bp
R-nptII	5' TCA TCC TGA TCG ACA AGA CCG GC 3	
MY-F 5	'5'- TTG TGC AAA TCC TGA GAC TCA T-3'	100 bp
MY-R 5	5'- ATA CCA GTG CCT GGG TTC AT-3'	
R-Nos P	5' AGG TGC AGA TTA TTT GGA TTG AGA GTG 3'	300 bp
F-Nos P	5' TCA TGA GCG GAG AAT TAA GGG AG 3'	

جدول ۲- زمان و دمای استفاده شده واکنش زنجیره‌ای پلی‌مراز برای آغازگرهای اختصاصی و کنترل داخلی.

Table 2- Time and annealing temperature primers specific used in the polymerase chain reaction.

آغازگر Primer	واسرشت سازی اولیه Initial denaturation(min)	واسرشت سازی Denaturation (sec)	واسرشت آغازگر Annealing (sec)	انصال آغازگر Extension (sec)	گسترش Cycle	تعداد چرخه Final elongation (min)
Pot-cp	4 min at 94 °C	30 sec at 94 °C	30 sec at 60 °C	30 sec at 72 °C	36	5 min at 72 °C
nptII	5 min at 94 °C	30 sec at 94 °C	30 sec at 60°C	30 sec at 72 °C	36	5 min at 72 °C
MY	5 min at 94 °C	30 sec at 94 °C	30 sec at 60 °C	30 sec at 72 °C	36	5 min at 72 °C
Nos	4 min at 94 °C	30 sec at 94 °C	30 sec at 60 °C	30 sec at 72 °C	36	5 min at 72 °C

استفاده در واکنش زنجیره‌ای پلی‌مراز به غیر از دی.ان.ای ژنومی) تهیه شد. سپس محلول مادری در میکروتیوب‌های ۰/۲ میلی‌لیتری تقسیم و با دی.ان.ای ژنومی و آغازگرها به خوبی مخلوط شد و

زمان و دمای واکنش زنجیره‌ای پلی‌مراز در جدول ۲ ذکر شده است. محلول مادری با در نظر گرفتن مواد مشترک بین واکنش‌های مورد نظر به همراه کنترل منفی (تمام مواد مورد

شکل ۳ نشان داده شده است، باندهای حاصل از تکثیر مشاهده شده با اندازه ۴۰۰ جفت باز مربوط به کترل مثبت (دی.ان.ای پلاسمید) و خوراک سیب زمینی تاریخته است، کترل منفی و سیب زمینی غیر تاریخته و شاهد هیچ گونه باندی نشان نمی دهد.

همانطور که در شکل ۲ و ۳ نشان داده شده است، باندهای حاصل از تکثیر مشاهده شده با آغازگر اختصاصی ژن های استفاده شده در تولید سیب زمینی تاریخته بیانگر تاریخته بودن سیب زمینی مورد استفاده به عنوان خوراک در تغذیه موش هاست.

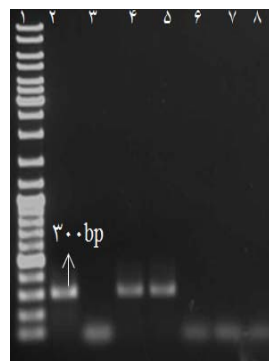
**نتایج واکنش زنجیره‌ای پلیمراز برای تشخیص ژن *nptII*** نتایج واکنش زنجیره‌ای پلیمراز برای ژن *nptII* در تعدادی از نمونه‌های دستگاه گوارش موش‌های تغذیه شده با سیب زمینی تاریخته مثبت بود و در نمونه مربوط به بافت‌ها و خون و گروه کترل هیچ قطعه‌ای مشاهده نشد (شکل‌های ۴ و ۵؛ جدول ۴).

پس از اسپین در دستگاه PCR BIO-RAD قرار گرفت. محصول واکنش زنجیره‌ای پلیمراز بر روی ژل آگاروز ۱ درصد برد شد و توسط دستگاه Gel-Doc عکسبرداری صورت گرفت.

### نتایج و بحث

اثبات تاریخته بودن سیب زمینی استفاده شده به عنوان خوراک تشخیص پیشیر *nos* در سیب زمینی تاریخته: همانطور که در شکل ۲ نشان داده شده است، باندهای حاصل از تکثیر مشاهده شده با اندازه ۳۰۰ جفت باز مربوط به کترل مثبت (دی.ان.ای پلاسمید) و خوراک سیب زمینی تاریخته است، که نشان دهنده تاریخته بودن سیب زمینی است؛ کترل منفی و سیب زمینی غیر تاریخته و شاهد هیچ گونه باندی نشان نمی دهد.

**تشخیص ژن *nptII* در سیب زمینی تاریخته: همانطور که در**



شکل ۲- تشخیص پیشیر *nos* در سیب زمینی تاریخته با استفاده از واکنش زنجیره‌ای پلیمراز.

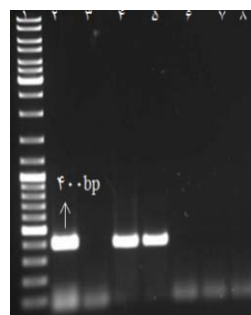
Figure 2- Detection of *nos* promoter in genetically modified potato by PCR reaction.

شماره‌گذاری‌ها به این ترتیب هستند: شماره ۱، نشانگر وزن مولکولی (1Kb Ladder)؛ ۲، پلاسمید نوترکیب حاوی پیشیر *nos* و ۳، کترل منفی (آب)؛ ۴، غذای محتوی سیب زمینی تاریخته نور؛ ۵، سیب زمینی تاریخته؛ ۶، سیب زمینی غیر تاریخته؛ ۷، سیب زمینی غیر تاریخته؛ ۸، غذای محتوی سیب زمینی غیر تاریخته.

Number: 1 Ladder (1Kb Ladder) 2: Recombinant plasmid contained *nos* promoter3: negative control (water) 4: diet with genetically modified potato (GMP) 5: genetically modified potato (NGMP) 6: diet without potato7: genetically modified potato (NGMP) 8: diet with NGMP

موش نر تغذیه شده با سیب زمینی تاریخته (شکل ۴؛ شماره ۲) نیز تشخیص داده شد. کترل منفی و نمونه‌های محتویات سکوم سایر موش‌های تغذیه شده با سیب زمینی تاریخته و غیر تاریخته و گروه شاهد هیچ گونه باندی نشان نداد که بیانگر عاری بودن محتویات سکوم نمونه‌های ذکر شده از قطعه ژن *nptII* است. حضور ژن کلروپلاستی *cp* با قطعه تکثیری به اندازه ۱۱۱ جفت

تشخیص قطعه ژن *nptII* در محتویات سکوم: همانطور که در شکل ۴ نشان داده شده است، باندهای ۴۰۰ جفت بازی حاصل از تکثیر مربوط به ژن *nptII* در نمونه کترل مثبت (دی.ان.ای پلاسمید) و خوراک سیب زمینی تاریخته مشاهده می شود. همچنین قطعه ژن *nptII* در محتویات سکوم موش نر تغذیه شده با سیب زمینی تاریخته (شکل ۴؛ شماره ۱۵) و محتویات سکوم

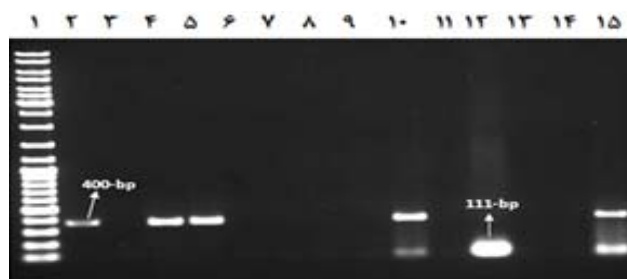


شکل ۳- تشخیص ژن *nptII* در سیب زمینی تراریخته با استفاده از واکنش زنجیره‌ای پلیمراز.

Figure 3- Detection of *nptII* gene in the genetically modified potato (GMP) by PCR reaction.

شماره‌گذاری‌ها به این ترتیب هستند: شماره ۱: نشانگر وزن مولکولی (1Kb Ladder) ۲: پلاسمید‌نوترکیب حاوی ژن *nptII* ۳: کنترل منفی (آب) ۴: غذای محتوی سیب زمینی تراریخته ۵: سیب زمینی تراریخته ۶: سیب زمینی غیر تراریخته ۷: غذای محتوی سیب زمینی غیر تراریخته ۸: غذای قادر سیب زمینی.

Number: 1 (1Kb Ladder) 2: Recombinant plasmid contained *nos* 3: negative control (water) 4: diet with genetically modified potato (GMP) 5: GMP6: NGMP 7: diet with NGMP 8: diet without potato

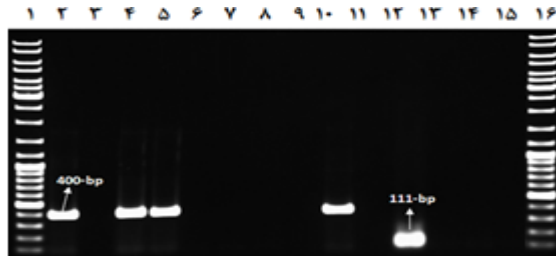


شکل ۴- تشخیص قطعه ژن کلروپلاستی *cp* و ژن *nptII* در محتویات سکوم.

Figure 4- Detection of potato-specific *cp* gene and *nptII* gene in content of the cecum

شماره‌گذاری‌ها به این ترتیب هستند: شماره ۱) نشانگر وزن مولکولی (1Kb Ladder) ۲) موش نر تغذیه شده با سیب زمینی تراریخته ۳) کنترل منفی (آب) ۴) سیب زمینی تراریخته ۵) خوراک سیب زمینی تراریخته ۶) سیب زمینی شاهد ۷) خوراک سیب زمینی غیر تراریخته ۸) موش نر تغذیه شده خوراک سیب زمینی غیر تراریخته ۹) موش ماده تغذیه شده با سیب زمینی تراریخته ۱۰) پلاسمید نوترکیب حاوی ژن *nptII* ۱۱) موش ماده تغذیه شده با سیب زمینی غیر تراریخته ۱۲) کنترل مثبت (ژن کلروپلاستی *cp*) در محتویات سکوم موش نر تغذیه شده با سیب زمینی غیر تراریخته ۱۳) موش ماده تغذیه شده با سیب زمینی تراریخته ۱۴) موش ماده تغذیه شده با سیب زمینی تراریخته ۱۵) موش نر تغذیه شده با سیب زمینی تراریخته.

Line numbers: 1 (1Kb Ladder) 2: male rats were fed diet GMP 3: control without DNA 4: GMP 5: diet with GMP 6: control diet without potato 7: diet with NGMP 8: male rats were fed diet NGMP 9: female rats fed GMP10: Recombinant plasmid harboring *nos* gene 11: female rats fed with diet GMP 12: positive control (chloroplast *cp* gene) content of the cecum male rats fed diet NGMP 13: female rats fed diet GMP 14: female rats fed diet GMP 15: male rats fed diet GMP

شكل ۵- تشخيص قطعه ژن کلروپلاستی *cp* و ژن *nptII* در محتويات معده.Figure 5- Detection of potato-specific primer CP and *nptII* gene in content of the Stomach.

شماره‌گذاري‌ها به اين ترتيب هستند: شماره ۱ و ۱۶: نشانگر وزن مولکولي (1Kb Ladder) ۲: موش ماده تغذيه شده با سيبزميني تارريخته ۳: كتrol منفي (آب) ۴: سيبزميني تارريخته ۵: خوراک سيبزميني تارريخته ۶: سيبزميني غيرتارريخته ۷: موش ماده سيبزميني غيرتارريخته ۹: موش ماده تغذيه شده با سيبزميني تارريخته ۱۰: پلاسميد نوترکيب حاوي ژن *nptII* ۱۱: موش ماده تغذيه شده با سيبزميني تارريخته ۱۲: كتrol مثبت (ژن کلروپلاستی *cp*) در محتويات معده موش نرتغذيه شده با سيبزميني تارريخته ۱۳: موش ماده تغذيه شده با سيبزميني تارريخته ۱۴: موش ماده تغذيه شده با سيبزميني تارريخته ۱۵: موش نرتغذيه شده با سيبزميني غيرتارريخته.

Line numbers: 1 and 16 (1Kb Ladder) 2: female rats were fed with diet GMP diet 3: control without DNA 4: GMP 5: diet with GMP 6: control diet without potato 7: NGMP 8: diet with NGMP 9: female rats fed with diet GMP 10 : Recombinant plasmid harboring *nos* gene 11: female rats fed with diet GMP 12: positive control (chloroplast *cp* gene) contents of the stomach male rats fed GMP diet 13: female rats fed GMP diet 14: female rats fed GMP diet 15: male rats fed diet NGMP.

در نمونه مربوط به بافت‌ها و خون و گروه شاهد هیچ قطعه‌ای مشاهده نشد (شکل ۶ و جدول ۴).

تشخيص پيشير *nos* در محتويات معده: همانطور که در شکل ۶ نشان داده شده است، باندهای ۳۰۰ جفت‌بازی حاصل از تکثیر مربوط به پيشير *nos* در كتrol مثبت (دی.ان.ای پلاسمید) و خوراک سيبزميني تارريخته مشاهده می‌شود. همچنان قطعه پيشير *nos* در محتويات معده موش ماده تغذيه شده با سيبزميني تارريخته (شکل ۶؛ شماره ۱۱) و محتويات معده موش ماده تغذيه شده با سيبزميني تارريخته (شکل ۶؛ شماره ۱۶) نيز تشخيص داده شد. كتrol منفي و نمونه‌های محتويات معده ساير موش‌های تغذيه شده با سيبزميني تارريخته و غيرتارريخته و گروه شاهد هیچ‌گونه باندی نشان نداد که بيانگر عاري بودن محتويات معده نمونه‌های ذكر شده از قطعه ژن *nptII* است. حضور ژن کلروپلاستی *cp* با قطعه تکثيري به اندازه ۱۱۱ جفت باز تنهایا در محتويات معده برخی از موش‌های تغذيه شده با سيبزميني مشاهده شد.

با توجه به جدول ۴ نتائج واکنش زنجيره‌اي پليمراز پيشير *nos* نتائج واکنش

باز تنهایا در محتويات سکوم برخی از موش‌های تغذيه شده با سيبزميني تارريخته و غيرتارريخته مشاهده شد.

تشخيص قطعه ژن *nptII* در محتويات معده: همانطور که در شکل ۵ نشان داده شده است، باندهای ۴۰۰ جفت‌بازی حاصل از تکثیر ژن *nptII* در كتrol مثبت (دی.ان.ای پلاسمید) و خوراک سيبزميني تارريخته مشاهده می‌شود. همچنان قطعه ژن *nptII* در محتويات معده موش ماده تغذيه شده با سيبزميني تارريخته (شکل ۵؛ شماره ۲) تشخيص داده شد. كتrol منفي و نمونه‌های محتويات معده ساير موش‌های تغذيه شده با سيبزميني تارريخته و غيرتارريخته و گروه شاهد هیچ‌گونه باندی نشان نداد که بيانگر عاري بودن محتويات معده نمونه‌های ذكر شده از قطعه ژن *nptII* است. حضور ژن کلروپلاستی *cp* با قطعه تکثيري به اندازه ۱۱۱ جفت باز تنهایا در محتويات معده برخی از موش‌های تغذيه شده با سيبزميني مشاهده شد.

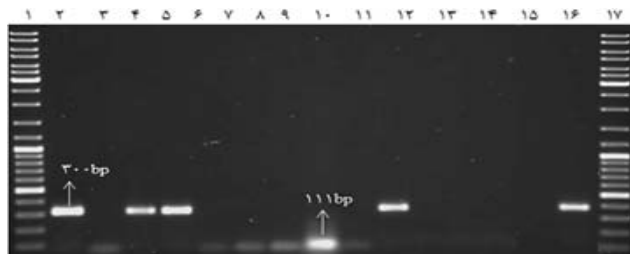
نتائج واکنش زنجيره‌اي پليمراز پيشير *nos* نتائج واکنش زنجيره‌اي پليمراز برای پيشير *nos* در تعدادی از نمونه‌های دستگاه گوارش موش‌های تغذيه شده با سيبزميني تارريخته مثبت بود و

نتایج بدست آمده از آزمایش تغذیه جوندگان نشان می‌دهد که دی.ان.ای خارجی در دستگاه گوارش به طور کامل تخریب نشده است. نتایج به دست آمده از پژوهش‌های انجام شده در جوندگان، ماهی، مرغ، خوک، گوسفند، گاو، حیوانات وحشی و انسان نشان می‌دهد که دی.ان.ای مشتق شده از خوراک همچنان به میزان متفاوت و به شکل تکه تکه شده در دستگاه گوارش یافت شده و دستگاه گوارش مانع مطلق در برابر جذب مولکول‌های خارجی پس از خوردن غذا نیست (EFSA, 2009).

نتایج پژوهش حاضر نشان داد که در موش‌های جوان انتقال دی.ان.ای به خون صورت نگرفته اما در بخش‌های مختلف محتويات دستگاه گوارش قطعه تراژن یافت شد. بررسی‌های انجام شده در حیوانات مشخص کرد که بیش از ۹۵ درصد دی.ان.ای بعد از عبور از دوازده، هیدرولیز شده و بازهای اسیدهای نوکلئیک آن جذب انتروسیت‌ها می‌شوند (Duggan *et al.*, 2000). پژوهش‌های گسترده‌ای در دستگاه گوارش تمام موجودات زنده که در معرض ماکرومولکول‌های موجود در محیط

و ژن *nptII* در تعدادی از نمونه‌های دستگاه گوارش گروه‌های تغذیه شده با سیب‌زمینی تاریخته مثبت بود و در نمونه مربوط به بافت‌ها و خون و گروه غیرتاریخته هیچ قطعه‌ای مشاهده نشد.

در پژوهش حاضر سرنوشت دی.ان.ای تراژن در دستگاه گوارش موش صحرایی بررسی شد و نتایج بدست آمده منطبق و تاییدکننده یافته‌های قبلی در مورد وجود دی.ان.ای خارجی در دستگاه گوارش جوندگان است. نتایج پژوهش حاضر انتقال تراژن از سیب‌زمینی تاریخته به سلول‌های موش، خون و بافت‌ها را نشان نداد. در مقابل قطعه تراژن در بخش‌های مختلف محتويات دستگاه گوارش موش‌های تغذیه شده با سیب‌زمینی تاریخته و همچنین توالی غیرتاریخته داخلی در هر دو گروه از موش‌های غیرتاریخته و تغذیه شده با مواد تاریخته تشخیص داده شد. این نتایج با بسیاری از نتایج و پژوهش‌های پیشین تطابق دارد (Hoelweg and Doerfler, 2001., Vijay *et al.*, 2008) (Chowdhury *et al.*, 2003).



شکل ۶- تشخیص قطعه ژن کلروپلاستی *cp* و پیشبر *nos* در محتويات معده.

Figure 6- Detection of potato-specific primer CP and promoter *nos* in content of the Stomach.

شماره‌گذاری‌ها به این ترتیب هستند: شماره ۱ و ۱۷: نشانگر وزن مولکولی (1Kb Ladder) ۲: پلاسمید نوترکیب حاوی پیشبر *nos* ۳: کنترل منفی (آب) ۴: سیب‌زمینی تاریخته ۵: خوراک سیب‌زمینی تاریخته ۶: سیب‌زمینی غیرتاریخته ۷: سیب‌زمینی شاهد ۸: خوراک سیب‌زمینی غیرتاریخته ۹: کنترل مثبت (ژن کلروپلاستی *cp*) در محتويات معده موش ماده تغذیه شده با سیب‌زمینی تاریخته ۱۰: موش نرتغذیه شده با سیب‌زمینی غیرتاریخته ۱۱: موش ماده تغذیه شده با سیب‌زمینی تاریخته ۱۲: موش نر تغذیه شده با سیب‌زمینی تاریخته ۱۳: موش ماده تغذیه شده با سیب‌زمینی غیرتاریخته ۱۴: موش ماده تغذیه شده با سیب‌زمینی غیرتاریخته ۱۵: موش ماده تغذیه شده با سیب‌زمینی غیرتاریخته ۱۶: موش ماده تغذیه شده با سیب‌زمینی تاریخته.

Line Numbers: 1 and 19 (1Kb Ladder) 2: Recombinant plasmid agent *nos* promoter 3: control without DNA 4: GMP 5: diet with GMP 6: control diet without potato 7: NGMP 8: diet with NGMP 9: positive control (chloroplast *cp* gene) contents of the stomach female rats fed with GMP diet 10 : male rats fed with NGMP diet 11: female rats fed with GMP diet 12: male rats fed with GMP diet 13: female rats fed with NGMP diet 14 female rats fed with NGMP diet 15: female rats fed with NGMP diet 16: female rats fed with GMP diet

جدول ۴- نتایج واکنش زنجيره‌اي پلیمراز برای تشخيص قطعات دی.ان.ای نوترکیب در دستگاه گوارش و بافت‌های موش‌های صحرایی.

Table 4- Detection of recombinant DNA fragments in gastrointestinal and tissuesrats by PCR

	T- M	T-F	N-M	N-F
– طحال spleen	-	-	-	-
– مغز brain	-	-	-	-
– دوازدهه duodenum	-	-	-	-
– ائليوم ileum	-	-	-	-
– ژوژئوم jejunum	-	-	-	-
– قلب heart	-	-	-	-
– محتويات سکوم content cecum	<i>nptII</i>	-	-	-
– معده stomach	-	-	-	-
– کبد liver	-	-	-	-
– محتويات معده content stomach	-	<i>nptII-Nos</i>	-	-
– محتويات روده content rectum	-	<i>nptII-Nos</i>	-	-
ریه	-	-	-	-
– خون blood	-	-	-	-
– کلیه kidney	-	-	-	-

N: موش تغذیه شده با سیب‌زمینی معمولی، T: موش تغذیه شده با سیب‌زمینی تاریخته، M: نر، F: ماده.

N: rats fed with diet NGMP T: rats fed with diet GMP M: male F: female

غذا از چند صد جفت باز تا حدود ۱۷۰۰ جفت باز (چندین استثناء) متغير بود ( Schubbert *et al.*, 1994; 1997; 1998; Hohlweg and Doerfler, 2001; Palka *et al.*, 2003 حاضر هیچ قطعه تراژن در نمونه‌های مدفع گروه‌های آزمایشی تشخيص داده نشد. بنظر می‌رسد دی.ان.ای در طی عبور از سیستم هاضمه موش تخریب شده و قابلیت تشخيص آن کاهش می‌یابد و به انتخاب حد تشخيص قطعه هدف وابسته است. لازم به ذکر است چون مقدار دی.ان.ای نوترکیب مصرف شده روزانه در مقایسه به میزان کل دی.ان.ای مصرفی بسیار کم است، شناسایی دی.ان.ای خارجی وارد شده به موجود از طریق مواد غذایی، بدلیل توزیع نابرابر دی.ان.ای به روشهای بسیار حساس نیاز دارد. یکی از دلایل دیگر تغییر در میزان تشخيص دی.ان.ای در پژوهش حاضر نوع نمونه استفاده شده به عنوان خوراک و روشن آزمایشی استفاده شده است. نتایج پژوهش‌ها نشان می‌دهد که رژیم غذایی

خارجی هستند صورت گرفته است. بدلیل اینکه پوشش اپیتلیال دستگاه گوارش به طور مداوم در معرض دی.ان.ای خارجی است، این بحث یا سوال پیش می‌آید که تا چه حد این دی.ان.ای در دستگاه گوارش می‌تواند در سلول‌ها گنجانیده شده و یا طی عبور از دستگاه گوارش وارد گردش خون شود ( Rahnama *et al.*, 2011). یکی از دلایل تغییر در تشخيص دی.ان.ای پردازش غذا و تخریب دی.ان.ای است. یک گروه پژوهشی سرنوشت دی.ان.ای مصرف شده از منابع مختلف خوراک توسط جوندگان را بررسی کردن و نشان دادند که دی.ان.ای مشتق شده از خوراک به طور کامل در دستگاه روده موش تخریب نمی‌شود. آنها نشان دادند که ۱ تا ۲ درصد دی.ان.ای باکتریوفاژ که به صورت خوراکی مصرف شده بود در مجموعه دستگاه گوارش سالم مانده و در مدفع تشخيص داده شد. اندازه قطعات دی.ان.ای تشخيصی در نمونه‌های مدفع در بازده زمانی ۱ الی ۷ ساعت پس از خوردن

دی.ان.ای خوراک مصرف شده به شکل پراکنده در آمده و قابلیت تشخیص آن کاهش یافته، و به انتخاب اندازه قطعه قابل تکثیر وابسته است. همچنین پایداری دی.ان.ای در سیستم هاضمه به مقدار ماده تاریخته مصرف شده، مقدار دی.ان.ای نوترکیب موجود در گیاه تاریخته، فرآوری و مراحل تهیه غذا (که مقدار دی.ان.ای و بنابراین دی.ان.ای نوترکیب را قبل از مصرف کاهش می‌دهد)، مقدار دی.ان.ای آزاد شده از گیاه که در دسترس فلور میکروبی داخلی قرار می‌گیرد و در نهایت به مقدار دی.ان.ای ای که در طی عبور از دستگاه هاضمه پایدار باقی می‌ماند بستگی دارد. به طور کلی، تشخیص دی.ان.ای خورده شده توسط تعدادی از عوامل، از جمله تعداد نسخه ژن، پردازش غذا، پایداری دی.ان.ای در دستگاه گوارش، میزان قطعه شدن دی.ان.ای، روش تخریب دی.ان.ای، نوع نمونه، حضور بازدارنده در واکنش زنجیرهای پلیمراز و حد تشخیص قطعه هدف تحت تاثیر قرار می‌گیرد. تشخیص قطعه دی.ان.ای با تعداد مولکول‌های با تعداد نسخه بالا (به عنوان مثال دی.ان.ای کلروپلاست) در مقایسه با قطعه دی.ان.ای ژن با نسخه کم (به عنوان مثال دی.ان.ای نوترکیب) بیشتر است. این امر منجر به این فرض می‌شود که قطعه دی.ان.ای خارجی در برخی از حیوانات اگر مقدار یا تعداد نسخه اولیه در مواد به اندازه کافی بالا باشد (مانند دی.ان.ای کلروپلاست) قابل شناسایی است. پردازش غذا و تخریب دی.ان.ای در محل جذب نیز، بر میزان تشخیص قطعه دی.ان.ای خارجی اثرگذار است. چون مقدار دی.ان.ای نوترکیب مصرف شده روزانه در مقایسه به میزان کل دی.ان.ای مصرفی بسیار کم است، شناسایی دی.ان.ای خارجی وارد شده به موجود از طریق مواد غذایی، بدلیل توزیع نایابر دی.ان.ای به روش‌های بسیار حساس نیازدارد. همه دی.ان.ای، از جمله دی.ان.ای موجود در موجودات تاریخته، از همان چهار نوکلئوتید یکسان تشکیل شده است، به این معنی که استفاده از روش‌های نوترکیب در تولید غذا تغییرات عمده‌ای را در خصوصیات شیمیایی دی.ان.ای ایجاد نمی‌کند. نظر به اینکه، دی.ان.ای تراژن در ساختار متفاوت از دی.ان.ای معمول موجود در سلول‌های حیوان و یا گیاه نیست، تنها تفاوت در ترتیب توالی‌های رونویسی است، پس هیچ دلیلی برای شک کردن به اساس عملکرد دی.ان.ای تراژن با دی.ان.ای

با محتوای فیر بالا، زمان انتقال مواد غذایی در دستگاه گوارش را کم کرده و دی.ان.ای خارجی به سرعت هضم می‌شود. افزایش میزان چربی یا سلولز در رژیم غذایی تغییری در هضم غذا نشان نمی‌دهد، اما پر بودن معده در تخریب دی.ان.ای اثر گذار بوده است. در حیواناتی که قبل از دریافت دی.ان.ای پلاسمید گرسنه نگه داشته شده بودند، دی.ان.ای با سرعت بیشتری در حال تخریب بود (Palka-Santini *et al.*, 2003). در پژوهش‌های انجام شده توسط Schubbert و همکاران (۱۹۹۸) بخش کوچکی از دی.ان.ای خورده شده (کمتر از ۰/۱ درصد) را در جریان خون موش بین ۲ تا ۸ ساعت پس از خوردن غذا و یا در طحال و سلول‌های کبد تا ۲۴ ساعت بعد از تغذیه مشاهده شد. همچنین آنها توانستند پس از خوراندن باکتریوفاژ یا دی.ان.ای پلاسمید به موش باردار، دی.ان.ای خارجی را در جنین و نوزاد حیوانات تشخیص دهنند. در یک پژوهش دیگر توسط Hoelweg and Doerfler در سال (۲۰۰۱) روزانه پس از تغذیه میزان مشخصی از دی.ان.ا.پلاسمید در موش‌های باردار به مدت ۸ نسل هیچ علامتی از انتقال دی.ان.ای مصرف شده تشخیص داده نشد. همان گروه با انجام یک آزمایش دیگر و تغذیه موش با سویا، قطعه خاص دی.ان.ای گیاهی را در نمونه‌های کبد و طحال تشخیص دادند. همچنین پژوهش‌ها تفاوت در پایداری دی.ان.ای خورده شده بصورت دهانی و یا تزریق داخل وریدی و عضلانی را نشان می‌دهد. پژوهش‌های انجام شده نشان می‌دهد زمانی که دی.ان.ای خارجی بصورت داخل وریدی یا عضلانی تزریق شود، قطعاتی از دی.ان.ای خارجی در بافت‌ها و اندام‌های مختلف کبد، کلیه، طحال و عضلات تشخیص داده می‌شود (Nielsen *et al.*, 2007; Tonheim *et al.*, 2007). یافته‌های این پژوهش‌ها، نشان می‌دهد که سلول‌های اپیتلیال دستگاه گوارش به طور معمول در معرض قطعات دی.ان.ای بوده و ممکن است دی.ان.ای به سلول‌های Peyer<sup>1</sup> در M (یکی از گره‌های سلول‌های لنفاوی) متصل شده و از دیواره روده به داخل رگ‌های جریان خون انتقال و موجب ورود مولکول دی.ان.ای به سلول و بافت‌های مختلف میزبان شود. نتایج این پژوهش و بررسی‌های انجام شده بر روی دی.ان.ای در دستگاه گوارش نشان دهنده این است که بیشتر

گياهي طبيعى برای مصرف وجود ندارد.

### منابع

- Chowdhury EH, Kuribara H, Hino A, Sultana P, Mikami O, Shimada N, Guruge KS, Saito M and Nakajima Y (2003) Detection of corn intrinsic and recombinant DNA fragments and Cry1Ab protein in the gastrointestinal contents of pigs fed genetically modified corn Bt11. *Journal of Animal Science* 81:2546–2551.
- De Vries J and Wackernagel W (1998) Detection of *nptII* kanamycin resistance genes in genomes of transgenic plants by marker rescue transformation. *Molecular and General Genetics*, 257, 606-613.
- Duggan PS, Chambers PA, Heritage J and Forbes JM (2000) Survival of free DNA encoding antibiotic resistance from transgenic maize and the transformation activity of DNA in ovine saliva , ovine rumen fluid and silage effluent. *FEMS Microbiology Letters*, 191, 71-77.
- EFSA (2009) Statement of EFSA on the consolidated presentation of opinions on the use of 5. antibiotic resistance genes as marker genes in genetically modified plants. *The EFSA Journal* 6. 1108, 1034-1035.
- Folmer JD, Grant RJ, Milton C T and Beck JF (2000) Effect of Bt corn silage on shortterm lactational performance and ruminal fermentation in dairy cows. *J. Dairy Sci.* 83 (5):1182 Abstract 272.
- Ghasimi Hagh Z, Rahnama H, Panahandeh J, Baghban Kohneh Rouz B, Arab Jafari KM and Mahna N (2009) Green-tissue-specific, C(4)-PEPC-promoter-driven expression of Cry1Ab makes transgenic potato plants resistant to tuber moth (*Phthorimaea operculella*, Zeller) *Plant Cell Rep.* 2010 Jan;29(1):111.
- Hohlweg U and Doerfler W (2001) On the fate of plant or other foreign genes upon the uptake in food or after intramuscular injection in mice. *Mol. Genet. Genomics* 265, 225–233.
- Kawabata K, Takakura Y, Hashida M (1995) The fate of plasmid DNA after intravenous injection in mice: involvement of scavenger receptors in its hepatic uptake. *Pharm Res* 12:825-830.
- Miki B and S McHugh (2004) Selection marker genes in transgenic plants: applications, Iternatives and biosafety. *J. Biotechnol.* 170: 193-232.
- Nielsen K M, van Elsas J D and Smalla K (2000) Transformation of *Acinetobacter* sp strain BD413 (pFG4 Delta *nptII*) with transgenic plant DNA in soil microcosms and effects of anamycin on selection of transformants. *Applied and Environmental Microbiology* 66(3): 1237-1242.
- Nielsen KM and Townsend JP (2004) Monitoring and modeling horizontal gene transfer. *Nat Biotechnol.* 22: 1110-1104.
- OECD (1998) OECD Guidelines for Testing of Chemicals No. 408, Repeated dose 90-day oral toxicity study in rodents. Paris, France.
- Palka-Santini M, Schwarz-Herzke B, Hösel M, Renz D, Auerochs S, Brondke H and Doerfler W(2003) The gastrointestinal tract as the portal of entry for foreign macromolecules: fate of DNA and proteins. *Mol Genet Genomics* 270: 210-215.
- Rahnama H, Maly Amir R, Salehi Jozani G, (2011) Plant genetic engineering and Selectable markers. Agricultural Biotechnology Research Institute of Iran's Press. (In Farsi with English abstract)
- Rahnama H (2004) biosafety selection markers food safety. The first national conference of – Karaj. (In Farsi with English abstract)
- Schubbert R, Hohlweg U, Renz D and Doerfler W (1998) On the fate of orally ingested foreign DNA in mice: chromosomal association and placental transmission to the fetus. *Mol. Gen. Genet* 259:569-576
- Tonheim TC, Leirvik J, Lovoll M, Myhr AI, Bogwald J and Dalmo RA (2007) Detection of supercoiled plasmid DNA and luciferase expression in Atlantic salmon (*Salmo salar* L.) 535
- days after injection. *Fish Shellfish Immunol* 23: 867-876.
- Van den Eede G, Aarts H, Buhk H-J, Corthier G, Flint HJ, Hammes W, Jacobsen B, Midtvedt T, van der Vossen J, von Wright A, Wackernagel W and Wilcks A (2004) 'The relevance of gene transfer to the safety of food and feed derived from genetically modified (GM) plants'. *Food and Chemical Toxicol* 42: 1127-1156.
- Vijay P, Steinek K, and meyer HHD (2008) Devolepment of sensitive enzyme immunoassay Cry1Ab toxin in bovin cows(MON810). *Anal. Chim. Acta* 607: 106-113.
- Ziemienowicz, A. 2001. Plant selectable markers and reporter genes. *Acta Physiol. Plant.* 23: 363-374.



## همدیفی توالی آنزیم‌های مسیر بیوستز اینولین در گیاهان

### Alignment of the Enzymes in Inulin Biosynthesis Pathway in Plants

هادی شوریده<sup>۱</sup>، سیدعلی پیغمبری<sup>۲\*</sup>، منصور امیدی<sup>۳</sup>، محمدرضا نقوی<sup>۳</sup>، اسعد معروفی<sup>۴</sup> و  
مرضیه حسینی‌نژاد<sup>۵</sup>

Hadi Shoorideh<sup>1</sup>, Seyed Ali Peyghambari<sup>2\*</sup>, Mansour Omidi<sup>3</sup>, Mohammad Reza Nghavi<sup>3</sup>, Asad Maroufi<sup>4</sup> and Marzieh Hosseini Nejad<sup>5</sup>

۱- دانشجوی دکتری اصلاح نباتات- پردیس کشاورزی و منابع طبیعی دانشگاه تهران

۲ و ۳- استاد پردیس کشاورزی و منابع طبیعی دانشگاه تهران

۴ و ۵- به ترتیب استادیار دانشگاه کردستان و پژوهشکده علوم و صنایع غذایی مشهد

1, 2, 3- PhD student of Plant Breeding, Associate Professor and Professor of Agricultural and Natural Resources College of Tehran University

4- Associate Professor of Agricultural College of Kordestan University

5- Assistant Professor of Institute of Food Science and Technology of Mashhad.

\* نویسنده مسئول مکاتبات، پست الکترونیکی: alihey@ut.ac.ir

(تاریخ دریافت: ۹۲/۷/۲۲ - تاریخ پذیرش: ۹۲/۷/۲۱)

چکیده

امروزه کاربرد اینولین و مشتقات آن به دلیل خصوصیات طبیعی و عملگرای آن در بسیاری از فرآورده‌های صنایع غذایی و دارویی رو به گسترش است. ترکیب پری‌بیوتیک اینولین فیزیولوژی روده بزرگ را بهبود بخشیده و فعالیت اکوسیستم میکروبی آن را افزایش می‌دهد. همچنین باعث افزایش جذب کلسیم و آهن شده و بعنوان یک ضدسرطان و ضددیابت هم مطرح است. کاسنی یکی از منابع اصلی استخراج اینولین است که سه ژن *I-SST*, *I-FFT* و *I-FEH* است. گروه‌بندی گیاهان با استفاده از توالی‌های اسیدآمینه این سه آنزیم بصورت توان مشخص کرد که به کمک این توالی‌ها می‌توان شناسایی گیاهان را در دو گروه عده‌های تک لپه و دو لپه و با تفکیک در سطح گونه انجام داد. توالی اسیدآمینه این سه ژن شbahت زیادی با اینورتازها و بتا فروکتوزیدازهای میکروبی دارد که همه اینها متعلق به گروه بزرگ خانواده ۳۲ هیدرولیزکننده‌های گلیکوزیل (GH32) هستند و این فرضیه را باعث می‌شود که ژن‌های فوق دارای منشا مشترکی از ژن اولیه بتا فروکتوزیداز میکرووارگانیسم‌ها هستند. با انجام همدیفی‌های چندگانه و بررسی نواحی حفاظت شده این سه آنزیم دخیل در بیوستز اینولین در گیاهان، مشخص شد که این آنزیم‌ها با وجود تفاوت در طول شbahت زیادی بهویژه در ناحیه حفاظت شده بتافروکتوزیداز دارند. از طرفی با توجه به همدیفی توالی‌های توافقی این سه آنزیم به نظر می‌رسد علت اصلی تفاوت در عملکرد آنها به جهش‌هایی در منطقه حفاظت شده بتافروکتوزیداز مربوط است. در مجموع با شناسایی ژن‌های مسیر بیوستز اینولین از منابع گیاهی تولید کننده فروکتان یا سایر منابع مثل باکتری‌ها و قارچ‌ها می‌توان اقدام به ایجاد گیاهان تواریخته تولید کننده اینولین با کمیت و کیفیت مطلوب کرد.

واژه‌های کلیدی

بیوانفورماتیک

فروکتان

توالی اسیدآمینه

دومین

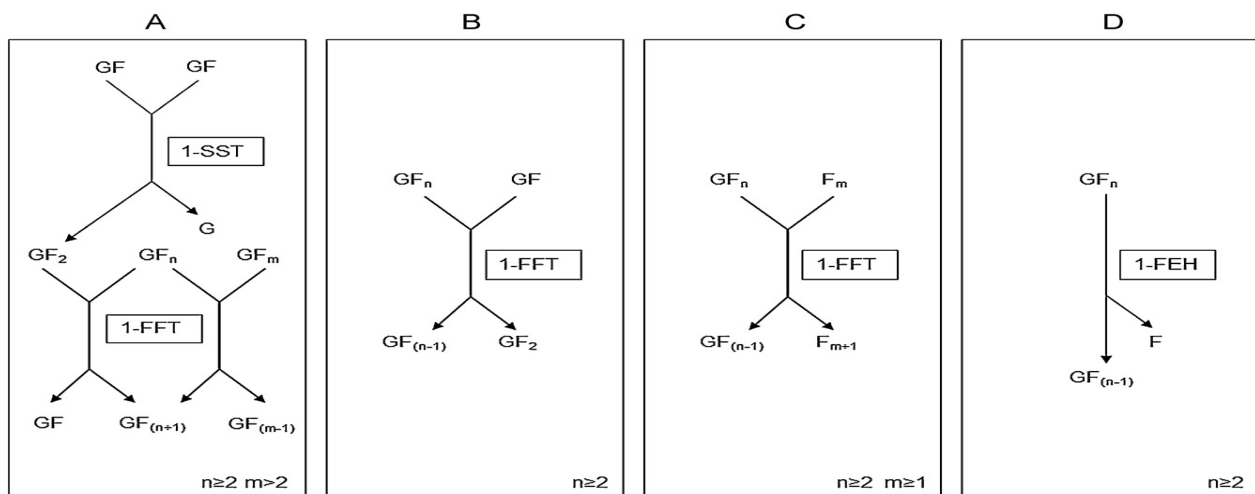
گروه‌بندی

## مقدمه

داشته‌اند (van Arkel et al, 2013).

ستز اینولین نیازمند دو آنژیم متفاوت است که در ابتدا یک تری‌ساکاراید ۱-کتوز و یک گلوکر آزاد از دو ملکول ساکاروز توسط آنژیم ساکاروز: ساکاروز ۱-فروکتوترانسفراز (I-SST, EC 1-FFT, EC 2.4.1.99) بوجود می‌آید. سپس آنژیم فروکتان: فروکتان ۱-فروکتوسیل ترانسفراز (I-FFT, EC 2.4.1.100) در یک واکنش برگشت‌پذیر طویل شدن زنجیره را بوسیله انتقال واحدهای فروکتوسیل (رادیکال فروکتوز) به ۱-کتوز (یا یک اینولین بزرگتر) از یک ملکول اینولین دیگر فرآهنم می‌آورد. فروکتان نوع اینولین خود به دو دسته تقسیم می‌شود نوع اینولین منظم یا GFn که دارای گلوکر انتهایی به همراه n فروکتوز است و نوع اینولونوز یا Fn که فاقد گلوکر انتهایی است. مشخص شده است که اینولونوز در کاسنی یک محصول حاصل از تخریب نیست بلکه این ملکول با بکارگیری فروکتوزهای آزاد توسط I-FFT یا بکارگیری فروکتانهای نوع Fn به عنوان سوبسترای پذیرنده، ایجاد می‌شود. بدین معنی که I-FFT می‌تواند یا فروکتوز آزاد و یا فروکتان نوع Fn را در کنار فروکتانهای نوع GFn قرار دهد (شکل ۱؛ Van den Ende et al, 1996). تنوع در ساختار فروکتان و درجه پلیمریزاسیون در گونه‌های مختلف گیاهی دیده می‌شود که بیشتر به خواص متفاوت این فروکتوسیل ترانسفرازها نسبت داده می‌شود (Hellwege, 2000). تخریب فروکتان توسط هیدرولیزکننده‌های فروکتان (FH) یا فروکтанازها کاتالیز می‌شود. دو آنژیم I-FH (اینولیناز) و 6-FH (لواناز) می‌توانند توسط نوع پیوندی که مورد تجزیه قرار می‌دهند، شناسایی شوند. هیدرولیز کننده‌ها در گیاهان فقط هیدرولیز نوع بیرونی فروکتان (FEH) را انجام می‌دهند که واحدهای فروکتوز را از انتهای زنجیره آزاد می‌کنند در حالی که در باکتری‌ها و قارچ‌ها هم هیدرولیز درونی (endo) و هم بیرونی (exo) انجام می‌شود. سه نوع از هیدرولیز کننده‌های بیرونی فروکتان در کاسنی شناسایی شده است Van den Ende et al, (EC 3.2.1.80: IIb و Ia, 1-FEH) (Cairns, 2003). شباهت زیادی در سطوح ملکولی و بیوشیمیایی بین آنژیم‌های بیوستز کننده فروکتان، آنژیم‌های تخریب کننده فروکتان و اینورتازها (آنژیمی که هیدرولیز ساکاروز را کاتالیز کرده و پیوند C-O فروکتوز را برش می‌دهد که نمونه بارز آن در

امروزه نقش فروکتان‌ها به‌ویژه اینولین به لحاظ حفظ فلور میکروبی مفید سیستم گوارش و کنترل پاتوژن‌ها شناخته شده است و به همین خاطر کاربردهای وسیعی در صنایع غذایی و دارویی پیدا کرده‌اند (Roberfroid, 2005 & 2007). فروکتان‌های گیاهی بین ۱۰ تا ۲۰۰ واحد فروکتوسیل بسته به تنوع تاکسونومیکی گونه‌های گیاهی تولید کننده آنها دارد (van Arkel et al, 2013). فروکتان‌ها علاوه بر گیاهان دولپه‌ای متعلق به خانواده آستراسه (Asteraceae) در خانواده‌های گیاهی چون پوآسه (Poaceae) و لیلیاسه (Liliaceae) نیز وجود دارند، ولی منبع اصلی استخراج آنها همان خانواده آستراسه است. پنج گروه عمده از فروکتان‌ها در طبیعت وجود دارند که شامل اینولین، لوان، گرامینان، اینولین نئوسری و لوان نئو سری هستند (Ritsema and Smekens, 2003). پیوند بین دو فروکتوز در لوان از نوع پیوند فروکتوزیل (2→6) است، ولی در اینولین که بیشتر در گیاهان خانواده آستراسه یافت می‌شود، پیوند فروکتوزیل (1→2) بوده و گرامینان که بیشتر در خانواده پوآسه موجود است هر دو نوع پیوند را داراست. لوان نئوسری و اینولین نئوسری که بیشتر در پوآسه و لیلیاسه موجودند، دارای ۲ زنجیره لوان یا اینولین هستند که به کربن‌های ۱ و ۶ گلوکز مربوط به ساکاروز اولیه متصل هستند (Narai-kanayama et al, 2007). اینولین به عنوان پلی‌ساکارید ذخیره‌ای در ریشه و غده گیاهانی چون کاسنی (Cichorium intybus)، سیب زمینی ترشی (Helianthus tuberosus) و قاصدک (Taraxacum officinale) ذخیره می‌شود (Cairns, 2003) و نقش محافظت از گیاه در مقابل کمبود آب و تحمل به سرما را به عهده دارد (Pilon-Smits et al, 1995). یکی از گیاهان اصلی منبع اینولین کاسنی است که تجمع اینولین را در ریشه انجام می‌دهد ولی در انتهای فصل رشد به دلیل وقوع سرما کیفیت اینولین (درجه پلیمریزاسیون اینولین: تعداد واحدهای فروکتوز متصل به زنجیره) افت کرده و به زیر ۲۵ می‌رسد که علت اصلی آن فعالیت زیاد آنژیم‌های I-FH و I-FEH است (شکل ۱؛ واکنش‌های B و D). مهندسان ژنتیک تلاش‌های زیادی برای حل این معضل هم از طریق خاموشی ژن FEH و هم معرفی ژن‌های I-FFT و I-SST به گیاهان غیرتولید کننده فروکتان



شکل ۱- واکنش‌های بیوستز فروکتان در کاسنی. A: پلیمریزاسیون فروکتان با *I-SST* و *I-FFT*, B: انتقال معکوس توسط *I-FFT* و *I-FEH* و C: تولید اینولونوز توسط *I-FFT* و D: هیدرولیز فروکتان توسط *I-FEH* (GF: ساکاروز، F: فروکتوز، G: گلوكوز، GF<sub>2</sub>: اینولین و GF<sub>n/m</sub>: اینولونوز). (Van Arkela et al, 2012)

Fig. 1. The reactions of fructan biosynthesis in chicory. Fructan polymerization by 1-SST and 1-FFT (A), back transfer by 1-FFT (B), inulo-n-ose production by 1-FFT (C), fructan exohydrolysis by 1-FEH (D) (GF = sucrose, F = fructose, G = glucose, GF<sub>2</sub> = 1-kestose, GF<sub>n/m</sub> = inulo-n-ose) (Van Arkela et al., 2012).

ماده با ارزش، بررسی روابط تکاملی بین گونه‌های گیاهی تولید کننده اینولین جهت دستورالعملی اثنتیک انجام شده است. بنابراین، در این پژوهش به کمک نرمافزارها و روش‌های بیوانفورماتیک، رابطه تکاملی به منظور بررسی میزان شباهت‌ها، شناسایی نواحی حفاظت شده، دومین‌ها و خانواده پروتئینی آنزیم‌های مسیر بیوستز اینولین با توجه به اهمیت روز افزون این ترکیب در صنایع غذایی و دارویی انجام شده است.

## مواد و روش‌ها

توالی ژنهای دخیل در بیوستز اینولین (*I-SST*، *I-FFT* و *I-FEH*) از بانک اطلاعاتی مرکز ملی اطلاعات بیوتکنولوژی (Sayers et al, 2011) (NCBI; <http://www.ncbi.nlm.nih.gov>) برای گونه‌های موجود جمع‌آوری شد. همچنین توالی اسید‌آمینه آنزیم‌های فوق الذکر از سایت مخزن پروتئین جهانی (UniProt) (Bairoch et al, 2005) برای گونه‌های قابل دسترس گیاهی (Tamura et al, 2011) هم ردیفی چندگانه برای توالی‌های اسید‌آمینه به روش کلاستال دابلیو (ClustalW) انجام شد و ترسیم درخت فیلوزنی

زنبور عسل باعث می‌شود تا از نکtar عسل بدست آید) وجود دارد. اینورتازها (بنا فروکتوزیدازها) سطح ساکاروز و *FEH* سطح فروکتان را متعادل نگه می‌دارند که هر دو دارای منشاء مشابه (به احتمال زیاد بنا فروکتوزیدازها میکروبی) هستند (Verhaest et al, 2005).

آنزیم *FFT* واحد فروکتوسیل را از یک فروکتان دهنده به انتهای یک گیرنده منتقل کرده که منجر به طویل شدن پذیرنده‌ها و تخریب دهنده‌ها می‌شود. ویژگی‌های *FFT* تعیین کننده نوع پیوند گلیکوزیدی و الگوی ساختاری فروکتان است. *FEH* در گیاهان منجر به تخریب فروکتان‌ها و آزادسازی فروکتسوز آزاد از انتهای زنجیره می‌شود. بنابراین تعادل بین *I-FEH* و *I-FFT* بر تغییرات طول فروکتان یا درجه پلیمریزاسیون (DP) آنها اثرگذار است (Narai-kanayama et al, 2007).

با استفاده از توالی اسید نوکلئیک کد کننده آنزیم‌های دارای نقش یکسان و یا توالی اسید‌آمینه آنها در موجودات مختلف، می‌توان روابط تکاملی بین آنها را ترسیم کرد و موجودات نزدیک به هم را از لحاظ تکاملی شناسایی کرد. بنابراین با توجه به تنوع موجود برای آنزیم‌های ذکر شده در مسیر بیوستز اینولین به عنوان یک

هم ردیفی به روش کلاستال دابلیو با نرم افزار مگا درخت فیلوزنی آنها تهیه شد (شکل ۲). در این شکل مشاهده می شود تک لپهای ها شامل خانواده های پوآسه و لیلیاسه و دولپهای ها شامل خانواده آستراسه در دو گروه اصلی قرار گرفته اند که این موضوع در خصوص توالی اسید آمینه هر سه آنزیم *I-FEH*, *I-FFT* و *I-SST* و *C. intybus* (شکل ۲) دو آنزیم *I-SST* و *I-FFT* در کاسنی صدق می کند (شکل ۲). سایت اینولین است، بیشترین شباهت را با آنزیم های *I-SST* و *I-FFT* در کاهو (*L. sativa*) نشان می دهد (شکل ۲). در بین سه نوع آنزیم *I-FEH* در کاسنی، دو آنزیم *I-FEH IIb* و *I-FEH IIa* شباهت بیشتری به یکدیگر نسبت به *I-FEH I* دارند. قابل ذکر است که توالی اسید آمینه *I-FEH I* کاهو در حال حاضر موجود نیست تا با سه نوع *I-FEH* کاسنی مورد مقایسه قرار گیرد. با توجه به اینکه از توالی های اسید آمینه برای ترسیم درخت فیلوزنی استفاده شده است بنابراین این شجره های فیلوزنی از اعتبار بیشتری نسبت به سایر روابط فیلوزنی ماحصل از توالی های اسید نوکلئیک کد کننده و غیر کد کننده برخوردارند (Calonje et al, 2008). بنابراین با استفاده از این توالی ها می توان گروه بندی را در سطح گونه انجام داد چرا که به خوبی بین گونه های مختلف جنس تریتیکوم تفکیک قائل شده است (شکل ۲). با استفاده از نمودار درختی (شکل ۲) مشاهده می شود دو آنزیم *I-FFT* و *I-SST* نسبت به یکدیگر شباهت بیشتری نسبت به *I-FEH* به ویژه در ناحیه بتافروکتوزیداز (شکل ۴) دارند. این موضوع با توجه به اینکه هر دو آنزیم می توانند بر روی ساکاروز واکنش انجام دهند، تایید می شود (شکل ۱). از طرف دیگر دو آنزیم *I-FEH* و *I-FFT* فعالیت مشترک برداشتن فروکتوسیل از انتهای زنجیره دارند با این تفاوت که *I-FEH* این عمل را می تواند بر روی ساکاروز نیز انجام داده و فروکتوسیل مربوطه را به انتهای زنجیره فروکتان و یا ساکاروز دیگر افزوده ولی *I-FEH* فقط بر روی فروکتان عمل کرده و منجر به آزاد شدن فروکتوز می شود. بنابراین می توان شباهت های موجود در توالی توافقی دو آنزیم *I-FEH* و *I-FFT* را به فعالیت مشترک آنها منتبه کرد و تفاوت های بین آنها را که با توالی توافقی *I-SST* مشترک است را به فعالیت خاص افزودن فروکتوز به انتهای ساکاروز منتبه کرد (شکل ۴). همچنین *I-FEH*

مربوط به این توالی ها به روش نیرجوبینگ<sup>۱</sup> با مدل پویسون و بوت سترپ<sup>۲</sup> ۱۰۰۰ جهت اطمینان از صحبت گروه بندی صورت گرفت. همچنین از توالی اینورتاژها به عنوان گروه بیرونی جهت ریشه دار کردن درخت فیلوزنی استفاده شد. جهت بررسی نواحی دومین این آنزیم ها از دو سایت بانک اطلاعاتی نواحی حفاظت شده<sup>۳</sup> (Marchler-Bauer et al, 2009) (CDD) و (<http://www.ncbi.nlm.nih.gov/Structure/cdd/cdd.shtml>) سایت بانک اطلاعات آنزیم های فعال کربوهیدرات ها<sup>۴</sup> ([dbCAN](http://csbl.bmb.uga.edu/dbCAN)) (Yin et al, 2012) استفاده شد. سایت اخیر مخصوص آنزیم های فعال بر روی کربوهیدرات ها است و از دو منع بانک اطلاعاتی CAZy و CAT مخصوص کربوهیدرات ها بهره می گیرد که این دو از اطلاعات CDD استفاده می کنند. بنابراین با توجه به اطلاعات موازی سایر سایت ها با سایت های استفاده شده، نتایج آنها در اینجا آورده نشده است. برای بدست آوردن توالی توافقی این سه آنزیم و هم ردیف کردن آنها برای مشخص کردن مناطق حفاظت شده از نرم افزار DNAStar استفاده شد.

## نتایج و بحث

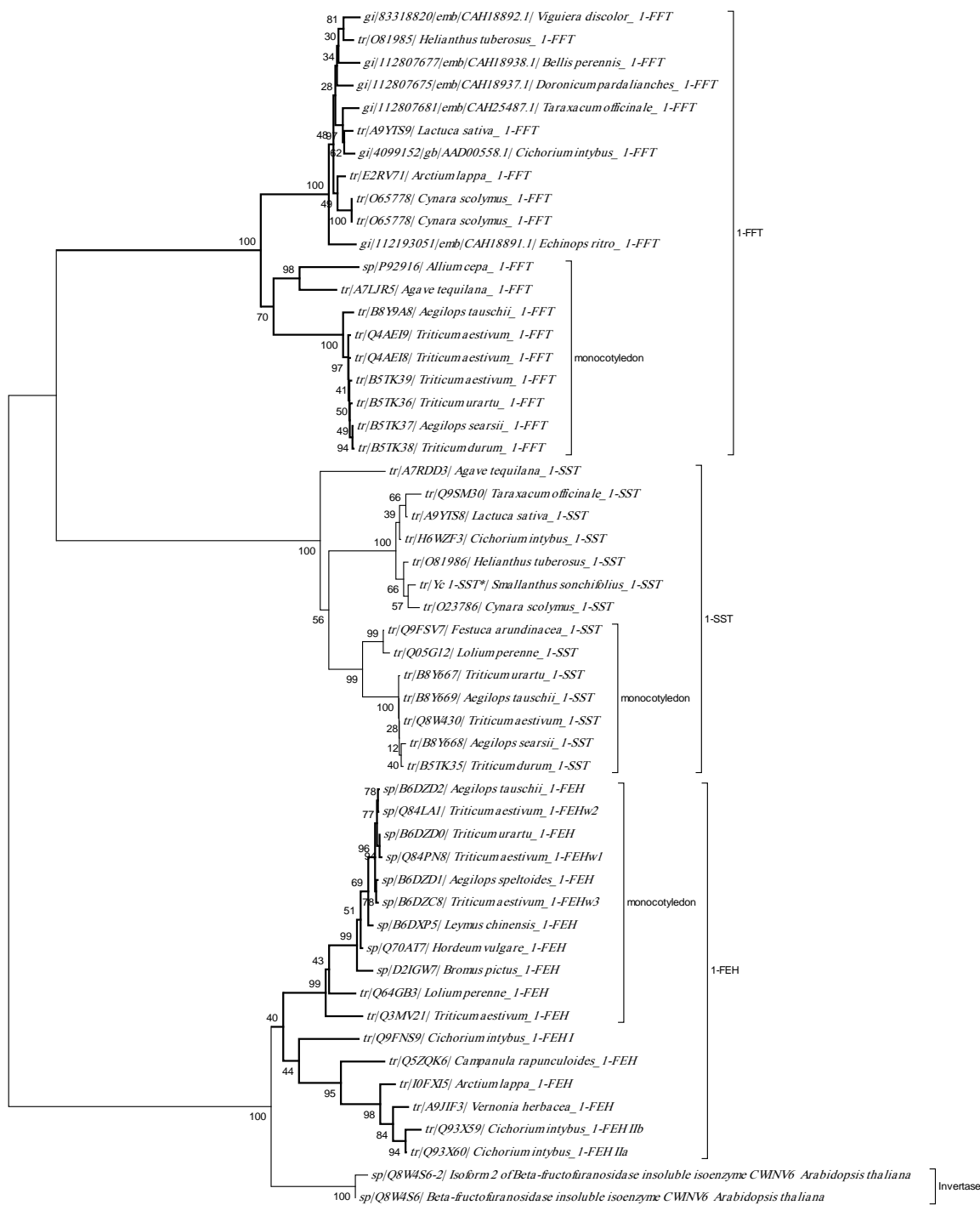
قسمت اعظم اطلاعات توالی اسید نوکلئوپیک آنزیم های مورد بررسی در بانک های اطلاعاتی برای گونه های گیاهی به صورت ناقص و یا فقط شامل توالی mRNA بود، بنابراین تجزیه و تحلیل آنها با نرم افزارهای بیوانفورماتیک صورت نگرفت. در نتیجه برای بررسی روابط خویشاوندی از توالی های اسید آمینه استفاده شد. توالی های اسید آمینه آنزیم *I-SST* بیشتر از نوع TrEMBL بودند. بدین معنی که ترجمه mRNA کد کننده این آنزیم هستند. در خصوص *I-FFT* یک مورد از توالی های اسید آمینه به طور مستقیم از روی توالی پروتئین آنزیم بدست آمده بود و در مورد *I-FEH* بیشتر توالی های گروه های تک لپهای به طور مستقیم از روی توالی پروتئین آنزیم بدست آمده بودند (شکل ۲). پس از انجام

1- Neighbor-joining

2- Bootstrap

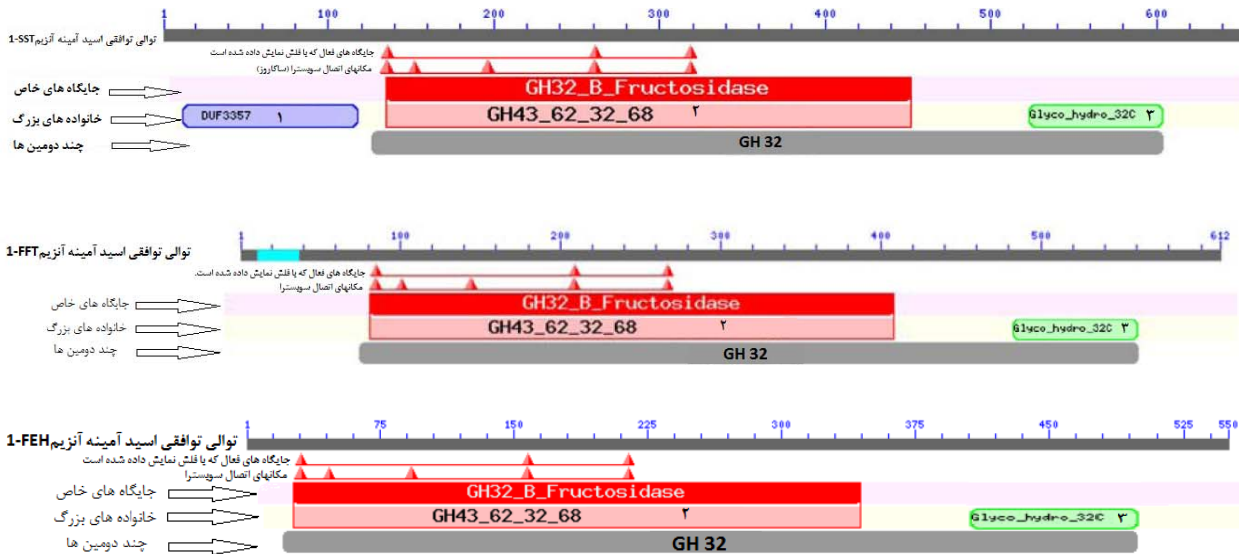
3- Conserved Domains Database

4- Data Base for automated Carbohydrate-active enzyme Annotation



شکل ۲- درخت فیلوژنی آنزیم‌های *I-FEH*, *I-FFT*, *I-SST* و *I-FEH* در بین گونه‌های مختلف گیاهی به روش نیبرجوینینگ (شماره دستیابی در سایت یونی پرات به همراه اسم گونه ذکر شده است. *tr*: توالی اسیدآمینه در سایت EMBL از طریق ترجمه توالی mRNA بدست آمده است و *sp*: توالی اسیدآمینه به طور مستقیم از روی توالی پروتئینی آنزیم بدست آمده است. \*: توالی اسیدآمینه از منع پن و همکاران (Pan et al., 2009) اخذ شده است. *gi*: کد دستیابی توالی اسیدآمینه در سایت NCBI, *emb*: کد دستیابی توالی اسیدآمینه در سایت EMBL و *gb*: کد دستیابی توالی اسیدآمینه در NCBI.

Figure 2- Phylogenetic tree of 1-SST enzyme for different plant species using neighbor-joining method (Entry at the Uniprot site noted along with species name. *tr*: Amino acid sequence at EMBL site obtained through translation of mRNA and *sp*: Amino acid sequence obtained directly from enzyme \*: Amino acid sequence for this species was gotten from Pan et al., 2009., *gi*: Entry of gene at NCBI, *emb*: Entry of Amino acid sequence at EMBL site and *gb*: Entry of Amino acid sequence at NCBI).



شکل ۳- توالی اسید آمینه سه آنزیم *I-SST*, *I-FFT* و *I-FEH* به همراه نمایش زیرگروه‌های خانواده ۳۲ هیدرولیزکننده‌های گلیکوزیدی (GH32) حاوی موتیف‌های اسیدآمینه‌ای محافظت شده (جایگاه‌های خاص) که منجر به ساختار سه بعدی مشابه در آنها می‌شود (منبع: بانک اطلاعاتی نواحی حفاظت شده: CDD).

Figure 3- Amino acid sequences of three enzymes (1-SST, 1-FFT and 1-FEH) along with demonstration of Glycosyl hydrolase family (GH32) subgroups and conserved amino acid motifs (specific sites) which led to common structure of these enzymes. (Source: Conserved Domain Database).

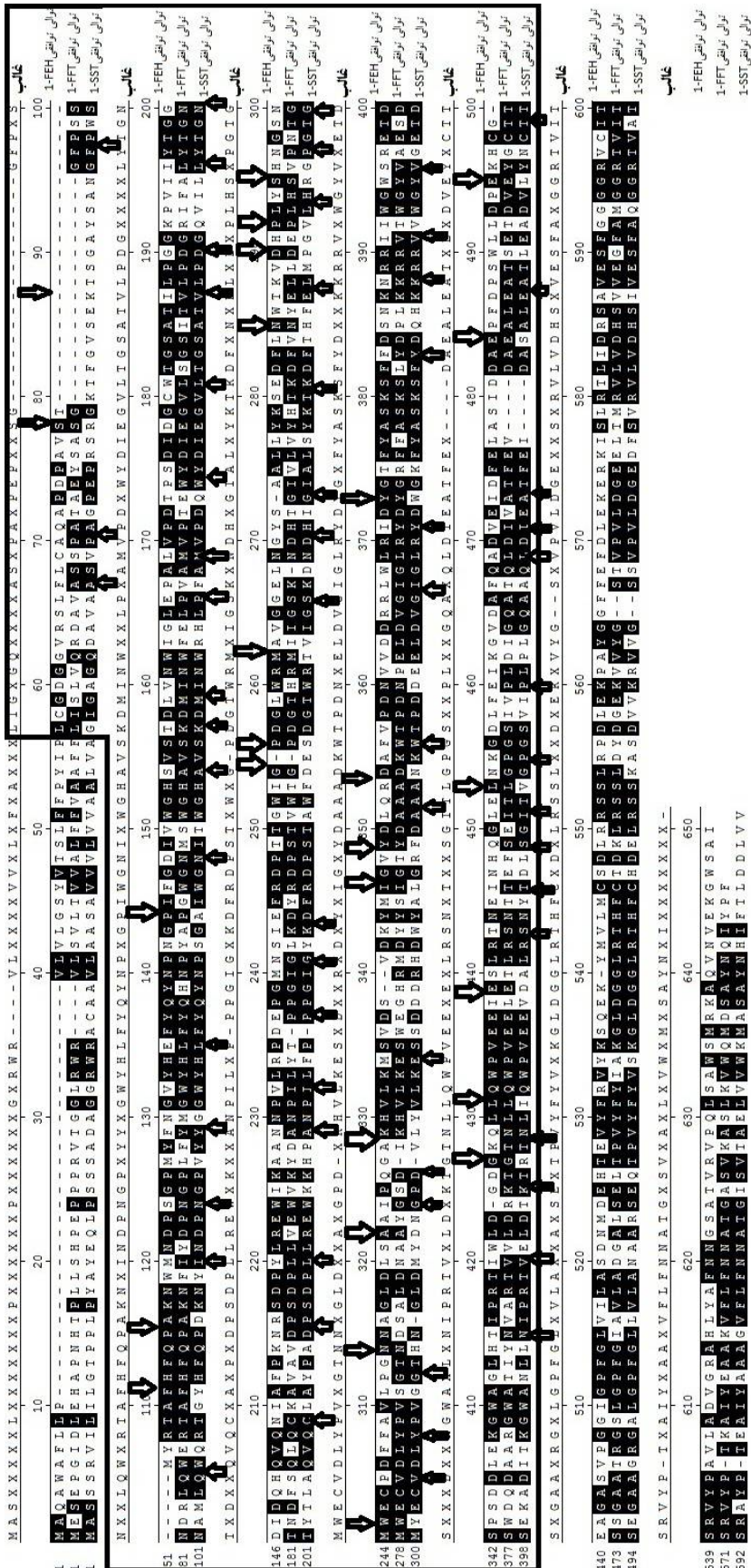
آمینی توالی اسیدآمینه قرار دارد و به طور کلی طول آن بین ۹۶ تا ۱۱۹ اسید آمینه است. این دومین به خانواده پروتئینی ۱۱۸۳۷ تعلق داشته و در یوکاریوت‌ها مشاهده می‌شود، که عمل آن هنوز ناشناخته است. جدا از تفاوت در طول زنجیره این سه آنزیم تفاوت دیگر مربوط به موقعیت محافظت شده اصلی این سه آنزیم یعنی GH32 است که در آنزیم *I-SST* از اسیدآمینه ۱۲۰ شروع شده و تا اسیدآمینه ۶۰۰ ادامه دارد ولی در *I-FFT* از اسیدآمینه ۷۵ شروع شده و تا اسیدآمینه ۴۹۵ ادامه دارد و در نهایت در آنزیم *I-FEH* از اسیدآمینه ۱۷ شروع شده و تا اسیدآمینه ۴۹۵ ادامه دارد (شکل ۳). همانگونه که در شکل ۳ ملاحظه می‌شود ناحیه ۲۲ GH32 در دو آنزیم *I-SST* و *I-FFT* در موقعیت مشابه‌ای نسبت به *I-FEH* قرار دارد و طول این ناحیه در هر سه آنزیم مشابه و حدود ۴۸۰ اسیدآمینه است که شامل دو زیرخانواده بزرگ ۲ و ۳ که به ترتیب ناحیه حفاظت شده بتا فروکتوزیدازها و انتهای کربوکسیل خانواده ۳۲ هیدرولیزکننده گلیکوزیدی است. بنابراین این موضوع بیانگر تشابه بیشتر در آنزیم *I-SST* و *I-FFT* نسبت به یکدیگر در مقایسه با *I-FEH* است که با بررسی رابطه

بیشترین شباهت را با اینورتازها دارد (شکل ۲) که این موضوع با توجه کارکرد مشابه آنها یعنی واکنش د-گلیکوزیلاسون<sup>۰</sup> قابل انتظار است (Lammens et al, 2009).

جهت تعیین نواحی حفاظت شده این آنزیم‌ها در ابتدا از بانک اطلاعاتی آنزیمی کربوهیدرات‌ها (dbCAN) استفاده شد که البته فقط ناحیه مربوط به خانواده ۳۲ هیدرولیزکننده‌های گلیکوزیدی (GH32) را در این آنزیم‌ها شناسایی کرد. با توجه به اینکه منبع اطلاعات این سایت به طور غیرمستقیم از NCBI است، به طور مستقیم از بانک اطلاعاتی دومین‌های حفاظت شده سایت NCBI (CDD) جهت شناسایی نواحی حفاظت شده و دومین‌های احتمالی این آنزیم‌ها استفاده شد. با بررسی در بانک اطلاعاتی نواحی دومین حفاظت شده دوباره این سه آنزیم همانند سایت بانک اطلاعاتی آنزیمی کربوهیدرات‌ها (dbCAN) به خانواده ۳۲ هیدرولیزکننده‌های گلیکوزیدی متنسب شدند (شکل ۳)، با این تفاوت که برای آنزیم *I-SST* ناحیه حفاظت شده شماره ۱ متعلق به خانواده بزرگ DUF3357 شناسایی شد که در موقعیت انتهای

#### 5- Deglycosylation

## هم ریدی توالی آنزیم‌های مسیر بیوستز اینولین در گیاهان



شکل ۴- هم ریدی سه توالی توافقی برای آنزیم‌های ۱-SST، ۱-FFT و ۱-FEH (پیکان سر بالا بیانگر نواحی مغایرت مستعده توانا ساختن آنزیم برای اثر بر روی ساکاروز است در تابعه بنافروکتوزیلازی نمایش داده شده با کادر سر پیکان بیانگر نواحی متغیر مستعده توانا ساختن آنزیم برای اثر بر روی اینولین است).

Figure 4- Alignment of consensus amino acid sequence of 1-SST, 1-FFT and 1-FEH enzymes. (Up arrow shows potential regions which able enzyme to affect on sucrose in the beta fructosidase domain which shown by black cadre and Down arrow shows potential regions which able enzyme to affect on inulin )

کلاستال دایلیو و حصول توالی توافقی برای هر یک از آنزیم‌ها با استفاده از نرمافزار DNASTar می‌توان هم‌ردیف کردن سه توالی توافقی آنزیم‌های *I-SST*, *I-FFT* و *I-FEH* و یافتن نقاط متفاوت در ناحیه بتافروکتوزیداز (کادر سیاه شکل ۴) که نقش احتمالی در تفاوت عملکرد آنزیم‌ها دارند، انجام داد (نقاط نمایش داده شده با پیکان سربالا [↑] کاندید برای توانا ساختن آنزیم جهت اثر بر ساکاروز و نقاط نمایش داده شده با پیکان سر پایین [↓] کاندید برای توانا ساختن آنزیم جهت اثر بر اینولین). بر این اساس به نظر می‌رسد ناحیه حذف شده در ابتدای ناحیه بتافروکتوزیدازی (شکل ۴) بیشترین اثر را در تغییر قابلیت این سه آنزیم داشته است به‌گونه‌ای که وقوع حذف بزرگ تقریباً ۳۰٪ اسیدآمینه‌ای در *I-FEH* به‌ویژه ناحیه متمایز از *I-FFT* (Vijn and Smeekens, 1999) اسیدآمینه ابتدای ناحیه حذف شده) منجر به عدم توانایی اثر این آنزیم بر روی ساکاروز شده است.

در مجموع به نظر می‌رسد که با استفاده از توالی آنزیم‌های کارکرده، می‌توان روابط فیلوژنی بین گونه‌های موجود گیاهی و حتی موجودات پست میکروبی را تعیین کرد. در ضمن با استفاده از اینگونه پژوهش‌ها می‌توان به توالی‌های دلخواه اینولیناز برای دستیابی به انواع مشتقات مطلوب حاصل از اینولین همچون دی‌فروکتوز ایندریدها (DFAs) که امروزه به دلیل خاصیت پری‌بیوتیکی و شیرین کنندگی خاص کاربردهای وسیعی در صنایع دارویی و غذایی پیدا کرده‌اند، دست یافت. هم‌چنین با شناسایی ژن‌های مسیر بیوستتر اینولین از منابع گیاهی تولید کننده فروکتان یا سایر منابع مثل باکتری‌ها و قارچ‌ها می‌توان اقدام به تولید گیاهان تاریخته تولید کننده اینولین با کمیت و کیفیت مطلوب کرد. گیاه مطلوب برای این منظور چندرقند است چرا که ماده اولیه ساکاروز را به وفور در خود دارد و می‌توان با افزودن دو ژن مناسب *I-SST* و *I-FFT* به ژنوم آن گیاه تاریخته مطلوب را مهندسی کرد.

## منابع

1. Bairoch, A., Apweiler, R., Wu, C. H., Barker, W. C., Boeckmann, B., Ferro, S., Gasteiger, E., Huang, H., Lopez, R., Magrane, M., Martin, M. J., Natale, D. A., O'Donovan, C., Redaschi N. and Yeh. L. L. 2005. The universal protein resource (UniProt). Nucleic Acids Research, 33: Database issue D154–D159.
2. Cairns, A. J. 2003. Fructan biosynthesis in transgenic plants. Journal of Experimental Botany, 54: 549–567.
3. Calonje, M., Martín-Bravo, S., Dobeš, Ch., Gong,

فیلوژنیک این سه آنزیم (شکل ۲) و همچنین نقاط مشترک توالی توافقی آنها در شکل ۴ قابل تایید است. ناحیه بتا فروکتوزیداز در *I-SST* روی ساکاروز عمل کرده و ضمن شکستن پیوند بین گلوکز و فروکتوز منجر به تشکیل تری ساکارید ۱-کتوز هم می‌شود. این ناحیه در *I-FFT* منجر به آزاد سازی یک گروه فروکتوسیل از یک ملکول اینولین و اتصال آن به ملکول اینولین دیگر و یا ساکاروز می‌شود ولی در *I-FEH* فقط منجر به آزاد سازی یک فروکتوز آزاد از انتهای زنجیره می‌شود. اینورتازها هم واکنش مشابهی را بر روی ساکاروز انجام می‌دهند و باعث آزاد شدن فروکتوز ملکول ساکاروز می‌شوند، بنابراین تشابه اینورتازها با *I-FEH* به جهت انجام واکنش مشابه آنها یعنی واکنش د-گلیکوزیلاسیون تایید می‌شود. ناحیه انتهای کربوکسیل GH32 ساختارهای ساندویچ بتا را به وجود می‌آورد که جایگاهی برای اتصال کربوهیدرات‌ها فرآهن می‌آورد. به نظر می‌رسد که جدا از سایر تفاوت‌های بحث شده تفاوت در توالی اسیدآمینه ناحیه حفاظت شده بتا فروکتوزیداز عامل اصلی تفاوت عملکرد این سه آنزیم باشد. این عقیده وجود دارد که تمامی آنزیم‌های متابولیسم فروکتان از اینورتازها با تعداد کمی تغییرات جهشی به وجود آمده‌اند (Vijn and Smeekens, 1999). بیشتر این آنزیم‌ها مقدار کمی فعالیت اینورتازی یعنی تجزیه ساکاروز به گلوکز و فروکتوز را در غلظت‌های کم ساکاروز از خود نشان می‌دهند بجز FEH که به نظر می‌رسد که این توانایی اثر بر روی ساکاروز را به طور کامل از دست داده است. به نظر می‌رسد یک ژن بتا فروکتوزیداز قدیمی که هم اکنون در میکرووارگانیسم‌ها یافت می‌شود به داخل ژنوم گیاهان نفوذ کرده و یک شاخه از آن به اینورتازها و شاخه دیگر به FEH و سایر آنزیم‌های دخیل در متابولیسم فروکتان تبدیل شده است (Verhaest et al, 2005). به همین جهت همه این آنزیم‌ها یک توالی اسیدآمینه‌ای خیلی مشابه دارند که به خانواده ۳۲ هیدرولیزکننده‌های گلیکوزیل تعلق دارد.

پس از هم‌ردیف کردن توالی‌های هر یک از آنزیم‌ها به روش

- W., Jordon-Thaden, I., Kiefer, Ch., Kiefer, M., Paule, J., Schmickl, R. and Koch, M. A. 2008. Non-coding nuclear DNA markers in phylogenetic reconstruction. *Plant Systematics and Evolution* 282(3-4): 257-280.
4. Hellwege, E.M., Czapla, S., Jahnke, A., Willmitzer, L. and Heyer, A.G. 2000. Transgenic potato (*Solanum tuberosum*) tubers synthesize the full spectrum of inulin molecules naturally occurring in globe artichoke (*Cynara scolymus*) roots. *Proceeding of National Academic Science of USA*, 97: 8699-8704.
5. Marchler-Bauer, A., Anderson, J. B., Chitsaz, F., Derbyshire, M. K. DeWeese-Scott, C. Fong, J. H., Geer, L. Y., Geer, R. C., Gonzales, N. R., Gwadz, M., He, S., Hurwitz, D. I., Jackson, J. D., Ke, Z., Lanczycki, C.J., Liebert, C. A., Liu, C., Lu, F., Lu, S., Marchler, G. H., Mullokandov, M., Song, J. S., Tasneem, A., Thanki, N., Yamashita, R. A., Zhang, D., Zhang N., and Bryant S. H. 2009. CDD: specific functional annotation with the Conserved Domain Database. *Nucleic Acids Research*, 37: Database issue D205-D210.
6. Narai-kanayama, A., Tokita, N. and Aso, K. 2007. Dependence of fructooligosaccharide content on activity of fructooligosaccharide-metabolizing enzymes in yacon (*Smallanthus sonchifolius*) tuberous roots during storage. *Journal of Food Science*, 72: 381-387.
7. Pan, W., Sunayama, Y., Nagata, Y., Taniguchi, M., Takano, M., Inoue, E., Tamagake, H. and Anzai, H. 2009. Cloning of a cDNA encoding the sucrose: sucrose 1-fructosyltransferase (1-SST) from Yacon and its expression in transgenic rice. *Biotechnology and Biotechnology Equipment*, 23: 1479-1484
8. Pilon-Smits, E. A. H., Ebskamp, M. J. M., Paul, M. J., Jeuken, M. J. W., Weisbeek, P. J. & Smeekens, S. C. M. 1995. Evaluation of safety on inulin and oligofructose as dietary fiber. *Plant Physiology*, 107: 125-130.
9. Ritsema T, Smeekens S. 2003. Fructans: beneficial for plants and humans. *Current Opinion in Plant Biology*, 6: 223-30.
10. Roberfroid M.B. 2007. Inulin-type fructans: functional food ingredients. *Journal of Nutrition*, 137: 2493S-2502S.
11. Roberfroid, M. B. 2005. Introducing inulin-type fructans. *British Journal of Nutrition*, 93: 13-25.
12. Sayers E. W., Barrett, T., Benson, D.A., Bolton, E., Bryant, S. H., Canese, K., Chetvernin, V., Church, D. M., DiCuccio, M., Federhen, S., Feolo, M., Fingerman, I.M., Geer, L. Y., Helberg, W., Kapustin, Y., Landsman, D., Lipman, D. J. Lu, Z., Madden, T. L., Madej, T., Maglott1, D. R., Marchler-Bauer, A., Miller, V., Mizrahi, L., Ostell, J., Panchenko, A., Phan, L., Pruitt, K. D., Schuler, G. D., Sequeira, E., Sherry, S. T., Shumway, M., Sirotkin, K., Slotta, D., Souvorov, A., Starchenko, G., Tatusova, T. A., Wagner, L., Wang, Y., Wilbur, W. J., Yaschenko E. and Ye J. 2011.. Database resources of the National Center for Biotechnology Information. *Nucleic Acids Research*, 39: Database issue, D38-D51.
13. Shigematsu, N., Okuhara, Y., Shiomi, T., Tomita, F., and Hara, H. 2004. Effect of difructose anhydride III on calcium absorption in humans. *Bioscience Biotechnology Biochemistry*, 68: 1011-1016.
14. Tamura, K., Peterson, D., Peterson, N., Stecher, G., Nei, M. and Kumar S. 2011. MEGA5: molecular evolutionary genetics analysis using maximum likelihood, evolutionary distance, and maximum parsimony methods. *Molecular Biology Evolution*, 28: 2731-2739.
15. Van Arkela, J., Séveniera, R., Hakker, J. C., Bouwmeester, H. J., Koopsa, A. J., and Van der Meera, I. M. 2013. Tailor-made fructan synthesis in plants: A review. *Carbohydrate Polymers*, 93: 48-56.
16. Van Arkela, J., Vergauwenb, R., Séveniera, R., Hakker, J. C., Van Laereb, A., Bouwmeester, H. J., Koopsa, A. J., and Van der Meera, I. M. 2012. Sink filling, inulin metabolizing enzymes and carbohydrate status in field grown chicory (*Cichorium intybus L.*). *Journal of Plant Physiology*, 169: 1520-1529.
17. Van den Ende, W., Michiels, A., De Roover, J., and Van Laere, A. 2002. Fructan biosynthetic and breakdown enzymes in dicots evolved from different invertases expression of fructan genes throughout chicory development. *The Scientific World Journal*, 2: 1281-1295.
18. Van den Ende, W., Michiels, A., Van Wonterghem, D., Clerens, S.P., De Roover, J. and Van Laere, A.J. 2001 Defoliation induces fructan 1-exohydrolase II in witloof chicory roots. Cloning and purification of two isoforms, fructan 1-exohydrolase IIa and fructan 1-exohydrolase IIb. Mass fingerprint of the fructan 1-exohydrolase II enzymes. *Plant Physiology*, 126: 1186-1195.
19. Van den Ende, W., Mintiens, A., Speleers, H., Onuoha, A., and Van Laere, A. 1996. The metabolism of fructans in roots of *Cichorium intybus L.* during growth, storage and forcing. *New Phytologist*, 132: 555-563.
20. Verhaest, M., Van den Ende, W., Roy, K.L., De Ranter, C. J., Van Laere, A., and Anja, R. 2005. X-ray diffraction structure of a plant glycosyl hydrolase family 32 protein: fructan 1-exohydrolase IIa of *Cichorium intybus*. *The Plant Journal*, 41: 400-411.
21. Vijn, I. and Smeekens, S. (1999) Fructan: more than a reserve carbohydrate? *Plant Physiology*. 120: 351-360.
22. Willem Lammens, Katrien Le Roy, Lindsey Schroeven, André Van Laere, Anja Rabijns, and Wim Van den Ende. 2009. Structural insights into glycoside hydrolase family 32 and 68 enzymes: functional implications J. Exp. Bot. 60: 727-740.
23. Yin, Y., Mao, X., Yang, J., Chen, X., Mao, F., and Xu, Y. 2012. dbCAN: a web resource for automated carbohydrate-active enzyme annotation. *Nucleic Acids Research*, 40: Web Server Issue: W445-W451.



## جداسازی بخشی از ژن ترانسفرین (TTf) از رقم به گندم زراعی تحت تیمار تنش شوری

Isolation of partial cDNA of transferring gene (TTf) from Bam wheat  
cultivar under salinity stress treatment

نادر رحیمی اسفنجانی<sup>۱</sup> و علیرضا تاری نژاد<sup>۲\*</sup>

Nader Rahimi Esfanjani<sup>1</sup> and Alireza Tarinejad<sup>2\*</sup>

۱- دانشجوی کارشناسی ارشد گروه بیوتکنولوژی دانشگاه شهید مدنی آذربایجان

۲- استادیار گروه بیوتکنولوژی دانشگاه شهید مدنی آذربایجان

۱- MSc. Student of Biotechnology Department, Faculty of Agriculture, Azarbaijan  
Shahid Madani University.

2- Assistant Professor of Biotechnology Department, Faculty of Agriculture,  
Azarbaijan Shahid Madani University.

\* نویسنده مسئول مکاتبات، پست الکترونیکی: atarinejad@yahoo.com

(تاریخ دریافت: ۹۱/۱۲/۲ - تاریخ پذیرش: ۹۲/۷/۲۱)

چکیده

در میان تنش‌های غیرزنده، تنش شوری شدیدترین تنش محیطی است که پاسخ به آن، بیان ژن‌های گوناگونی را در گیاه‌القا می‌کند که محصولات آن‌ها به طور مستقیم یا غیرمستقیم در حفاظت از گیاهان در مقابل تنش نقش دارند. خاک‌ها به طور معمول دارای ۱-۵ درصد آهن کل هستند که به راحتی برای گیاهان قابل استفاده نیست. ترانسفرین‌ها پروتئین‌های عمومی حامل آهن در سلول‌های جانوری هستند و در پیوند شدن، متحرک کردن و تحویل دادن یون‌های فریک نقش دارند. در این پژوهش سعی شد وجود ژن ترانسفرین (که تاکنون وجود آن در گیاهان عالی گزارش نشده است) در گندم زراعی بررسی و در صورت وجود، جداسازی، کلون و سپس تعیین توالی شود. برای این منظور، بدور رقم به گندم زراعی در گلدان‌ها کشت و با آب نمک با ECهای ۱۰ و ۱۵ (ds/m) به ترتیب به مدت ۵ و ۱۰ روز تحت تنش شوری قرار گرفتند و در مراحل مختلف رشد بوته‌ها، از برگ‌های جوان آن‌ها نمونه برداری صورت گرفت. آر.ان.ای کل با استفاده از تریزول استخراج و سپس ساخت cDNA با استفاده از آنزیم M-MuLV انجام شد. از روی cDNA ساخته شده توالی ژن هدف با واکنش پی.سی.آر تکثیر شد و در نهایت، واکنش لیگاسیون بین دی.ان.ای الحاقی (بخشی از ژن ترانسفرین) و وکتور pGEM-TEasy انجام و گلندی‌های ترانسفرین شده از طریق سیستم گزینش بلو-وایت شناسایی شدند. بعد از همسانه سازی ژن TTf جداسازی شده و تعیین توالی، توالی بدست آمده شباهت ۸۴ درصدی با توالی ثبت شده موجود در NCBI نشان داد. نتایج این پژوهش وجود ژن ترانسفرین در گیاهان عالی و نیز نقش آن در مقاومت به تنش شوری در آن‌ها را به اثبات رساند و این اولین گزارش از حضور ژن ترانسفرین در گیاهان عالی بعد از جلبک‌ها است.

واژه‌های کلیدی

جداسازی ژن  
ژن ترانسفرین (TTf)  
رقم به گندم زراعی  
تنش شوری

## مقدمه

(Lamberta et al., 2005)

انتقال آهن از غشا سلولی توسط ترانسفرین، از طریق یک مکانیسم فاگوسیتویک (اندوسیتویک) و با وساطت یک گلیکوپروتئین غشایی به نام گیرنده ترانسفرین انجام می‌شود. احتمال دارد گیرنده‌های ترانسفرین به استثنا سلول‌های بسیار تمایزیافته روی تمام سلول‌ها بیان شوند (در مقادیر بسیار متفاوت). بیان گیرنده‌های ترانسفرین توسط آهن (Fe<sup>3+</sup>) موجود بر روی ناحیه از طریق عناصر پاسخگو به آهن (IREs<sup>1</sup>) موجود در مرحله پس از غیرترجمه‌ای mRNA می‌گیرنده ترانسفرین، در مرحله پس از رونویسی به طور منفی تنظیم می‌شود. IREها توسط پروتئین‌های سیتوپلاسمی ویژه به نام IRPs (پروتئین‌های تنظیمی آهن) تشخیص داده می‌شوند که در غیاب آهن به IREها mRNA گیرنده ترانسفرین متصل می‌شوند و از تجزیه آنها جلوگیری می‌کنند. جذب آهن از ترانسفرین شامل اتصال ترانسفرین به گیرنده ترانسفرین، درونی‌سازی ترانسفرین به داخل یک کیسه اندوسیتویک از طریق گیرنده واسطه در اندوسیتوز و رها کردن آهن از پروتئین ترانسفرین از طریق کاهش در pH داخلی کیسه Litwin and Calderwood, 1993; Schwarz et al., 2003 و زیکول اندوسیتوزی ۵/۵ یا کمتر از آن است که این باعث تفکیک آهن از کمپلکس گیرنده-ترانسفرین می‌شود، اما آپوترانسفرین (ترانسفرین عاری از آهن) متصل به این گیرنده باقی می‌ماند. آهن داخل سلول باقی می‌ماند و مجموعه‌ی گیرنده‌های آپوترانسفرین به سطح سلول بازیافت می‌شوند Dunaliella (Dautry-Varsat et al., 1983). جلبک تکسلولی Salina نیز با مکانیسمی مشابه آهن را وارد سلول کرده و در واکرnel‌های اسیدی درونی‌سازی می‌کند (Pick et al., 2006). این جلبک یک گیاه مدل استثنایی برای آشکار کردن مکانیسم‌های مقاومت به شوری موجودات فتوستیک است که توانایی زنده ماندن در شوری‌های با غلظت بالاتر از اشباع NaCl را دارد (Fisher et al., 1997).

کمبود آهن دو پروتئین شبه ترانسفرین عمدۀ در غشا پلاسمایی جلبک *D. salina* القاء می‌کند، TTf یا p150، یک پروتئین ۱۵۰

<sup>1</sup> Iron Response Elements عناصر پاسخ به آهن، یک ساختار کوتاه حلقه-ساقه حفاظت شده هستند که توسط پروتئین‌های تنظیمی آهن (IRPs) متصل می‌شوند.

خاک‌ها به طور معمول دارای ۱-۵ درصد آهن کل هستند. بیشتر آهن موجود در خاک به شکل مواد معدنی سیلیکاتی یا اکسید و هیدروکسید آهن است که به راحتی برای گیاهان قابل استفاده نیستند. گیاهان می‌توانند آهن را به اشکال Fe<sup>2+</sup> (فروس) و (فریک) جذب کنند. گیاهان دو مکانیسم عمدۀ برای جذب آهن به کار می‌گیرند که یکی شامل کلاته کردن آهن از طریق ترشح ترکیباتی به نام سیدروفورزها که با پیوند شدن با آهن قابلیت حل شدن آن را افزایش می‌دهد و دیگری، ترشح پروتون (H<sup>+</sup>) و احیاکننده‌ها توسط ریشه گیاهان برای کاهش مقدار pH در ناحیه Cohen et al., 1998 اطراف ریشه برای افزایش محلولیت آهن است ().

گندم یک گیاه متحمل به شوری زیاد است و بسیاری از کولتیوارهای آن تا شوری‌های ۱۵ ds/m<sup>۰</sup> با حفظ توان تولید ۵۰ درصد ماده خشک، قدرت رشد دارند. ترانسفرین‌ها پروتئین‌های عمومی حامل آهن در سلول‌های جانوری هستند و در پیوند شدن، متحرک کردن و تحويل دادن یون‌های فریک نقش دارند (Fisher et al., 1997). ترانسفرین‌پلاسمایک گلیکوپروتئین با وزن مولکولی در حدود ۸۰ کیلو Dalton، با دو ناحیه همولوگ در انتهای C و N برای پیوند شدن با آهن است. در اصل، همه آهن در گردش پلاسمایک به طور طبیعی متصل به ترانسفرین است (Ponka and Lok, 1999). یون فریک برای جفت شدن با ترانسفرین فقط به مشارکت یک آنیون (به طور معمول کربنات) نیاز دارد. همچنین پروتئین‌های ترانسفرین در برقراری همنوستازی آهن سلول، از طریق کمک کردن به سلول‌ها برای تنظیم میزان جذب آهن از سطح خارج سلولی، نقش ایفا می‌کنند. در کشت سلولی نیز، برای افزایش کیفیت و کمیت سلول‌ها به محیط کشت سلول، ترانسفرین اضافه می‌کنند تا سلول‌ها به اندازه کافی با آهن تجهیز شده باشند (Laskey, 1998). خانواده ترانسفرین‌ین بین مهره‌داران و بی‌مهرگان پلی را برقرار می‌کند، چرا که باقی مانده‌های مرتبط با پیوند شوندگی آهن و آنیون در بین انواع ترانسفرین‌ها (ترانسفرین سرم، اوووترانسفرین، لاکتوفرین، ملانوترانسفرین، مهارکننده کربونیکانهیدراز، یک پروتئین از خرچنگ و یک پروتئین از جلبک سبز) حفاظت شده هستند

مدارک زیادی وجود دارد که شوری، آنزیم‌های فتوستتزری، کلروفیل‌ها و کاروتونوئیدها را تحت اثر قرار می‌دهد. این نیز ثابت شده است که شوری ناشی از نمک NaCl روی کارابی فتوسیستم II اثر منفی دارد (Qin et al., 2010). تنش شوری غشاها زیستی را ناپایدار کرده و در محلولیت بسیاری از یون‌ها و سوبسترها ضروری اثرگذار است (Katz et al., 2007; Jitesh et al., 2007). شوری خاک مهم‌ترین عامل محدودکننده رشد و نمو گیاهان در مناطق خشک و نیمه‌خشک بوده که مهم‌ترین علت آن هم آبیاری با آب‌های شور است (Turan et al., 2010). شور شدن خاک اثرهای منفی زیادی روی ویژگی‌های فیزیکی و شیمیایی خاک، میکروارگانیسم‌های آن و نیز گیاهان دارد. تجمع نمک‌ها در خاک pH آن را تحت اثر قرار می‌دهد که مهم‌ترین ویژگی شیمیایی خاک به شمار می‌رود چرا که روی قابلیت دسترسی مواد مغذی برای گیاهان اثرگذار است. در pH‌های بالای خاک، عناصری مثل Zn, Cu, Mn و Fe قابلیت دسترسی کم‌تری دارند. آهن در pH‌های بین ۴ تا ۷ قابلیت دسترسی بالایی دارد. آهن یک عنصر ضروری برای بقا همه موجودات زنده است. موجودات فتوستتیک نیاز ضروری برای آهن به عنوان کوفاکتور برای چندین عنصر دیگر در سیستم انتقال الکترون خود دارند (Paz et al., 2007). کمبود آهن یک عامل محدودکننده برای رشد گیاهان بوده و عملکردهای مهمی در گیاهان دارد که می‌توان به نقش آن در ساختمان و عملکرد کلروفیل، انتقال انرژی در داخل گیاه، تثیت نیتروژن، به عنوان جز ساختاری برخی از آنزیم‌ها و پروتئین‌ها و نقش اصلی آن که در فرآیندهای فتوستزر و تنفس است، اشاره کرد (Connolly and Guerinot, 2002).

هدف از انجام این پژوهش جداسازی ژن بیان‌کننده ترانسفرین و بررسی وجود آن در ارقام ایرانی گندم زراعی بود. با توجه به اینکه گندم یک گیاه به طور نسبی متتحمل به شوری و دسترسی پایین آهن بود، بنابراین فرضیه وجود ژن ترانسفرین در گندم کولتیوار بم مقاوم به شوری شکل گرفت.

## مواد و روش‌ها

### مواد گیاهی و ژنتیک

در این پژوهش از بذور رقم بم گندم زراعی به عنوان رقم متتحمل

کیلودالتونی و یک پروتئین دیگر به نام id100 که از نظر توالی اسید‌آمینه‌ای تنها ۳۰ درصد به TTF شباهت دارد (Schwarz et al., 2003). در جلبک *Dunaliella* افزایش قابل توجه مقدار پروتئین Tf یا P150 (یک پروتئین شبه‌ترانسفرین) با بالا رفتن میزان شوری محیط کشت و یا تخلیه آهن از آن از طریق نشان‌دار Fisher et al., 1997; Katz et al., 2007) تایید شده است که جذب آهن در این گیاه به واسطه پروتئین TTf که به یون‌های  $Fe^{3+}$  پیوند می‌خورد، انجام می‌گیرد (Paz et al., 2007). این پروتئین یک پروتئین سطحی غشا پلاسمایی ۱۵۰ کیلودالتونی است که براساس توالی استنباط شده از cDNA ژن ترانسفرین در تا سال ۱۹۹۶ فقط در جانوران شناسایی شده بود تعلق دارد. این اولین گزارش از وجود یک پروتئین شبه‌ترانسفرین در یک موجود فتوستتیک بود (Fisher et al., 1997). این پروتئین مشخصات مشابهی از قبیل اختصاصی بودن میل ترکیبی بالا برای یون‌های  $Fe^{3+}$ ، وابستگی شدید روی یون‌های کربنات و بیکربنات و فعالیت خیلی پایین در pH‌های اسیدی با ترانسفرین‌های جانوری نشان داد. اثبات شده است که یون‌های فلزی دیگر، جذب آهن را مختل نمی‌کنند و یک گزینش بسیار قوی در سیستم انتقال یون‌های  $Fe^{3+}$  حاکم است (Fisher et al., 1998). این پروتئین TTf در غلاظت‌های بالای شوری احتمال دارد به دلیل کاهش آهن در دسترس موثر باشد. این کاهش ممکن است نتیجه اثر نمک روی محلولیت  $Fe^{3+}$  و یا دخالت نمک در ماشین جذب آهن باشد (Fisher et al., 1997). ثابت شده است که شرایط شوری شدید به طور مستقیم باعث تجمع پروتئین TTf نمی‌شود و اثر آن به طور غیرمستقیم و با کم کردن قابلیت دسترسی آهن است و نیز ثابت شده است که میل ترکیبی یون‌های آهن به سختی به وسیله شوری شدید تحت تاثیر قرار می‌گیرد (Katz et al., 2007). این نتایج نشان می‌دهد که ترانسفرین‌هایی که تا سال ۱۹۹۶ فقط در جانوران شناسایی شده بودند در سیستم‌های گیاهی نیز در انتقال آهن حضور و نقش دارند (Fisher et al., 1998). تنش شوری ناشی از نمک NaCl باعث کاهش رشد رویشی، عدم تعادل ریزمغذی‌ها، مهار فتوستزر، کمبود آب و سمیت یونی مرتبط با  $Cl^-$  و  $Na^+$  اضافی، در گیاهان می‌شود (Turan et al., 2010).

مقدار ۲۵۰ mg ۲۰۰-۲۰۰ از آن در تیوب ml RNase Free ۱/۵ استریل ریخته شد. مقدار ۱ml ۵۰۰ تریزول به آن اضافه و ۴۰ ثانیه ورتسکس



شکل ۱- تصویر بوتهای رقم بم گندم زراعی. الف: ۱۵ روز پس از کاشت. ب: ۳۵ روز پس از کاشت.

Figure 1- Image of Bam wheat cultivar plants. A: 15 days after planting. B: 35 days after planting.

و ۱۰ دقیقه در دمای اتاق نگهداری شد. سپس مقدار ۱ml ۲۰۰ کلروفرم به آن اضافه و با محتویات تیوب مخلوط و ۱۰ دقیقه در دمای اتاق قرار داده شد. پس از ۱۵ دقیقه سانتریفیوژ با سرعت ۱۴۰۰۰rpm در دمای ۴ درجه سانتی گراد انجام و فاز بالایی به تیوب ۱/۵ ml RNase Free استریل منتقل شده و آر.ان.ای در استفاده از روش ایزوپروپانول خالص سازی شد و آر.ان.ای در نهایت در ۱ml آب مقطر استریل حل شد. آر.ان.ای استخراج شده به نسبت ۱ به ۱۰ با آب مقطر استریل رقیق شده و با استفاده از دستگاه اسپکتروفوتومتری و رقت ۱ به ۷۰ غلظت آن به طور میانگین برآورد شد. برای بررسی کیفیت آر.ان.ای، نمونه‌ها روی ژل آگارز ۱ درصد بارگذاری شدند.

#### cDNA ساخت

برای ساخت cDNA، محلول واکنش شامل آب مقطر استریل به مقداری که حجم واکنش به ۱ml ۲۰ برسد، ۸µg از آر.ان.ای استخراج شده، ۵۰ µM آغازگر معکوس، ۵۰ µM آغازگر پلی T، ۵۰µM آغازگر Random Hexamer، ۱۰ mM مخلوط dNTP در حجم ۲۰µl در تیوب استریل ۰/۵ ml تهیه شده و ۵ دقیقه در دمای ۶۵ درجه سانتی گراد (در دستگاه ترمومیکسر) و سپس ۱۰µl بافر تامپون X ۱۰ مخصوص آنزیم M-MuLV، ۱ میکرولیتر DTT، ۱ میکرولیتر (۵۰mM) MgCl<sub>2</sub>، ۱ میکرولیتر

به شوری استفاده شد. در طول مراحل انجام این تحقیق از تریزول شرکت Merck، نژاد Top10 باکتری *Escherichia coli* کیت ساخت cDNA، مارکر VC 1kb DNA Ladder و آنزیم و بافر T4 PCR Master Mix، ViVantis DNA ligase شرکت Promega، آنزیمهای RNasine و RNaseA شرکت Fermentas، کلریدسدیم شرکت Merck، آنتی بیوتیک آمپی سیلین و آغازگرهای F:5'-AAGGCTAGCCAGTGTGGAAA-3' و R:5'-AGATGGTGTACTCCACGTCA-3'

pGEM-T یک وکتور خطی با T مفرد آویزان انتهایی در انتهایهای ۳' است که به این شکل از حلقوی شدن وکتور جلوگیری کرده و کارایی واکنش لیگاسیون را با فرآورده تکثیری پی.سی.آر تولید شده با دی.ان.ای پلیمرازهای معین مقاوم به حرارت که یک A به انتهایهای ۵' آنها اضافه می‌کند، افزایش می‌دهد. این وکتور، یک وکتور high-copy-number پرده و شامل pROMOTORهای T7 و SP6RNA پلیمراز که در طرفین ناحیه سایت‌های برشی (Multiple Cloning Region) آن قرار دارند، است. ناحیه سایت‌های برشی آن هم در داخل ناحیه کدکننده α-پیتید آنزیم β-گلاکتوزیداز واقع شده است.

#### کشت گیاهان و اعمال تیمار تنش شوری

در این پژوهش، بذور با تراکم ۸-۱۰ بذر در هر گلدان (گلدان‌های با ظرفیت ۵/۳ لیتر)، که با خاک معمولی پر شده بودند در عمق ۱ سانتی‌متری کشت شدند. سپس به مدت دو هفته، هر گلدان با ۴۰۰ میلی‌لیتر آب آبیاری معمولی، هر چهار روز یکبار آبیاری شد. پس از دو هفته که گیاهچه‌ها تا ارتفاع ۱۰ تا ۱۵ سانتی‌متری رشد کرده بودند تنش شوری به مدت ۱۰ روز با آب نمک با EC ۱۵ ds/m (۸g NaCl در یک لیتر آب مقطر) و سپس به مدت ۵ روز با آب نمک با EC ۱۰ ds/m (۴/۹۶g NaCl در یک لیتر آب مقطر) جهت القا بیان ژن‌های مقاومت به تنش شوری اعمال شد (شکل ۱). پس از این دوره، برگ‌های جوان برداشت شدند و پس از شستشو با آب مقطر بلافالصله مورد استخراج آر.ان.ای قرار گرفتند.

#### استخراج آر.ان.ای و تعیین کمیت و کیفیت آن

نمونه‌های برگی با استفاده از ازت‌مایع در هاون چینی پودر شده و

باکتری از فریزر -۷۰ درجه سانتی گراد و محصول واکنش لیگاسیون از فریزر -۲۰ درجه سانتی گراد خارج شده و به مدت ۱۵ دقیقه روی یخ قرار گرفتند، سپس نصف محصول واکنش لیگاسیون ( $1\text{ }\mu\text{l}$ )<sup>(۵)</sup> به روی  $50\text{ }\mu\text{l}$  سلول مستعد *E.coli* اضافه و به آرامی مخلوط شدند و به مدت ۴۵ دقیقه روی یخ قرار داده شدند. سپس نمونه‌ها ۴۲ ثانیه در دمای ۴۲ درجه سانتی گراد قرار گرفتند و به سرعت ۲ دقیقه به روی یخ منتقل شدند. در ادامه ۸۵۰ میکرولیتر محیط کشت LB مایع بدون آنتی‌بیوتیک به نمونه‌ها اضافه و به مدت یک ساعت با سرعت  $180\text{ rpm}$  در دمای ۳۷ درجه سانتی گراد در انکوباتور شیکردار قرار گرفتند. در نهایت حدود  $1\text{ }\mu\text{l}$  از سلول‌های باکتریایی ترانسفورم شده، روی محیط LB ای جامد حاوی آنتی‌بیوتیک مناسب و IPTG و X-Gal کشت شدند و به مدت یک شب در انکوباتور با دمای ۳۷ درجه سانتی گراد قرار داده شدند. سپس کلنی‌های سفیدرنگ با انجام پی.سی.آر روی آنها تایید شدند و با استفاده از روش استخراج پلاسمید پیشنهاد شده توسط بیرنسویم و دالی<sup>(۶)</sup>، که به اختصار Miniprep نامیده می‌شود، مورد استخراج پلاسمید قرار گرفتند. با انجام پی.سی.آر دیگری روی پلاسمیدهای استخراج شده و تایید آنها، برای توالی‌یابی به مرکز توالی‌یابی کره جنوبی ارسال شدند.

## نتایج و بحث

### لیگاسیون شوری

با توجه به پژوهش‌های صورت گرفته، رایج‌ترین روش اعمال تنفس شوری، با نمک NaCl روی گیاهان رشد کرده در محیط *in vitro* و نمونه‌برداری حدوداً ۴۸ ساعت پس از اعمال تنفس بوده است ولی در این پژوهش سعی شد شرایط اعمال تنفس به طور تقریبی مشابه شرایط مزرعه‌ای باشد و بنابراین کشت بذور در خاک انجام شد. با در نظر گرفتن این شرایط، که ریشه گیاهان مانند شرایط *in vitro* در تماس مستقیم با محلول نمکی نبوده‌اند پیش‌بینی شد که تنفس شوری روی گیاهان نسبت به شرایط *in vitro* دیرتر موثر واقع شود و از این‌رو نمونه‌های برگی ۱۰ روز پس از اعمال تنفس نمونه‌برداری شده و مورد بررسی قرار گرفتند.

RNasin و ۱ میکرولیتر آنزیم M-MuLV به محلول واکنش اضافه شده و نمونه‌ها  $2/5$  ساعت در دمای ۳۷ درجه سانتی گراد قرار داده شدند. پس از اتمام این مراحل، cDNA ای حاصل به نسبت ۱ به ۱ با آب مقطر استریل رقیق شد و از cDNA ای رقیق شده در واکنش پی.سی.آر استفاده شد. برای نگهداری cDNA ساخته شده، نمونه‌ها در دمای -۲۰ سانتی گراد قرار داده شدند.

### واکنش زنجیره‌ای پلیمراز و خالص‌سازی فرآورده تکثیری

واکنش زنجیره‌ای پلیمراز (پی.سی.آر) برای تکثیر ژن مورد نظر از روی cDNA و اثبات حضور فیزیکی ژن در وکتور کلونینگ مورد استفاده قرار گرفت. برای تهیه ۲۰ میکرولیتر واکنش پی.سی.آر،  $4\text{ }\mu\text{l}$  Master mix  $0/2\text{ }\mu\text{l}$  آغازگر Forward،  $0/2\text{ }\mu\text{l}$  معکوس و  $50$  نانوگرم cDNA، به  $14/6\text{ }\mu\text{l}$  آب مقطر استریل اضافه شد. برنامه‌ی استاندارد پی.سی.آر شامل مرحله‌ی واسرشته‌سازی اولیه به مدت ۲ دقیقه در ۹۴ درجه سانتی گراد و در ۳۰ دقیقه شد. مرحله‌ی تکثیر که شامل  $35$  چرخه و هر چرخه شامل ۳۰ ثانیه دمای ۹۴ درجه سانتی گراد،  $۳۰$  ثانیه دمای ۵۵ درجه سانتی گراد و  $۸۰$  ثانیه دمای ۷۲ درجه سانتی گراد و در نهایت یک مرحله‌ی پایانی شامل ۱۰ دقیقه در دمای ۷۲ درجه سانتی گراد بود. نیمی از فرآورده تکثیری پی.سی.آر روی ژل آگاراز  $1$  درصد بارگذاری شدند، تا باندهای تکثیر شده، جدا و تجزیه شوند. پس از آنکه باند موردنظر مشاهده شد، باقی مانده فرآورده تکثیری پی.سی.آر تایید شده با استفاده از فنل کلروفرم و نمک NaCl  $5$  مولار خالص‌سازی و رسوب داده شد.

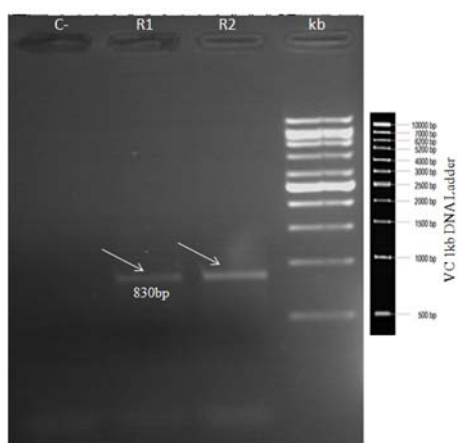
### لیگاسیون قطعات دی.ان.ای

برای اتصال دو قطعه‌ی دی.ان.ای، مواد لازم برای  $1\text{ }\mu\text{l}$  واکنش لیگاسیون شامل  $100-300\text{ ng}$  (۰/۵-۰/۱  $\mu\text{l}$ ) دی.ان.ای وکتور pGEM-T، دی.ان.ای الحاقی (فرآورده تکثیری پی.سی.آر خالص‌سازی شده) به نسبت  $3$  برابر وکتور ( $900\text{ ng}$  یا  $1\text{ }\mu\text{l}$ )،  $T4\text{-DNA ligase}$  بافر  $2\times T4\text{-DNA ligase}$   $5$  واحد آنزیم ( $0/5\text{ }\mu\text{l}$ ) و  $3\text{ }\mu\text{l}$  آب مقطر استریل در تیوب استریل  $0/5\text{ ml}$  ریخته شد و به مدت  $1$  ساعت در دمای اتاق و سپس به مدت یک شب در دمای  $4$  درجه سانتی گراد قرار داده شدند.

**استحاله سلول‌های باکتریایی به روش شوک حرارتی (Heat-shock)**  
برای استحاله به روش شوک حرارتی، ابتدا سلول‌های مستعد

نوترکیب‌ها (کلنهای سفید) را از طریق غربالگری blue-white می‌دهد (شکل ۴). با استناد به این ویژگی وکتور، تعدادی از کلنهای نوترکیب (سفید) انتخاب و درستی واکنش لیگاسیون با انجام پی.سی.آر روی آن کلنهای تایید شد (شکل ۵).

وکتور pGEM-T-Tf به روش شوک حرارتی به باکتری *E. coli* منتقال یافته، و سلول‌ها روی محیط حاوی  $100\text{ }\mu\text{g/ml}$  آمپیسیلین گزینش شدند (شکل ۴ الف). برخی از قطعات الحاقی که وارد وکتور نشده‌اند ولی در محیط کشت گزینشی بلو-وایت به تصادف در مجاورت کلنهای نوترکیب (سفید) قرار گرفته‌اند، ممکن است هنگام انجام واکنش پی.سی.آر روی کلنهای همراه پلاسمید نوترکیب وارد تیوب واکنش پی.سی.آر شده و به عنوان الگوی واکنش واقع شوند. برای رفع این احتمال، از هر کلنهای نوترکیب مورد نظر از طریق تماس دادن با خلال دندان استریل یک خط به طول تقریبی ۱ سانتی‌متر روی محیط LB ای جامد حاوی آنتی‌بیوتیک آمپیسیلین کشیده شد و به مدت ۶ ساعت در دمای ۳۷ درجه سانتی‌گراد انکوبه شدند. واکنش پی.سی.آر برای

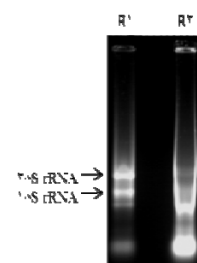


شکل ۳- الکتروفورز محصول پی.سی.آر حاصل از تکثیر cDNA جزئی ژن ترانسفرین، با استفاده از جفت آغازگرهای اختصاصی طراحی شده. باند ۸۳۰ جفت بازی که با اندازهٔ مورد انتظار برای بخشی از ژن ترانسفرین مطابقت داشت، با استفاده از آغازگرهای پیشرو و پسرو تکثیر شد. R1 و R2 دو تکرار مستقل از هم هستند.

Figure 3- Electrophoresis of PCR product Obtained from partial cDNA amplified by using specific primers of transferrin gene. 830 bp fragment in accordance with the expected size of partial transferrin gene amplified by Forward and Reverse primers. R1 and R2 are two independent replications.

## استخراج آر.ان.ای

استخراج آر.ان.ای از نمونه‌های برگی پودر شده با استفاده از روش ترایزول انجام گرفت. کمیت آر.ان.ای استخراج شده با استفاده از دستگاه اسپکتروفوتومتری به طور میانگین  $1/276\text{ }\mu\text{g}/\text{ml}$  برآورد شد. کیفیت آن هم با استفاده از الکتروفورز ژل آگارز بررسی شد (شکل ۲). با توجه به این شکل، تکرار شماره یک آر.ان.ای کیفیت بهتری نشان داد بنابراین برای ساخت cDNA از آن استفاده شد.



شکل ۲- نتیجه‌ی سنجش کیفیت آر.ان.ای استخراج شده. مشاهده‌ی باندهای ۲۸S rRNA و ۱۸S rRNA و عدم وجود حالت اسمری در نمونه‌های آر.ان.ای استخراج شده، نشان‌دهنده‌ی کیفیت مناسب آر.ان.ای است. R1 و R2 دو تکرار مستقل از هم هستند.

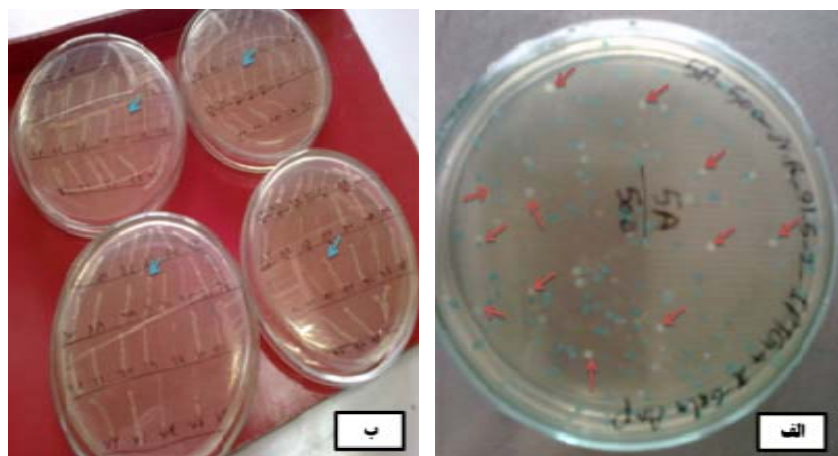
Figure 3- Quality assessment of extracted RNA. Observation of 28S and 18SrRNA fragments and absence of smear band in the RNA samples showed the good quality of extracted RNA. R1 and R2 are two independent replications.

## تکثیر cDNA جزئی ژن Transferrin

بر اساس روش RT-PCR، پس از ساخت cDNA گندم، تکثیر cDNA جزئی ژن ترانسفرین با استفاده از جفت آغازگرهای اختصاصی که براساس تووالی‌های موجود در سایت NCBI با کد دسترنسی U77059.1 طراحی شده بودند، انجام شد و باند ۸۳۰ جفت بازی که با اندازهٔ مورد انتظار برای بخشی از ژن ترانسفرین مطابقت داشت، تکثیر شد (شکل ۳).

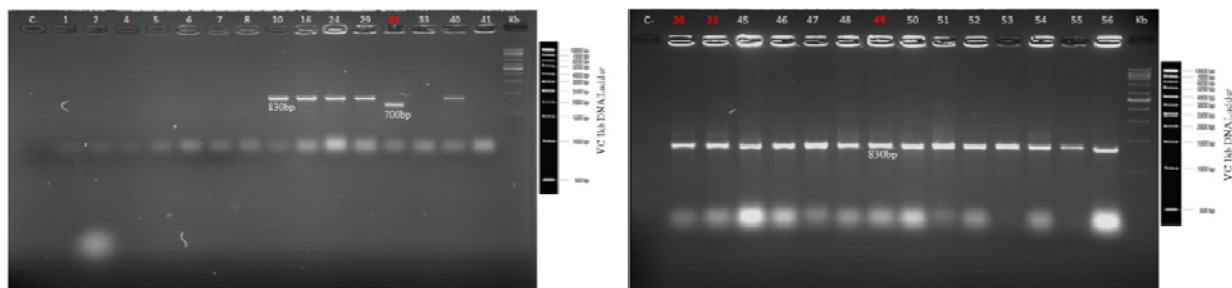
## کلونینگ cDNA تکثیر شده در وکتور pGEM-T

cDNA تکثیر شده از واکنش RT-PCR برای بخشی از ژن ترانسفرین، پس از خالص‌سازی از روی باقی‌مانده محصول پی.سی.آر، در وکتور pGEM-T کلون شد. در این وکتور غیرفعال شدن  $\alpha$ -پتید با وارد شدن دی.ان.ای الحاقی، اجازه شناسایی



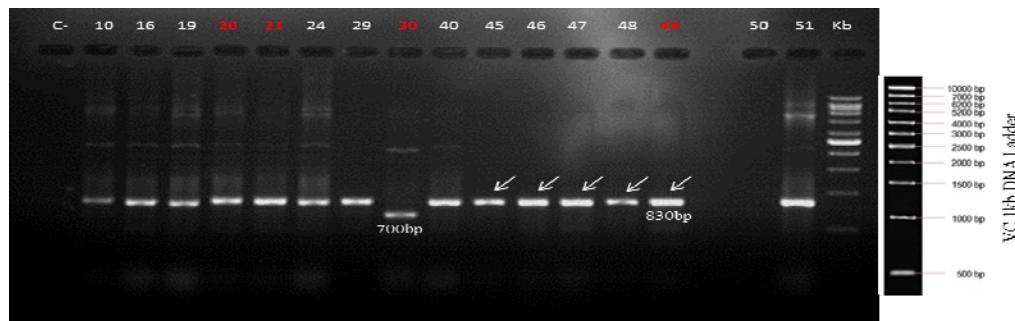
شکل ۴- الف- تصویر باکتری های رشد کرده روی محیط LB ای جامد حاوی آمپیسیلین + IPTG + X-Gal، پس از استحاله آنها با وکتور pGEM-T-Tf. پیکان ها برخی از کلنی های سفید را نشان می دهند. ب- تصویر باکتری های رشد کرده روی محیط LB ای جامد حاوی آمپیسیلین، پس از کشت دوباره کلنی های موجود در شکل ۴ الف با استفاده از خلال دندان استریل. اعداد بالای کلنی های خطی، شماره کلنی مربوطه است. پیکان ها برخی از کلنی های خطی را نشان می دهند.

Figure 4- A: Bacteria image was grown on LB medium containing ampicillin + X-Gal + IPTG after transformation with the pGEM-T-Tf vector. Arrows show some white colonies. B: Bacteria grown on solid LB medium containing ampicillin after colonies re-culture (in 4a figure) using a sterile toothpick. Numbers on the linear colonies is the number of colonies. Arrows show some linear colonies.



شکل ۵- تصویر الکتروفورز محصول پی.سی.آر حاصل از بررسی تعدادی از کلنی های نوترکیب رشد کرده روی محیط انتخابی پس از استحاله با محصول لیگاسیون با استفاده از آغازگر اختصاصی بخشی از ژن ترانسفرین. الف و ب: هر کدام تعدادی از کلنی های نوترکیب که واکنش پی.سی.آر روی آنها صورت گرفته، نشان می دهد. مشاهده باند ۸۳۰ bp حضور فیزیکی قطعه کلون شده در کلنی ها را تایید می کند. Kb: نشانگر اندازه، C: کنترل منفی، اعداد: شماره بیست و نه کلنی از کلنی های رشد کرده در محیط انتخابی، اعداد به رنگ قرمز: شماره کلنی هایی که دی.ان.ای پلاسمید آنها برای توالی یابی ارسال شده است.

Figure 5- Electrophoresis image of PCR products by using specific Primers for the partial transferrin gene on a few of recombinant colonies grown on the selective medium after transformation with Ligation products. A and B respectively show a number of recombinant colonies was carried out PCR reactions on them. Observation the 830 bp fragment is confirmed physical presence of the amplified fragment in the colonies. Kb: size marker, C-: negative control, Numbers: Twenty-nine number from colonies grown on selective medium, Red numbers: Number of colonies that their DNA plasmid was sent for sequencing.



شکل ۶- تصویر الکتروفورز محصول پی.سی.آر حاصل از بررسی تعدادی از پلاسمیدهای نوترکیب استخراج شده، با استفاده از جفت آغازگر اختصاصی بخشی از ژن ترانسفرین. مشاهده باند ۸۳۰ bp حضور فیزیکی قطعه کلون شده در کلنی‌ها را تایید می‌کند. Kb: نشانگر اندازه، C-: کنترل منفی، اعداد: شماره شانزده کلنی از کلنی‌های رشد کرده در محیط انتخابی، فلش‌ها: تکباند واضح کلنی‌های شماره ۴۵ تا ۴۹، اعداد به رنگ قرمز: شماره کلنی‌هایی که دی.ان.ای پلاسمید آنها برای توالی‌بایی ارسال شده است.

Figure 6- Electrophoresis image of PCR products to a number of recombinant plasmid by using specific primers of the transferrin gene. Observation of 830 bp fragment confirmed physical presence of the amplified fragment in the colonies. Kb: size marker, C-: negative control, Numbers: Sixteen colonies grown on selective medium, Arrows: Obvious band of 45 to 49 colonies, Red numbers: Colonies that their DNA plasmid was sent for sequencing.

```

TCGTCTAGCCAGTTGGAAAGTCCCTCTTTATTAAAACCTGTGCGGCCAGACTGGCGGGCTAGGTTACTCACTCTTCTCGGGAGATTGTTATCGCTGGATATCTGGCCTGCCACGAGGTACTCGCGCGTGTCTTCTTCCCTGAAATCTGATGAGCACAGTTACCAATAATTACCATGACCCCTAGTGTCTACATGTCAATTCCACGTTTGATCTTGTCCTTGATTTCCCTTATCAAATCTTACTGGGAGCCTTCGGAGAGAGAATCGGCTGTTATATGGCCAACAGGATACCGTAATTCTGGAAACTGTTTCAGGAAAGGGCTCAAGGAAAGCGGGGCTGCCAGTGTGGGGCTTGTGGGCTCTTCCCCCAGGGAGTAAATGAACCTCCAGGCCTCGAAGAGTAAGCCAGCTATATTCCCATTCATGACCATGACAGCAGGTTCTGICCTAAGCATGCGTCTTCTCGCCGGGCCTCAAACCTGGTGAATTGCTCTCTGGGGGATCAACAGAGCCTGAAATGACAATCTGCTTCTATGCTGGTTTCAGTGTCCAGGGACTGTCCCTCTTCCCCTCATTCICGCAGTGTACTGTCTAAATACACTGCCTGTCCTGCCCCATCACCGTTTCGATCAGGGTAACTGATTCTGTTCTGTTTTTTAA

```

شکل ۷- توالی کلنی شماره ۴۹

Figure 7- No. 49 colony Sequence.

استخراج پلاسمید انتخاب شدند. پس از استخراج پلاسمید، برای تایید نهایی حضور cDNA ژن ترانسفرین در کلون شده، پی.سی.آر دیگری روی دی.ان.ای پلاسمید استخراج شده با استفاده از جفت آغازگر اختصاصی استفاده شده در کلونینگ انجام شد. نتیجه این واکنش نشان داد که قطعه‌ای با اندازه‌ی تقریبی ۸۳۰ جفت باز در این وکتور کلون شده است (شکل ۶). بنابراین، تعداد ۴ عدد از نمونه‌های دی.ان.ای وکتور حاصل برای تعیین توالی به مرکز توالی‌بایی کره جنوبی ارسال شد.

#### نتایج توالی‌بایی cDNA ژن ترانسفرین

برای بررسی توالی cDNA ژن ترانسفرین در ۴ نمونه از پلاسمیدهای استخراج شده از کلنی‌های ارزیابی شده در مراحل قبلی، جهت توالی‌بایی به مرکز توالی‌بایی کره جنوبی ارسال شد. نتایج بدست آمده از توالی‌بایی با بخشی از توالی ثبت شده برای cDNA ژن

تایید کلنی‌های نوترکیب روی این کلنی‌های جدید انجام گرفت (شکل ۴ ب).

#### مراحل تایید کلنی‌ها برای حضور بخشی از ژن ترانسفرین پس از استحاله E. coli با وکتور pGEM-T-Tf

با توجه به اینکه توالی‌بایی قطعه cDNA ژن ترانسفرین نشده برای بخشی از ژن ترانسفرین هنوز مشخص نشده بود، بنابراین تعدادی از کلنی‌های رشد کرده پس از واکنش استحاله با پلاسمید کلون شده در دو مرحله آزمایش شدند. بدین ترتیب که ابتدا کلنی‌های انتخاب شده به روش پی.سی.آر و با استفاده از جفت آغازگر اختصاصی استفاده شده در کلونینگ، مورد ارزیابی قرار گرفتند (شکل ۵). در مرحله دوم، تعدادی از کلنی‌هایی که در پی.سی.آر مثبت بودند (باند مورد نظر را نشان دادند) برای

## جدازای بخشی از cDNA ژن ترانسفرین (TTF) از ...

	1	10	20	30	40	50	60	70	80	90	100	110	120	130	
49F Consensus	1	10	20	30	40	50	60	70	80	90	100	110	120	130	1
u77059.1 Consensus	TCTGMRRTGGCTCTCCCTTACCTCCAGRCGCRCACTGGGCGTCACCHGGCGGCCCTGCTGGCGCTGCCTGGCCCTTCCTGCTGGCGGCCRCGCRCCGCCAAATCAGCGCTCTGTATTTCTGRRAGGCA														
49F u77059.1 Consensus	131 140 150 160 170 180 190 200 210 220 230 240 250 260														
49F u77059.1 Consensus	NCGGAGGAGGCTTCGCGAGGATGGCGCTGGAGGAAATTCGCTTGCGCAAGAGTGTGCGAGGAGGCTTCGCGCTTGCGCTGCGAGGAGGCTTCGCGATGCGTTGTCCTGCGAGGCGTGGAGGCGTGGAGGCGTGGAGGCG														
49F u77059.1 Consensus	261 270 280 290 300 310 320 330 340 350 360 370 380 390														
49F u77059.1 Consensus	391 400 410 420 430 440 450 460 470 480 490 500 510 520														
49F u77059.1 Consensus	507 516 525 534 543 552 561 570 580 590 600 610 620 630 640 650														
49F u77059.1 Consensus	651 660 670 680 690 700 710 720 730 740 750 760 770 780 790														
49F u77059.1 Consensus	891 900 910 920 930 940 950 960 970 980 990 1000 1010 1020 1030 1040														
49F u77059.1 Consensus	1041 1050 1060 1070 1080 1090 1100 1110 1120 1130 1140 1150 1160 1170														
49F u77059.1 Consensus	1171 1180 1190 1200 1210 1220 1230 1240 1250 1260 1270 1280 1290 1300														
49F u77059.1 Consensus	1301 1310 1320 1330 1340 1350 1360 1370 1380 1390 1400 1410 1420 1430														
49F u77059.1 Consensus	1431 1440 1450 1460 1470 1480 1490 1500 1510 1520 1530 1540 1550 1560														
49F u77059.1 Consensus	1561 1570 1580 1590 1600 1610 1620 1630 1640 1650 1660 1670 1680 1690														
49F u77059.1 Consensus	1691 1700 1710 1720 1730 1740 1750 1760 1770 1780 1790 1800 1810 1820														
49F u77059.1 Consensus	1781 1790 1800 1810 1820 1830 1840 1850 1860 1870 1880 1890 1900 1910 1920														
49F u77059.1 Consensus	1921 1930 1940 1950 1960 1970 1980 1990 1990 1990 1990 1990 1990 1990 1990														
49F u77059.1 Consensus	1991 1990 1990 1990 1990 1990 1990 1990 1990 1990 1990 1990 1990 1990 1990														
49F u77059.1 Consensus	2001 2010 2020 2030 2040 2050 2060 2070 2080 2090 2100 2110 2120 2130 2140 2150 2160 2170 2180 2190 2200 2210														
49F u77059.1 Consensus	2181 2190 2200 2210 2220 2230 2240 2250 2260 2270 2280 2290 2300 2310 2320 2330 2340														
49F u77059.1 Consensus	2341 2350 2360 2370 2380 2390 2400 2410 2420 2430 2440 2450 2460 2470														
49F u77059.1 Consensus	2471 2480 2490 2500 2510 2520 2530 2540 2550 2560 2570 2580 2590 2600														
49F u77059.1 Consensus	2601 2610 2620 2630 2640 2650 2660 2670 2680 2690 2700 2710 2720 2730 2740														
49F u77059.1 Consensus	2731 2740 2750 2760 2770 2780 2790 2800 2810 2820 2830 2840 2850 2860 2870 2880 2890 2900 2910 2920 2930 2940														
49F u77059.1 Consensus	2951 2960 3010 3020 3030 3040 3050 3060 3070 3080 3090 3100 3110 3120														
49F u77059.1 Consensus	3121 3130 3140 3150 3160 3170 3180 3190 3200 3210 3220 3230 3240 3250														
49F u77059.1 Consensus	3251 3260 3270 3280 3290 3300 3310 3320 3330 3340 3350 3360 3370 3380														
49F u77059.1 Consensus	3381 3390 3400 3410 3420 3430 3440 3450 3460 3470 3480 3490 3500 3510														
49F u77059.1 Consensus	3521 3530 3540 3550 3560 3570 3580 3590 3600 3610 3620 3630 3640 3650														
49F u77059.1 Consensus	3681 3690 3700 3710 3720 3730 3740 3750 3760 3770 3780 3790 3800 3810 3820 3830 3840 3850 3860 3870 3880 3890 3900														
49F u77059.1 Consensus	3901 3910 3920 3930 3940 3950 3960 3970 3980 3990 3990 4000 4010 4020 4030														
49F u77059.1 Consensus	4031 4040 4050 4060 4070 4080 4090 4100 4110 4120 4130 4140 4150 4160														
49F u77059.1 Consensus	4161 4170 4180 4190 4200 4210 4220 4230 4240 4250 4260 4270 4280 4290 4300														
49F u77059.1 Consensus	4310 4320 4330 4340 4350 4360 4370 4380 4390 4390 4390 4400 4400 4400														
49F u77059.1 Consensus	4410 4420 4430 4440 4450 4460 4470 4480 4490 4490 4490 4490 4490 4490 4490														
49F u77059.1 Consensus	4491 4500 4510 4520 4530 4540 4550 4560 4570 4580 4590 4590 4590 4590 4590														

شکل -۸- بین توالی ژن TTF-1 جلبک *D. salina* (با کد دسترسی U77059.1U) و توالی حاصل از کلثی شماره ۴۹، ۸۴ درصد شباهت نوکلئوتیدی وجود دارد.

Figure 8- There is 84% nucleotide similarity between TTF-1 gene sequence of *D. salina* (with 77059.1U access code) algae and sequence of No. 49 colony.

.(2013)

### نتیجه‌گیری نهایی

با توجه به شباهت سیستم‌های گیاهی و جلبک‌ها، جفت آغازگر مورد استفاده در این پژوهش بر اساس تووالی CDS ژن *Ttf-1* (با کد دسترسی U77059.1) طراحی شد. با استناد به نتیجه این پژوهش و تشابهاتی که بین ژنهای ترانسفرین انسانی و جلبک *D. salina* وجود دارد، می‌توان نتیجه گرفت که تووالی کلني شماره ۴۹ به یک ژن ترانسفرین در گیاه گندم زراعی تعلق دارد. این اولین گزارش از وجود ژن ترانسفرین در سیستم گیاهان عالی است. البته با توجه به اینکه تاکنون هیچ گزارشی مبنی بر وجود ژن ترانسفرین در سیستم گیاهان عالی وجود ندارد، لازم است این آزمایش با استفاده از همین جفت آغازگر و آغازگرهای دیگر این ژن، تکرار و مجدد تایید شود. لازم به ذکر است با اینکه اندازه‌ی باند مربوط به کلني شماره ۴۹ در روی ژل آکارز ۸۳۰ جفت باز بوده ولی فقط ۷۰۹ جفت باز آن قرائت شده و بقیه به علت قطع شدن چارچوب قرائت، تووالی‌بایی نشده است.

با اثبات وجود ژن ترانسفرین در گیاهان، دیگر نیازی به تولید گیاهان تاریخته این ژن نخواهد بود و همچنین پروتئین ترانسفرین گیاهی نسبت به ترانسفرین‌های جانوری که خطر آلودگی به پاتوژن‌های انسانی را دارند، برای کاربردهای پژوهشی این‌تر خواهد بود.

**تشکر و قدردانی:** از معاونت محترم پژوهشی دانشگاه شهید مدنی آذربایجان بخاطر در اختیار قرار دادن امکانات مالی این پژوهش تقدیر و تشکر می‌شود.

### منابع

- Cohen C K, Fox T C, Garvin D F, Kochian L V. 1998. The role of iron-deficiency stress responses in stimulating heavy-metal transport in plants. *Plant Physiology* 116: 1063-1072.
- Connolly E L, Guerinet M L. 2002. Iron stress in plants. *Genome Biology* 3(8): 1024.1-1024.4.
- Dautry-Varsat A, Ciechanover A, Lodish H F. 1983. pH and the recycling of transferrin during receptor-mediated endocytosis. *Cell Biology* 80:2258-2262.
- Fisher M, Gokhman I, Pick U. 1997. A structurally novel transferrin-like protein accumulates in the plasma membrane of the unicellular green alga *Dunaliella salina* grown in high salinities. *The Journal Of Biological Chemistry* 272(3-17): 1565-1570.
- Fisher M, Zamir A, Pick U. 1998. Iron uptake by the halotolerant alga *Dunaliella* is mediated by a plasma membrane transferrin. *The Journal Of Biological Chemistry* 273(28): 17553-17558.
- Jithesh M N, Prashanth S R, Sivaprakash K R, Parida A K. 2006. Antioxidative response mechanisms in halophytes: their role in stress defence. *Journal of Genetics* 85(3): 237-254.
- Katz A, Waridel P, Shevchenko A, Pick U. 2007. Salt-induced changes in the plasma membrane proteome of the halotolerant alga *Dunaliella salina* as revealed by blue native gel electrophoresis and Nano-LC-MS/MS

- analysis. Molecular & Cellular Proteomics 6: 1459-1472.
8. Lamberta L A, Perri H, Halbrooks P J, Masonb A B. 2005. Evolution of the transferrin family: Conservation of residues associated with iron and anion binding. Biochemistry and Molecular Biology 142(2):129-141.
  9. Laskey J, Webb I, Schulman H M, Ponka P. 1988. Evidence that transferrin supports cell proliferation by supplying iron for DNA synthesis. Experimental Cell Research 176(1):87-95.
  10. Litwin C M, Calderwood S B. 1993. Role of iron in regulation of virulence genes. Clinical Microbiology Review 6(2):137-149.
  11. Myouga F, Hosoda C, Umezawa T, Lizumi H, Kuromori T, Motohashi R, Shono Y, Nagata N, Ikeuchi M, Shinozaki K. 2008. A heterocomplex of iron superoxide dismutases defends chloroplast nucleoids against oxidative stress and is essential for chloroplast development in *Arabidopsis*. The Plant Cell 20(11): 3148-3162.
  12. Paz Y, Shimoni E, Weiss M, Pick U, 2007. Effects of iron deficiency on iron binding and internalization into acidic vacuoles in *Dunaliella salina*. Plant Physiolgy 144(3): 1407-1415
  13. Pick U, Katz A, Weiss M, Levine E, Paz K, Ventrella R. 2006. Survival at extreme salinity and iron deficiency. Life Sciences 200-202.
  14. Ponka P, Lok C N. 1999. The transferrin receptor: role in health and disease. International Journal Biochem Cell Biology 31(10):1111-1137.
  15. Qin J, Dong W Y, He K N, Yu Y, Tan G D, Han L, Dong M, Zhang Y Y, Zhang D, Li A Z, Wang Z L. 2010. NaCl salinity-induced changes in water status, ion contents and photosynthetic properties of *Shepherdia argentea* (Pursh) Nutt. Seedlings. Plant Soil Environment 56(7): 325-332.
  16. Schwarz M, Sal-Man N, Zamir A, Pick U. 2003. A transferrin-like protein that does not bind iron is induced by iron deficiency in the alga *Dunaliella salina*. Biochimstry Biophysics Acta 1649(2):190-200.
  17. Turan M A, Hassan A, Elkarim A, Taban N, Taban S. 2010. Effect of salt stress on growth and iron distribution and accumulation in shoot and root of maize plant. African Journal of Agricultural Research 3(7): 584-588.
  18. Zhang D. 2013. Plant seed-derived human transferring: expression, characterization, and applications. OA Biotechnology 2(2):17.



## بهبود کارایی انتقال ژن به روش غیرکشت بافت در گیاهان گندم و

### برنج با استفاده از اگروبکتریوم (*Agrobacterium tumefaciens*)

Optimization of *Agrobacterium*-mediated transformation efficiency in wheat and rice using a non-tissue culture approach

صدیقه نصرمزی، محمدمهری سوهانی\*، محسن ایمانزاده

Sedighe Nasr-Ramzi, Mohammad Mahdi Sohani, Mohsen Imanzade

دانشگاه گیلان، دانشکده علوم کشاورزی، گروه بیوتکنولوژی

Biotechnology Department, College of Agriculture, University of Guilan

\* نویسنده مسئول مکاتبات، پست الکترونیکی: msohani@guilan.ac.ir

(تاریخ دریافت: ۹۲/۴/۶ - تاریخ پذیرش: ۹۲/۱۲/۴)

#### چکیده

گیاهان تاریخته بیشتر بوسیله روش‌های مبتنى بر کشت بافت تولید می‌شوند که به آماده‌سازی نمونه‌های گیاهی و گزینش دقیق ریزنمونه، غربالگری بافت‌های تاریخته و به بازیابی گیاهان فوق تحت شرایط درون شیشه‌ای *in vitro* نیاز است که مشکل و زمان بر است. در این پژوهش تواریزش دو گیاه تک‌لپه و مهم زراعی برنج و گندم با روش به نسبت آسان *in planta* انجام و کارایی انتقال ژن آن‌ها بررسی شد. آزمایش با دو سویه‌ی اگروبکتریوم EHA105 و LBA4404، سه رقم برنج (حسن سرایی، گرده و بینام)، سه رقم گندم (آذر۲، الوند و سردادی)، سه غلظت استوسرینگون ( $M\mu$  صفر، ۱۰۰ و ۲۰۰) و نیز استفاده از شرایط خلاً با استفاده از دستگاه خلاً به صورت فاکتوریل و در قالب طرح کاملاً تصادفی در سه تکرار انجام شد. کارایی انتقال ژن با استفاده از آزمون هیستوشیمیایی GUS و واکنش پی.سی.آر با سه ژن مختلف بررسی شد. بالاترین کارایی در رقم حسن سرایی در گیاه برنج با استفاده از سویه‌ی EHA105 با حضور  $100\mu M$  استوسرینگون همراه با استفاده از خلاً به میزان ۱/۱ درصد بود. همچنین کارایی انتقال ژن رقم آذر۲ و سردادی در بین ارقام گندم در سویه‌ی EHA105 با حضور  $M\mu 200$  درصد بود.

#### واژه‌های کلیدی

ستوسرینگون

آزمون هیستوشیمیایی گاس

*in planta*

انتقال ژن

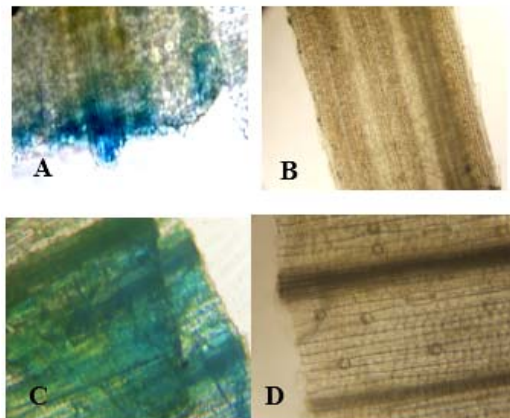
اگروبکتریوم

## مقدمه

در حال حاضر یکی از روش‌های رایج انتقال ژن غلات استفاده از اگروباکتریوم بر پایه روش‌های کشت بافت است (Hiei *et al.* 2008) باید توجه داشت که روش‌های کشت بافت به دلیل اثرهای اپیژنتیکی و نوترکیبی کروموزومی بر سلول‌های میزبان سبب وقوع بالای تنوع سوماکلونال می‌شوند (Zhao *et al.* 2006). علاوه‌بر این، در طی مراحل مختلف به طور معمول گیاه به شرایط *in vitro* منتهی، ریزنمونه از گیاه تهیه و کالوس تولید می‌شود. در نهایت باززایی گیاه کامل لازم و ضروری است که البته باززایی برخی از گیاهان مانند غلات به سختی انجام می‌شود (Mohan. 2001). روش دیگر استفاده از اگروباکتریوم در انتقال ژن گیاهان، روش *in planta* است که بدین منظور از اگروباکتریوم در شرایط *in vivo* برای تلقیح بذور در حال جوانه‌زنی استفاده می‌شود و نیازی به کشت سلول‌ها و بافت‌های گیاهی وجود ندارد. با استفاده از روش *in planta* تنوع سوماکلونال به حداقل رسیده و به طور قابل توجهی در زمان، هزینه‌ها و مراحل طولانی کشت بافت صرفه‌جویی می‌شود (Supartana *et al.* 2006). این روش برای گیاهان تک لپه مانند برنج و گندم که از دیدگاه کشت بافت و باززایی سرسخت هستند بسیار مفید بوده و می‌تواند جایگزین

برای اولین بار انتقال ژن پایدار برنج تیپ ژاپونیکا به واسطه اگروباکتریوم به سلول کالوس در سال ۱۹۹۰ گزارش داده شد (Raineri *et al.* 1990). سویه‌ی استفاده شده در این پژوهش A281، حاوی پلاسمید با بیماری‌زاکی قوی به نام pTi B0542 بود. گندم نیز همانند برنج یکی از محصولات مهم زراعی است که از جنبه‌های مختلفی به هم شبیه هستند اما انتقال ژن گندم دیرتر از برنج شروع شده است (Wu *et al.* 2003). اولین انتقال ژن گندم به واسطه اگروباکتریوم از طریق سیستم کشت بافت و کشت جنبه نابالغ را چنگ و همکارانش (1997) گزارش کردند.

انتقال ژن به واسطه اگروباکتریوم در مقایسه با روش‌های مکانیکی بمباران ذرات دارای مزیت‌های بسیاری است که از جمله آن‌ها انتقال یک قطعه دی.ان.ای با توالی‌های مشخص در دو انتهای، تعداد نسخه کم از تراژن و نیز امکان انتقال قطعات بزرگ دی.ان.ای است. موفقیت این روش به نوع و سن بافت گیاهی برای آلدگی، نوع ناقل استفاده شده برای انتقال ژن، سویه‌ی اگروباکتریوم، مراحل و جزئیات عمل آلدگی به خصوص استفاده از ترکیب فنولی استوسرینگون وابسته است (Dai *et al.* 2001).



شکل ۱- بیان ژن بتاگلوکورونیداز به صورت ظهور رنگ آبی در بافت برگ گیاهان برنج و گندم. ظهور رنگ آبی در نمونه ترانسفورم برنج رقم حسن سرایی با سویه EHA105 در غلظت  $100\text{ }\mu\text{M}$  استوسرینگون با استفاده از خلا (A) و نمونه شاهد از همین رقم (B). ظهور رنگ آبی در نمونه ترانسفورم گندم رقم آذر ۲ و سویه EHA105 در غلظت  $200\text{ }\mu\text{M}$  استوسرینگون با استفاده از خلا (C) و نمونه شاهد از همین رقم (D).

Figure 1 – Transgenic (left) and nontransgenic (right) leaf of rice (top) and wheat (below) expressing GUS. Formation of blue color in Hasan saraie rice cultivar, which transformation was performed by means of vacuum infiltration of EHA105 strain plus  $100\text{ }\mu\text{M}$  Acetosyringone (A) and control sample from the same cultivar (B). The blue color was formed in Azar 2 wheat cultivar, which transformation was performed by vacuum infiltration plus  $200\text{ }\mu\text{M}$  Acetosyringone (C) and control sample from the same cultivar (D).

۱/۵ درصد ضد عفونی شدند. بذور به مدت دو روز در تاریکی و دمای ۲۰ درجه سانتی گراد درون ظروف پتری قرار گرفتند تا جوانه بزند و سفیدی حاصل از رشد ریشه چه در آنها ظاهر شود. سویه های باکتری بر اساس روش گلوین طی سه مرحله و Gelvin. در سه محیط به صورت جداگانه کشت داده شدند (2006).

جهت تلقيق بذور با اگروبакتریوم، ناحیه جنبی بذر جوانه زده با سوزن (به قطر ۰/۵ میلی متر) آغشته به هر یک از سویه های اگروبакتریوم تا عمق حدود یک میلی متری سوراخ شد (Imanzadeh, 1391). سپس نیمی از بذور تلقيق شده، به طور جداگانه تحت شرایط خلا، با استفاده از دستگاه خلا (Eppendorf, Concentrator plus) در دمای محیط و تا زمان جوش آمدن محلول درون محیط کشت القایی قرار گرفتند. بذور تلقيق شده برنج در اتفاق رشد با دمای ۲۳ درجه سانتی گراد، در شرایط تاریکی، به مدت ۹ روز نگهداری شدند تا جوانه بزند که این زمان برای بذور تلقيق شده گندم ۳ روز بود. سپس به منظور حذف باکتری، بذور تلقيق شده با آنتی بیوتیک سفو تاکسیم (Bechtold et al. 1993) به مدت یک ساعت تیمار شدند (1000 گیاهچه های حاصل وارد گلدان حاوی خاک مناسب شده و به اتفاق کشت با دمای ۲۸ درجه سانتی گراد منتقل شدند.

واکنش پی.اسی. آر: استخراج دی.ان.ای از گیاهچه ها با روش CTAB انجام شد (Murray. 1980). توالی های آغازگرها بر اساس بخش T-DNA ناقل شامل آغازگر رفتی ۵'-GAA TCC ۵'-TTG CGC GCT ۵'-TGT TGC CGG TCT ۳'-ATA TTT TGT ۳'-CCG TCC CAA GCA GTT ACA A-۳' ۵'-GGT CAC AAC CGA GAT GTC C-۳' ۵'-GAT GTT GGC GAC CTC آغازگر رفتی GUS-Plus ۵'-GTG CTT GAC ATT GGG GAG و برگشتی ۵'-ATT TGC ۵'-GAA CAT AGC و برگشتی ۵'-GAA CAT AGC مربوط به ژن مقاومت به اسپکتینومایسین جهت بررسی گیاهان ترانسفورم استفاده شد. آغازگرها توالی مذکور با استفاده از نرم افزار Primer3 (<http://frodo.wi.mit.edu>)

روش کشت بافت شود. این روش در غلاتی مانند برنج Supartana et al. 2005; Lin et al. 2009) گندم (Janice et al. 2009; He et al. 2010; Razzaq et al. 2011) و ذرت (Chumakov et al. 2006) گزارش شده است. هدف از این پژوهش بهینه سازی انتقال ژن دو گیاه تک لپه برنج و گندم با واسطه باکتری A. tumefaciens به روش غیرکشت بافت و عوامل دخیل است. گیاهان ترانسفورم شده با استفاده از دو آزمون رنگ آمیزی GUS برای ارزیابی تظاهر ژن بتا گلوکورونیداز و واکنش پی.اسی. آر با استفاده از ۳ جفت آغازگر در داخل ناحیه T-DNA از پلاسمید گیاهی pCAMBIA1105.IR تایید شدند.

## مواد و روش ها

مواد گیاهی، سویه های باکتری، پلاسمید و مواد مورد استفاده: در این پژوهش سه رقم محلی برنج حسن سرایی، گرده و بینام از موسسه تحقیقات برنج کشور در رشت و سه رقم گندم دیم آذر، الوند و سرداری از موسسه تحقیقات ثبت و گواهی بذر و نهال کردستان، سندج، تهیه شدند. دو سویه اگروبакتریوم EHA105 و LBA4404 حامل پلاسمید گیاهی pCAMBIA1105.IR (کامبیا، کانبرا، استرالیا، AF354045) جهت انتقال ژن استفاده شد. این ناقل حاوی ژن مقاومت به هایگرومایسین (hpt)، ژن بتا گلوکورونیداز (GUS-Plus) با ایتررون چالکون سیتیاز در CaMV35S در نزدیک پایانه ۵ است و حاوی پروموتور قوی Rif (Rifampicin) و مواد شیمیایی ۴'-Hydroxy-3',5'-dimethoxyacetophenone (Gluc) (X-5-bromo-4-chloro-3-indolyl b-D-glucuronide) و (استوسیرینگون، AS) از شرکت سیگما<sup>۱</sup>، اسپکتینومایسین<sup>۲</sup> (Spec) و سفو تاکسیم<sup>۳</sup> (Cef) از شرکت دارو پی خش خریداری شدند.

انتقال ژن به بذور با اگروبакتریوم: بدین منظور، ابتدا بذور برنج و گندم جداگانه با استفاده از اتانول ۹۰ درصد و هیپوکلریت سدیم

- 1- Cambia
- 2- Chalcone synthases
- 3- Rifampicin
- 4- Sigma
- 5- Spectinomycin
- 6- Cefotaxime

مورد بررسی، ابتدا تست هیستوشیمیایی گاس روی نمونه‌ها انجام شد. بر این اساس درصد بالایی از نمونه‌های غیر تاریخته حذف و بقیه جهت واکنش پی.سی. آر آزمون شدند. در ادامه نیز جهت کاهش حجم نمونه‌ها، هر کدام از نمونه‌ها که در آزمون پی.سی. آر یک ژن فاقد باند بودند کنار گذاشته شدند. فقط گیاهانی که نتیجه هر دو آزمون هیستوشیمیایی گاس و واکنش پی.سی. آر آنها با هر سه ژن مورد بررسی مثبت بود، تاریخته تلقی شدند.

از آن‌جا که ژن مقاومت به آنتی‌بیوتیک اسپکتینومایسین خارج از ناحیه T-DNA پلاسمید گیاهی IR. pCAMBIA1105. قرار دارد بنابراین ژن فوق در واکنش پی.سی. آر گیاهان ترانسفورم شده واقعی تکثیر نمی‌شود. بررسی تکثیر این ژن کمک می‌کند که بتوان تشخیص داد آیا باندهای حاصل از پی.سی. آر سایر ژن‌های وکتور مانند *Hyg* و *GUS*، حاصل از آلودگی‌های باکتریایی گیاهچه‌ها بوده است یا خیر. در این آزمایش حذف کامل اگروباکتریوم بعد از ترانسفورماسیون به طریق دیگر نیز بررسی شد. پس از تلیچ بآگروباکتریوم و تیمار گیاهچه‌ها با آنتی‌بیوتیک *Cef*, قطعات برگی از گیاهان *T\_0* تهیه و در ۱ میلی‌لیتر آب استریل در داخل تیوب‌های ۱/۵ میلی‌لیتری آسیاب شدند. سپس ۱۰۰ µl از سوسپانسیون فوق در محیط کشت LB حاوی آنتی‌بیوتیک *Spec* به مدت سه روز کشت شد. فقدان کلونی بر روی ظروف پتری نشان دهنده عاری بودن گیاهان مربوط به آلودگی باکتریایی بوده است.

آزمون گاس از نمونه‌های برگی و بافت‌ها انجام شد و با استفاده از میکروسکوپ برای بیان ژن بتاگلوکورونیداز (*GUS*) بررسی شدند (شکل ۱). این ژن گزارشگر را جایگاه ژنی *UidA* رمز *Yu et al. 2007* می‌کند و بیشترین کاربرد را در گیاهان تاریخته دارد (Jefferson et al., 1987). آنزیم بتاگلوکورونیداز، محصول این ژن است که گلوکورونیدها را تجزیه و منجر به ایجاد یک محصول رنگی می‌شود. در اثر این واکنش رنگ آبی بین سلول‌های ترانسفورم تولید می‌شود (*S. aureus* sp. *GUS-Plus* pCAMBIA1105.1R استفاده شد که حاوی ژن *GUS-Plus* با منشأ *Staphylococcus* sp. است و حساسیت بیشتری نسبت به ژن *UidA* از *E. coli* دارد. این ژن هم‌چنین حاوی یک ایتررون است که مانع بیان آن در باکتری شده و از آلودگی باکتریایی

طراحی شدند. واکنش‌های پی.سی. آر شامل ۱ میکرولیتر دی.ان.ای الکو، آغازگرهای رفتی و برگشتی (pmoles ۱۰) هر کدام ۱ میکرولیتر، ۱/۵ mM dNTPs (۰.۵ mM MgCl<sub>2</sub>), ۰/۳ mM Taq polymerase در حجم نهایی ۲۵ میکرولیتر استفاده و محصول پی.سی. آر روی ژل آگارز ۱ درصد بررسی شد.

رنگ‌آمیزی برای ارزیابی تظاهر ژن بتاگلوکورونیداز: آزمایش هیستوشیمیایی گاس برای نمونه‌های ترانسفورم شده انجام شد. اثر آنزیم گاس روی سوبسترای مربوط (X-gluc) سبب تبدیل فرآورده واکنش به رنگ آبی در نمونه‌های تاریخته می‌شود. بر این اساس ابتدا قطعات برگی به طول ۱ سانتی‌متر از گیاهچه‌ها جدا شد و سپس درون تیوب‌های حاوی ۱ mL از محلول گاس (۰/۵ mM NaPO<sub>4</sub>, ۰/۹ mL آب استریل, ۱ mL بافر فسفات (x-gluc ۲ mM tween ۲۰ میکرولیتر و ۲۰۰ میکرولیتر از بافر

وارد شدند. تیوب‌ها را سه بار و هر بار به مدت ۵ دقیقه تحت

شرایط خلاً با استفاده از دستگاه خلاً قرار داده تا سطح برگ،

محلول را به طور کامل جذب کرده و تیره رنگ شود. این کار هر

بار تا جوش آمدن محلول داخل تیوب ادامه می‌یابد. تیوب‌ها را به

مدت ۲۴ ساعت در داخل انکوباتور با دمای ۳۷ درجه سانتی‌گراد

قرار داده و بعد از گذشت این مدت محلول گاس حذف و شست

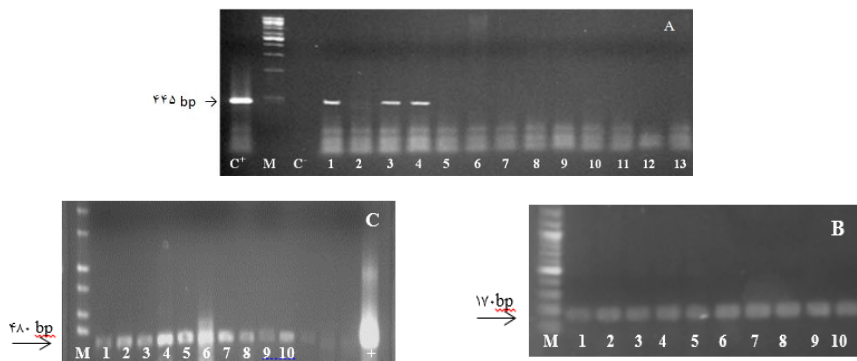
و شوی نمونه‌ها با استفاده از اتانول ۱۰۰ درصد انجام شد. در

نهایت نمونه‌ها برای تولید رنگ آبی بررسی شدند (Bartels, 2011).

تجزیه و تحلیل آماری داده‌ها: آزمایش با دو سویه‌ی اگروباکتریوم (EHA105 و LBA4404) حاوی پلاسمید pCAMBIA1105.1R به مدت ۲۰۰، ۱۰۰، ۰ µM AS غلظت سه رقم برنج (حسن سرایی، گرده و بینام)، سه رقم گندم (آذر، ۲، الوند و سرداری) و نیز استفاده از شرایط خلاً استفاده از دستگاه خلاً به صورت فاکتوریل و در قالب طرح کاملاً تصادفی در سه تکرار انجام و داده‌های آزمایش با استفاده از نسخه ۹ نرم‌افزار SAS تجزیه و تحلیل شدند.

## نتایج و بحث

به منظور تجزیه و تحلیل و تأیید تاریخته بودن نمونه‌های گیاهی



شکل ۲- آزمون پی.سی.آر گیاهچه‌های ترانسفورم شده. تکثیر باند ۴۴۵bp از ژن *GUS-Plus*. گیاهچه‌های ترانسفورم شده در تیمار سویه EHA105 در غلظت ۲۰۰μM استوسیرینگون گندم رقم آذر ۲ همراه با اعمال خلاً (A). ترانسفورماسیون با استفاده از سویه EHA105 در غلظت ۱۰۰μM استوسیرینگون همراه با اعمال خلاً در برنج رقم حسن سرایی و تکثیر باند ۱۷۰bp از ترمیناتور *nos* (B)، و تکثیر باند ۴۸۰bp از ژن مقاومت به هایگرومایسین (C)، M مارکر، + کنترل مثبت، - کنترل منفی و شماره‌ها مربوط به نمونه‌های گیاهی مورد آزمون هستند.

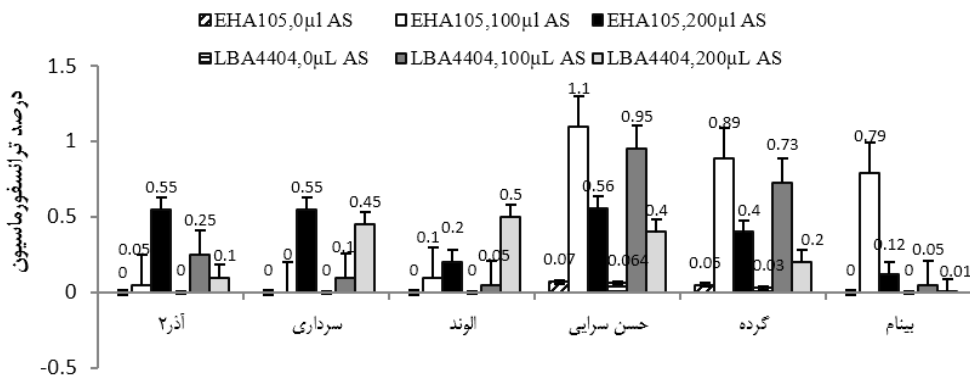
Figure 2 – PCR analysis of transformed wheat and rice seedlings. Amplification of a 445 bp from *GUS-Plus* gene in wheat transformed with EHA105 strain plus 200 μM Acetosyringone in Azar 2 cultivar (A); Amplification of a 170 bp from the *nos* terminator gene (B) and a 480 bp from Hygromycin resistance gene (C) in Hasan saraie rice cultivar, respectively transformed with EHA105 strain plus 100 μM Acetosyringone. M. Marker, + or C: positive control samples and numbers are correspond with the individual plants that were tested.

در صد نشان داد. سویه‌ی LBA4404 نیز دارای کارایی نسبتاً متوسطی بود. این کارایی در غلظت ۱۰۰μM از AS به ترتیب در ارقام حسن سرایی، گرده و بینام معادل ۰/۹۵، ۰/۷۳ و ۰/۰۵ در صد بود. کارایی انتقال ژن در غلظت ۲۰۰μM از AS در بین سه رقم برنج نسبت به غلظت ۱۰۰μM از AS کمتر بود به طوری که این کارایی با سویه‌ی EHA105 در رقم حسن سرایی ۰/۵۶، در رقم گرده ۰/۴ و در رقم بینام ۰/۱۲ در صد بود. همچنین قابل ذکر است که این کارایی همراه با سویه‌ی LBA4404 در رقم حسن سرایی ۰/۴، در رقم گرده ۰/۲ و در رقم بینام معادل ۰/۰۱ در صد بود. قابل ذکر است که کمترین کارایی انتقال ژن در غلظت ۱۰۰μM از AS بدست آمد. این کارایی با سویه‌ی EHA105 در رقم حسن سرایی ۰/۰۷، در رقم گرده ۰/۰۵ و در رقم بینام ۰ در صد بود. همچنین کارایی با سویه‌ی LBA4404 در رقم حسن سرایی ۰/۰۶، در رقم گرده ۰/۰۳ و در رقم بینام معادل ۰ در صد بود (شکل ۳).

در بین ارقام گندم مورد استفاده در این پژوهش سویه‌ی EHA105 از اگروباکتریوم همراه با غلظت ۲۰۰μM از AS بیشترین کارایی انتقال ژن داشت (۵۵٪ در صد) را داشت که در هر دو رقم آذر ۲ و سرداری مشاهده شد (شکل ۳). این مقدار در رقم

جلوگیری می‌کند. بر اساس آغازگرهای استفاده و طراحی شده تکثیر ژن *GUS-Plus* یک قطعه به طول ۴۴۵bp (شکل ۲، A)، ژن مقاومت به هایگرومایسین یک قطعه به طول ۴۸۰bp (شکل ۲، C) و تکثیر پایانبر *nos* یک قطعه به طول ۱۷۰bp (شکل ۲، B) را تولید می‌کند. نتایج پی.سی.آر با استفاده از ژل آگاراز بررسی شد و نمونه‌هایی که باندهای مورد نظر را تکثیر کرده‌اند، پی.سی.آر مثبت و گیاهان تاریخته تلقی شدند.

بررسی اثرهای متقابل سطوح AS، باکتری و رقم بر کارایی انتقال ژن با استفاده از آزمون‌های گاس و پی.سی.آر نشان داد که در بین ارقام برنج مورد استفاده در این پژوهش سویه‌ی EHA105 از اگروباکتریوم بیشترین کارایی را دارد. بیشترین کارایی انتقال ژن ارقام برنج مربوط به رقم محلی حسن سرایی و استفاده از سویه‌ی EHA105 در غلظت ۱۰۰μM از AS به میزان ۱/۱ در صد بوده است. بیشترین کارایی انتقال ژن در رقم برنج گرده نیز دوباره همراه با سویه‌ی EHA105 در غلظت ۱۰۰μM از AS به میزان ۰/۸۹ در صد بدست آمد. رقم بینام برنج نسبت به دو رقم دیگر کارایی انتقال ژن کمتری داشت اما بیشترین مقدار کارایی انتقال ژن با سویه‌ی EHA105 در غلظت ۱۰۰μM از AS به میزان ۰/۷۹



شکل ۳- کارایی انتقال ژن سه رقم برنج (حسن سرایی، گرده و بنیام) و سه رقم گندم (آذر ۲، سرداری و الوند) همراه با اثرات متقابل سه غلظت استوکسیرینگون (۰، ۱۰۰ و ۲۰۰  $\mu\text{M}$ ) و دو سویه‌ی باکتری (EHA105 و LBA4404).

Figure 3 - Transformation efficiency of three cultivars of rice (Hasan saraie, Gerdeh and Binam) and three cultivars of wheat (Azar 2, Sardari and Alvand). The interaction effects of three concentrations of acetosyringone (0, 100 and 200  $\mu\text{M}$ ) and two strains of *Agrobacterium* (EHA105 and LBA4404) are presented in this figure.

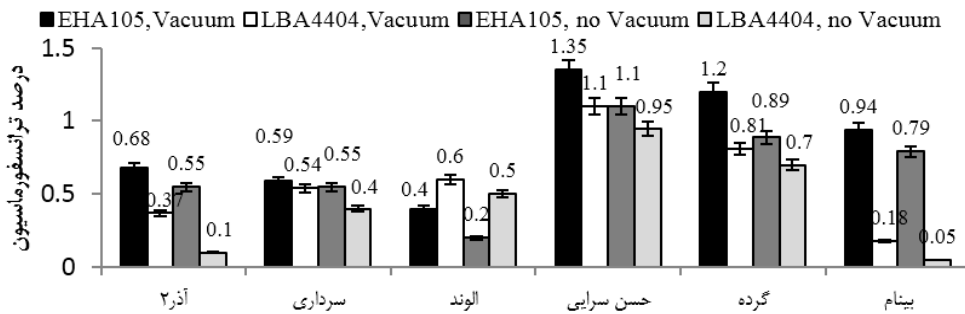
مورد استفاده در این پژوهش منجر به کاهش کارایی انتقال ژن نسبت به غلظت ۱۰۰  $\mu\text{M}$  شده است که احتمال دارد به دلیل اثر سمیت و ممانعت کنندگی AS در غلظت‌های بیشتر باشد (Saharan *et al.* 2004). اما در مورد ارقام گندم استفاده شده در این پژوهش غلظت AS ۲۰۰  $\mu\text{M}$  بیشترین کارایی را داشت. اگرچه ترکیبات القاگر مختلفی وجود دارند اما AS بیشتر استعمال می‌شود زیرا در غلظت‌های پایین نسبت به سایر ترکیبات القاگر دارای خاصیت القاکنندگی بیشتری است و از نظر تجاری در دسترس و قیمت مناسب‌تری دارد (Dye *et al.* 1997).

استفاده از ترکیب شیمیایی القاگر برای القا ژن‌های بیماری‌زا در بسیاری از دستورالعمل‌های مورد استفاده برای انتقال ژن غلات توصیه شده است. گیاهان تک لپه یا بهیچ عنوان AS تولید نکرده و یا آن را در مقادیر بسیار کم تولید می‌کنند که برای القای ژن‌های بیماری‌زا اگروباکتریوم کافی نیست بدین منظور از این ترکیب فنولی در محیط کشت القا ژن‌های بیماری‌زا استفاده شد. ویکز همکاران (۲۰۰۸) در مورد توسعه روش انتقال ژن *in planta* از غلظت AS ۲۰۰  $\mu\text{M}$  استفاده کردند. هی و همکاران (۲۰۱۰) تا غلظت ۴۰۰  $\mu\text{M}$  AS را در گندم قابل تحمل گزارش و مشاهده کردند که این غلظت منجر به افزایش بیان ژن بتاگلوکورونیداز شده است. غلظت‌های بین ۵۰  $\mu\text{M}$  تا ۵۰۰  $\mu\text{M}$  در مورد انتقال ژن گیاه برنج گزارش شده است، اما غلظت‌های بیشتر از ۵۰۰  $\mu\text{M}$

گندم الوند معادل ۰/۲ درصد بود. کارایی انتقال ژن مربوط به سویه‌ی ۱۰۰  $\mu\text{M}$  از AS در سه رقم آذر ۲، سرداری و الوند به ترتیب ۰/۱، ۰/۴۵ و ۰/۵ درصد بود است. کارایی انتقال ژن با سویه‌ی ۲۰۰  $\mu\text{M}$  از AS نیز در سه رقم آذر ۲، سرداری و الوند به ترتیب ۰/۰۵ و ۰/۱ درصد بود. این کارایی با سویه‌ی ۲۰۰  $\mu\text{M}$  از AS نیز در سه رقم آذر ۲، سرداری و الوند به ترتیب به میزان ۰/۰۵ و ۰/۰۵ درصد بود.

بر اساس نتایج بدست آمده سویه‌ی EHA105 و رقم حسن سرایی برنج همراه با غلظت ۱۰۰  $\mu\text{M}$  از AS بیشترین کارایی انتقال ژن (۱/۱ درصد) و نیز ارقام آذر ۲ و سرداری در گیاه گندم با سویه‌ی EHA105 و با حضور AS ۲۰۰  $\mu\text{M}$  بیشترین کارایی انتقال ژن (۰/۵۵ درصد) را داشته است. میزان انتقال ژن با سویه مذکور در رقم الوند معنی‌دار نشده و کمتر از سویه‌ی LBA4404 بوده است (۰/۲ درصد). به عبارت دیگر، سویه در رقم الوند گندم کارایی کمتری نسبت به کارایی این سویه در سایر ارقام داشته است.

در مورد غلظت‌های مختلف AS نیز مشاهده شد که عدم استفاده از این ماده منجر به کاهش کارایی انتقال ژن شده است که نشان دهنده اثر مثبت این ترکیب فنولیک در این دو گیاه است (Zhao *et al.* 2001). افزایش غلظت AS تا غلظت ۲۰۰  $\mu\text{M}$  در ارقام برنج



شکل ۴- کارایی انتقال ژن اثرات متقابل سویه های باکتری (EHA105 و LBA4404) و شرایط خلاً همراه با سه رقم برنج (حسن سرایی، گرده و بینام) و سه رقم گندم (آذر ۲، سرداری و الوند).

Figure 4 - Transformation efficiency of three cultivars of rice (Hasan saraiy, Gordeh and Binam) and three cultivars of wheat (Azar 2, Sardary and Alvand). The interaction effects of bacterial strains (EHA105 and LBA4404) and vacuum are presented in this figure.

mekanisem های گیاهی هدف بالقوه برای سرکوب باکتری هستند که از جمله آنها سیگنال دهنده کلسیم است (Aslam *et al.* 2008). بر این اساس میزان سرکوب ژن های دفاعی در رقم حسن سرایی برنج و آذر و سرداری گندم احتمال دارد بیشتر از سایر ارقام بوده و میزان بیان آنها به طور معنی دار کاهش یافته است. احتمال دیگر تأثیر در فعل شدن این ژن ها در ارقام مذکور بوده است زیرا زمان و شدت فعل شدن ژن های مقاومت اثر زیادی در واکنش سازگار یا ناسازگاری دارد (Kiedrowski *et al.* 1992) و بنابراین شاید علت موفقیت برخی سویه ها در بهره برداری بهتر از ماشین سلول میزبان در برخی ارقام شده است. از طرفی ارقام برنج و گندم استفاده شده در این آزمون "ارقام محلی" هستند. این قبیل ژنوتیپ ها برخلاف ارقام "اصلاح شده" دارای تنوع ژنتیک داخل جمعیت و بین جمعیت بالایی هستند و واکنش های مقاومت در مقابل پاتوژن را می توان از آنها انتظار داشت. شاید استفاده از ارقام اصلاح شده در مقایسه با ارقام محلی، به سبب تنوع ژنتیک به طور نسبی کمتر، بهتر می توانست کنش متقابل ژنوتیپ های گیاه و سویه های باکتری را آشکار کند.

بررسی کارایی انتقال ژن در شرایط خلاً و اثرهای متقابل سویه های باکتری (EHA105 و LBA4404) و ارقام برنج و سه رقم گندم استفاده شده نشان داد که ایجاد کوتاه مدت شرایط خلاً منجر به افزایش کارایی انتقال ژن می شود به طوری که کارایی انتقال ژن همراه با سویه EHA105 با استفاده از شرایط خلاً و

AS بر روی رشد باکتری اثر سمیت و ممانعت کنندگی دارد (Saharan *et al.* 2004). در زمینه بهبود انتقال ژن ارقام مختلف برنج، سویه EHA105 μM AS<sup>100</sup> و غلظت EHA105 معرفی شده است (Hiei *et al.* 2008). هر دو سویه EHA105 و LBA4404 در گیاهان و آزمایش های مختلف سویه های مناسب برای انتقال ژن غلات معرفی شده اند. در این آزمایش و در ارتباط با ارقام برنج و گندم مورد استفاده کارایی انتقال ژن سویه EHA105 به طور معنی داری بالاتر از سویه LBA4404 بوده است. سویه EHA105 به دلیل داشتن ژن های اضافی بیماری زا نسبت به سویه LBA4404، فوق بیماری زا با دامنه میزبانی وسیع است. در انتقال ژن در بیشتر مواقع از سویه های با قدرت بیماری زا بالا و سرعت رشد سریع استفاده می شود (Wang. 2006).

بر اساس پژوهش های انجام شده در این آزمایش، سویه های مختلف باکتری دارای شدت و درجه بیماری زایی متفاوتی در ارقام مختلف گیاهان برنج و گندم بوده اند. باکتری ها تکامل یافته اند تا با به کار گیری انواع فاکتورها شامل مواد سمی، آنزیم ها، هورمون ها، پلی ساکاریدها و مهم ترین آنها افکتورهای پروتئینی نوع سوم ایجاد بیماری کنند. بسیاری از این فاکتورها برای سرکوب ژن های مقاومت گیاه و آزادسازی مواد غذایی به کار گرفته می شوند. این شرایط فیزیولوژیک منشأ استقرار و تکثیر سلول های باکتری است (Jones and Dangle. 2001).

Lin *et al.*, لوپیا (Xu *et al.* 2004) و برنج (Liu *et al.* 2005) (Xu *et al.* 2004) نیز گزارش شده است.

با توجه به نتایج حاصل از تجزیه‌های آماری در نهایت مشخص شد که رقم حسن سرایی در گیاه برنج و اگروباکتریوم سویه‌ی EHA105، با حضور  $100\mu\text{M}$  AS همراه با استفاده از شرایط خلاً (به میزان ۱/۱ درصد) دارای برتری در کارایی انتقال ژن نسبت به سایر ارقام برنج و گندم بود. ارقام گیاه برنج مورد استفاده در این پژوهش نسبت به ارقام گندم کارایی انتقال ژن بالاتری نسبت به ارقام گیاهان گندم داشتند که دلیل آن می‌تواند تفاوت‌های عمدۀ ژنتیک میان این گیاهان باشد. قابل ذکر است که در بین ارقام گندم مورد استفاده در این پژوهش، ارقام آذر ۲ و سرداری در سویه‌ی EHA105 از اگروباکتریوم، با حضور  $200\mu\text{M}$  AS همراه با استفاده از شرایط خلاً کارایی معنی‌دار (به میزان ۰/۵۵ درصد) داشتند. با استفاده از نتایج بدست آمده از این پژوهش می‌توان کاربرد موفقیت‌آمیز روش انتقال ژن *in planta* با واسطه *Agrobacterium tumefaciens* را در انتقال ژن ارقام مختلف بومی برنج و نیز ارقام مختلف گندم گزارش داد.

لازم به توضیح است که گیاهان حاصل از انتقال ژن در این پژوهش باید سایر آزمون‌های مولکولی را بگذرانند تا تاریخته بودن آن‌ها تایید شود بنابراین این گیاهان ترانسفورم شده هستند تا تاریخته. در ضمن لازم به توضیح است که خانم صدیقه نصرمنزی و آقای محسن ایمان‌زاده سهم مساوی در انجام آزمایش داشته‌اند.

### منابع

- Aslam SN, Newman MA, Erbs G, Morrissey KL, Chinchilla D, Boller T, Tandrup Jensen T, De Castro C, Ierano T, Molinaro A, Jackson RW, Knight MR. 2008. Bacterial polysaccharides suppress induced innate immunity by calcium chelation. *Current Biology* 18:1078–1083.
- Bartels MS. 2011. Population genetics of cell-to-cell movement of wheat streak mosaic virus. University of Nebraska-Lincoln.
- Bechtold N, Ellis J, Pelletier G. 1993. *In planta* *Agrobacterium* mediated gene transfer by infiltration of adult *Arabidopsis thaliana* plants. C. R. Academy of Science. Paris Life Science 316: 1194-1199.
- Cheng M, Fry JE, Pang S, Zhou H, Hironaka CM, Duncan DR, Conner TW, Wan Y. 1997. Genetic transformation of wheat mediated by *Agrobacterium tumefaciens*. *Plant Physiology* 115: 971–980.
- Chumakov MI, Rozhok NA, Vlikov VA, Tyrnov VS, Volokhina IV. 2006. *Agrobacterium-mediated in planta* transformation of maize via pistil filaments. *Russian Journal of Genetic* 42: 893-897.
- Dai S, Zheng P, Marmey P, Zhang S, Tian W, Chen S, Beachy R, Fauquet C. 2001. Comparative analysis of transgenic rice plants obtained by *Agrobacterium* mediated transformation and particle bombardment. *Molecular Breeding* 7: 25-33.
- Dangl JL, Jones JDG. 2000. Plant pathogens and integrated defence responses to infection. *Nature* 411: 826–833.
- Dye F, Berthelot K, Griffon B, Delay D, Delmotte FM. 1997. Alkysyringamides, new inducers of *Agrobacterium tumefaciens vir* gene induction expression. *Proceedings of the National Academy of Sciences of the United States of America* 83: 379-383.

9. Gelvin SB. 2006. *Agrobacterium* virulence gene induction. Molecular Biology 343: 77-84.
10. He Y, Jones HD, Chen S, Chen XM, Wang DW, Li KX, Wang DS, Xia LQ. 2010. Agrobacterium-mediated transformation of durum wheat (*Triticum turgidum* L. var. *durum* cv Stewart) with improved efficiency. Journal of Experiment Botanic 61: 1567-1581.
11. Hiei Y, Komari T. 2008. Agrobacterium-mediated transformation of rice using immature embryo or calli induced from mature seed. Nature. 3: 824-834.
12. Imanzade M. 1391. Possibility of *Agrobacterium* - mediated transformation of Iranian wheat (*Triticum aestivum* L.) using *in planta* approach. M.Sc. Thesis, Guilan University, Rasht, Iran. (In Farsi)
13. Janice M, Zale S, Agarwal S, Loar CM, Steber. 2009. Evidence for stable transformation of wheat by floral dip in *Agrobacterium tumefaciens*. Plant Cell Report 28: 903-913.
14. Jefferson RA. 1987. Assaying chimeric genes in plants: the GUS gene fusion system. Plant Molecular Biology 5: 387-450.
15. Kiedrowski S, Kawalleck P, Hahlbrock K, Somssich, I E, Dangl JL. 1992. Rapid activation of a novel plant defense gene is strictly dependent on the *Arabidopsis* RPM1 disease resistance locus. EMBO Journal 11, 4677-4684.
16. Lin J, Zhou B, Yang Y, Mei J, Zhao X, Guo X, Huang X, Tang D, Liu X. 2009. Piercing and vacuum infiltration of mature embryo: a simplified method for *Agrobacterium*-mediated transformation of indica rice. Plant Cell Report 28: 1065-1074.
17. Liu Z, Park BJ, Kanno A, Kameya T. 2005. The novel use of a combination of sonication and vacuum infiltration in *Agrobacterium*-mediated transformation of kidney bean (*Phaseolus vulgaris* L.) with lea gene. Molecular Breeding 16: 189-197.
18. Mohan JS. 2001. Tissue culture-derived variation in crops improvement. Journal of Plant Breeding 118: 153-160.
19. Murray MG, Thompson WF. 1980. Rapid isolation of high-molecular-weight plant DNA. Nucleic Acids Research 8: 4321-4325.
20. Raineri D, Bottino P, Gordon M, Nester E. 1990. *Agrobacterium* transformation of rice (*Oryza sativa* L.) Biotechnology 8: 33-38.
21. Razzaq A, Hafize I, Mahmood I, Hussain A. 2011. Development of *in planta* transformation protocol for wheat. African Journal of Biotechnology 740-750.
22. Saharan V, Yadav RC, Yadav NR, Rab K. 2004. Studies on improved *Agrobacterium*-mediated transformation in two indica rice (*Oryza sativa* L.). African Journal of Biotechnology 3 (11): 572-575.
23. Supartana P, Shimizu T, Shiori H, Nogawa M, Nozue M, Kojima M. 2005. Development of simple and efficient *in planta* transformation method for rice (*Oryza sativa* L.) Using *Agrobacterium tumefaciens*. Bioscience and Bioengineer 100: 391-397.
24. Supartana P, Shimizu T, Nogawa M, Hidenari S, Nakajima T, Haramoto N, Nozue M, Kojima M. 2006. Development of simple and efficient *in planta* transformation method for wheat (*Triticum aestivum* L.) using *Agrobacterium tumefaciens*. Bioscience and Bioengineer 102 (2): 162-170.
25. Wang K. 2006. Methods in Molecular Biology, vol. 343: *Agrobacterium* Protocols, 2/e, volume 1 Humana Press Inc., Totowa, NJ.
26. Wang MB, Waterhouse PM. 1997. A rapid and simple method of assaying plants transformed with hygromycin or PPT resistance genes. Plant Molecular Biology Report 15: 209-215.
27. Wu H, Sparks C, Amoah B, Jones HD. 2003. Factors influencing successful *Agrobacterium*-mediated genetic transformation of wheat. Plant Cell Report 21: 659-668.
28. Xu GS, Rao YQ, Chen Y, Zhang CY, Meng JL. 2004. Genetic transformation of *Brassica napus* with *in planta* method. Acta Agronomy Sinica 30: 1-5.
29. Yu XD, Shalitin X, Liu M, Maymon J, Klejnot H, Yang J, Lopez X, Zhao KT, Bendehakkalu L, Chentao L. 2007. Depression of the NC80 motif is critical for the photo activation of *Arabidopsis* CRY2. Proceedings of the National Academy of Sciences USA 104: 7289-7294.
30. Zhao TJ, Zhao SY, Chen HM, Zhao QZ, Hu ZM, Hou BK, Xia GM. 2006. Transgenic wheat progeny resistant to powdery mildew generated by *Agrobacterium* inoculum to the basal portion of wheat seedling. Plant Cell Report 25:1199–1204.
31. Zhao Z, Sagulenko E, Ding Z, Christie PJ. 2001. Activities of *virE1* and *virE1* secretion chaperone in export of the multifunctional *virE2* effectors via an *Agrobacterium* type IV secretion pathway. Journal of Bacteriology 183: 3855-3865.



## ارزیابی پاسخ‌های مولکولی دو رقم گندم به قارچ عامل ژنک قهوه‌ای

*Puccinia triticina* E.

### Molecular Analysis of Two Commercial Wheat Cultivars in Response to Brown Rust Agent *Puccinia triticina* E.

عارفه اصغری<sup>۱</sup>، ولی‌اله بابایی‌زاد<sup>\*۲</sup>، محمدعلی تاجیک قبری<sup>۲</sup>، صفرعلی مهدیان<sup>۳</sup>

Arefeh Asghari<sup>1</sup>, Valiollah Babaeizad<sup>\*2</sup>, Mohammad Ali Tajik Ghanbari<sup>2</sup>,  
Safar Ali Mahdian

۱ و ۲- به ترتیب دانش‌آموخته کارشناسی ارشد و عضو هیئت علمی گروه گیاه‌پزشکی،  
دانشگاه علوم کشاورزی و منابع طبیعی ساری

1 and 2- Postgraduate and Assistant Professor of Plant-Pathology in Sari  
University of Agricultural Sciencesand Natural Resources.

\* نویسنده مسئول مکاتبات، پست الکترونیکی: babaiezad@yahoo.com

(تاریخ دریافت: ۹۲/۷/۷ - تاریخ پذیرش: ۹۲/۱۲/۴)

#### چکیده

بیماری‌های گیاهی یکی از محدودیت‌های بزرگ در تولید محصولات کشاورزی به شمار می‌روند. ژنک قهوه‌ای با عامل Puccinia triticina، یکی از مهم‌ترین بیماری‌های گندم است. با توجه به اینکه، استفاده پیش از حد از مواد شیمیایی در کشاورزی جهت کنترل بیماری‌ها، سبب آلودگی محیط زیست و مقاومت پاتوژن‌ها به این مواد می‌شود، پیدا کردن روشی جایگزین برای مدیریت بیماری‌ها امری ضروری به نظر می‌رسد. امروزه پیشرفت‌های گسترده در علم زیست‌شناسی مولکولی فهم بشر را از تعاملات بین گیاه-بیمارگر، ژن‌های دخیل در مقاومت و مسیرهای سیگنال‌دهی بهبود بخشیده است. این یافته‌ها می‌توانند راهکار ژنتیک مناسب و کارآمدی را به منظور افزایش مقاومت گیاهان به بیمارگرها پیش روی پژوهشگران قرار دهد. در این میان ژن‌های مقاومت گیاهان (R genes)، منابع ژنتیک با ارزشی هستند که می‌توان از آن‌ها در راستای تولید گیاهان تواریخته مقاوم به عوامل تشخیص استفاده کرد. این پژوهش با هدف غربالگری ۵ رقم تجاری و ۱۵ لاین تا حدودی ایزوژنیک گندم و تجزیه مولکولی دو رقم تجاری گندم در تعامل با قارچ *P. triticina* انجام شد. بر اساس نتایج غربالگری، رقم مروارید به عنوان رقم حساس و رقم آرتا به عنوان ژنوتیپ مقاوم انتخاب شدند. گیاهچه‌های گندم، در مرحله دو برگی، با سوسپانسیون اسپور قارچ *P. triticina* تیمار و نمونه‌برداری از برگ‌های اول در ساعات مختلف پس از آلودگی انجام شد. آر.ان.ای کل از نمونه‌های برگی استخراج و پس از ساخت دی.ان.ای مکمل (cDNA) (qRT-PCR)، بیان ژن‌ها با استفاده از روش Quantitative Real Time PCR (qRT-PCR) مورد ارزیابی قرار گرفت. نتایج حاصل از این پژوهش نشان داد که بیان ژن‌های LTP و Lipase PAL در رقم مقاوم آرتا نسبت به رقم حساس مروارید، پس از مایه‌زنی به شدت افزایش یافت. یافته‌های حاصل از این پژوهش حاکی از نقش فعل ژن‌های فوق در مکانیسم‌های مقاومت گیاه گندم با P. triticina هستند.

#### واژه‌های کلیدی

زنک قهوه‌ای گندم

ژن‌های مقاومت

cDNA  
qRT-PCR

## مقدمه

مشخص نیست ولی به نظر می‌رسد پاسخ‌های دفاعی وابسته به جاسمونیک اسید و اتیلن توسط نکروتروفها و پاسخ‌های وابسته به SA توسط بیوتروفها فعال شود. به هر حال هم پوشانی بین مسیرهای سیگنانالی مختلف و گاهی اثرهای سینزیستی، بین مسیرهای مختلف وابسته به SA، اتیلن و JA گزارش شده است (Thomma *et al.* 1998). هر ۳ مسیر دفاعی در ارتباط با افزایش نسخه‌های ژن‌های دفاعی زیادی هستند. پروتئین‌های مرتبط با بیماری زایی<sup>۱</sup>، به طور معمول به عنوان پروتئین‌های خاص میزبانی بوده که به طور طبیعی در گیاهان غیرآلود در سطح بسیار پایین تولید، ولی پس از حمله پاتوژن‌ها، حشرات و جونده‌ها، هم‌چنین پس از جراحات و شرایط استرس‌زا محيطی افزایش می‌یابند (Van Loon *et al.* 2006).

PAL<sup>۲</sup>، آنزیمی حیاتی در مسیر فنیل پروپانوئید است که نقش مهمی را در مقاومت گیاهان از طریق دخالت در مسیرهای ساخت ایزو‌فلاؤنوییدها<sup>۳</sup> و فنیل‌پروپانوییدها<sup>۴</sup> که فعالیت فیتوالکسینی دارند ایفا می‌کند. این پروتئین هم‌چنین در ترکیبات لیگنانین، سوپرین و دیگر مواد فنلی دیواره سلولی گیاه میزبان که در محل حمله بیمارگر در ساختارهایی مانند پاپیلا، به منظور جلوگیری از گسترش هیف‌های قارچ تجمع می‌یابند، به عنوان یک پیش‌ماده عمل می‌کند. افزایش بیان ژن PAL در بررسی‌های متعدد، به عنوان ژن دخیل در مقاومت، با اثر مستقیم در افزایش SA، فعال کردن ژن NPRI و به دنبال آن بیان ژن‌های PR و نیز القای سریع مرگ گیاهان علیه پاتوژن‌ها اثبات شده است (Fitzgerald *et al.* 2004). در سلولی به اثبات رسیده است (Li and Liao, 2003).

پژوهش‌های انجام شده، نقش موثر PAL در پاسخ‌های دفاعی گیاهان علیه پاتوژن‌ها اثبات شده است (Zhu *et al.* 1995). نقش مهم PAL در پاسخ‌های دفاعی پس از عفونت با قارچ عامل زنگ ساقه (سیاه)<sup>۵</sup>، در گندم اثبات شده است (Grover and Gowthaman, 2003).

آنژیمی است که توانایی هیدرولیز استرها را دارد و نقش اختصاصی تبدیل تری‌گلیسرید به گلیسرول و اسید چرب را ایفا می‌کند که به این عمل لیپولیز می‌گویند. لیپاز از لحاظ

گندم یکی از مهم‌ترین گیاهان زراعی است که نقش مهمی در تغذیه جوامع بشری دارد. بیماری زنگ قهوه‌ای با عامل Puccinia triticina Eriks. یکی از مخرب‌ترین بیماری‌های گندم در برخی نقاط دنیاست (Knott, 1989; McIntosh *et al.* 1995). این بیماری در جهان در درجه اول و در ایران بعد از زنگ زرد، در درجه دوم اهمیت قرار دارد. بهترین شیوه کنترل این بیماری، استفاده از ارقام مقاوم است. مقاومت از خصوصیات ژنتیک میزبان است که مخصوصین اصلاح نباتات از آن برای تولید ارقام مقاوم استفاده می‌کنند. از لاین‌هایی که در یک بررسی مقاوم تشخیص داده می‌شوند می‌توان در برنامه به نژادی دیگر، به عنوان منع مقاومت استفاده کرد. مقاومت ژنتیک، میزان مصرف سوم شیمیایی را کاهش داده و یا حذف می‌کند و در نتیجه به عنوان اقتصادی‌ترین و از لحاظ زیست‌محیطی، سالم‌ترین روش مبارزه با بیماری‌های گیاهی مطرح است (Roelfs *et al.* 1992).

دفاع در گیاهان بر پایه سدهای دفاعی اولیه و پاسخ‌های القایی استوار است (Grover and Gowthaman, 2003). این واکنش‌های اولیه، پیش‌نیاز آغاز شبکه‌های سیگنانالی بوده که سبب راه‌اندازی پاسخ‌های دفاعی سراسری می‌شوند. بدنبال حمله پاتوژن‌ها ممکن است سلول‌های دورتر از نقطه رخنه هم در برابر آلودگی‌های بعدی مقاوم شوند، پدیده‌ای که به نام مقاومت سیستمیک اکتسابی<sup>۶</sup> خوانده می‌شود. در بسیاری از گونه‌های گیاهی، SAR توسط Thomma *et al.* 1998 مقاومت سیستمیک القایی<sup>۷</sup>، نوعی مقاومت است که در اثر حمله سودوموناس و رایزوباکترهای غیربیماری زا بر روی ریشه گیاه القا می‌شود و حفاظت سیستمیک علیه قارچ‌ها، باکتری‌ها و ویروس‌ها ایجاد می‌کند. در بیشتر موارد پدیده ISR، مستقل از تولید و تجمع سالیسیلیک اسید و پروتئین‌های در ارتباط با بیماری زایی است و نیازمند پاسخ‌های دفاعی وابسته به جاسمونیک اسید<sup>۸</sup> و اتیلن است. مکانیسم دقیق ISR به طور کامل

## 5- Pathogenesis Related Proteins

6- Phenyl alanin ammonia lyase

7- isoflavonoids

8- phenylpropanoids

9- *Puccinia graminis* f.sp. *tritici*

1- Systemic acquired resistance (SAR)

2- Salicylic acid (SA)

3- Induce Systemic Resistance (ISR)

4- Jasmonic acid (JA)

راستای تولید گیاهان تاریخته مقاوم به عوامل تنفس را استفاده کرد. این پژوهش با هدف ارزیابی درجه مقاومت ۱۵ لاین به طور تقریبی ایزوژنیک و ۵ رقم تجاری گندم در پاسخ به جدایه مشخصی از قارچ عامل زنگ قهقهه‌ای، بر اساس تراکم جوش یا میانگین تعداد جوش‌ها در واحد سطح انجام شد. همچنین نرخ بیان ژن‌های *PAL* و *LTP* در ارقام حساس و مقاوم گندم تجاری انتخاب شده، در زمان‌های مختلف پس از آلوده‌سازی به عامل زنگ قهقهه‌ای مورد ارزیابی قرار گرفت.

## مواد و روش‌ها

تهیه نمونه: در این بررسی جدایه زنگ قهقهه‌ای مربوط به منطقه ساری (با شماره ایزوله ۹۰-۲۰)، ۵ رقم تجاری گندم شامل آرتا، دریا، مروارید، تجن و مغان ۳ و همچنین ۱۵ لاین به طور تقریبی ایزوژنیک گندم شامل *Lr1 Lr10 Lr9 Lr3 Lr2a Lr1 Lr11 Lr12 Lr16 Lr19 Lr21 Lr24 Lr25 Lr26 Lr28* و *Lr34* (با توجه به نتایج حاصل از پژوهش‌های مورفلوژیک پیشین) به منظور تعیین درجه مقاومت و حساسیت در آزمایش‌های غربالگری و سپس تجزیه ملکولی حساس‌ترین و مقاوم‌ترین ارقام، انتخاب و از موسسه تحقیقات اصلاح و تهیه نهال و بذر کرج تهیه شد.

تکثیر اسپور: برای تکثیر جدایه قارچ، اسپور به روش تک جوش خالص و سپس بر روی برگ اول گیاه‌چهه‌های ۷ روزه رقم حساس بولانی، مایه‌زنی شد. گیاه‌چهه‌های مایه‌زنی شده در محیط تاریک، در دمای ۱۵ تا ۱۷ درجه سلسیوس و در رطوبت اشباع، به مدت ۲۴ ساعت نگهداری و سپس به گلخانه با دمای ۲۰ تا ۲۵ درجه سلسیوس و رطوبت نسبی ۷۵ درصد منتقل شدند. اسپور خالص تکثیر شده در ویال‌های پلاستیکی و در فریزر با دمای -۴۰ درجه سلسیوس نگهداری و برای فعل کردن مجدد اسپورها، ویال‌های پلاستیکی به مدت ۳ دقیقه در دمای ۴۲ درجه سلسیوس بن‌ماری و سپس در دسیکاتور حاوی آب مقطور به مدت ۴۵ دقیقه قرار داده شدند.

تولید گیاه‌چهه‌ای همسان جهت آزمون غربالگری: جهت غربالگری لاین‌های اصلی، ۲۰ عدد بذر از هر لاین به مدت ۲۴ ساعت در ظرف حاوی آب مقطور و سپس بر روی کاغذ صافی

زیست‌شناسی، دگرگونی چربی‌ها را به سیله هیدرولیز باندهای Carriere *et al.* ۱۹۹۴)، لیپازها را می‌توان زیرمجموعه‌ای از استرازاها دانست که تری، دی و منوگلیسیریدهای موجود در حدفاصل بین روغن-آب را هیدرولیز می‌کنند. در پژوهش‌های انجام شده بر روی ویژگی‌های ژنتیک قارچ‌های عامل زنگ، افزایش قابل توجهی در میزان بیان چند نوع آنزیم لیپاز در برگ‌های گندم آلوود به زنگ سیاه، مشاهده شده است. این مسئله می‌تواند بیانگر نقش این پروتئین در مقاومت باشد (Duplessis *et al.* 2011).

<sup>۱۰</sup>LTP یا پروتئین‌های انتقال دهنده لیپید، از اعضای خانواده PR14 هستند که دارای فعالیت ضدقارچی و ضدبакتریایی قوی هستند (Molina *et al.* 1993). در سلول‌های گیاهی، لیپید یا چربی، از محل اصلی ساخت خود یعنی شبکه آندوپلاسمی<sup>۱۱</sup> به غشاء‌های درون‌سلولی مانند کلروپلاست و غشای میتوکندری منتقل می‌شود که این پروتئین‌ها مسئول انتقال چربی در داخل سلول هستند (Wirtz, 1991). گروهی از این پروتئین‌ها انتقال بین‌غشاء‌یاب انواع دیگری از ملکول‌های آلی به غیر از چربی را نیز تسهیل می‌کنند (Pozanski *et al.* 1999) None specific-LTP افزایش بیان<sup>۱۲</sup> یکی از انواع LTP در ژنوتیپ حساس گندم، موجب افزایش مقاومت آن در برابر *Fusarium graminearum* و *Cochliobolus sativus* می‌شود (Zhu *et al.* 2012). نرخ بیان پروتئین LTP در لاین مقاوم گندم آلوود به زنگ قهقهه‌ای در مقایسه با لاین حساس در سطح بالاتری قرار دارد (Hulbert *et al.* 2007).

یکی از رویکردهای مهندسی ژنتیک برای مبارزه با آفت‌ها و بیماری‌های گیاهی، مقاوم کردن گیاه از طریق دست‌کاری ژنتیک و انتقال ژن است. تولید گیاهان تاریخته حاوی ژن‌های تولیدکننده پروتئین‌های سمی که در مقابل آفت‌ها و بیمارگرهای خاصی بسیار سمی و مؤثر بوده و در عین حال برای انسان، گیاه، محیط زیست و حشرات مفید، زیانی ندارند، از مثال‌های کاربردی مهندسی ژنتیک در کشاورزی است. ژن‌های مقاومت گیاهان (genes R)، منابع ژنتیک با ارزشی هستند که می‌توان از آن‌ها در

10- Lipid Transfer Proteins

11- ER

12- Overexpress

ساعت روشنایی و رطوبت ۷۵ درصد نگهداری شدند. نمونه‌گیری از برگ‌های اول گیاهچه‌ها در زمان پیش از مایه‌زنی و در ساعت ۱۲، ۲۴ و ۴۸ پس از تلقیح انجام گرفت و پس از پودر شدن با ازت مایع در فریزر با دمای -۸۰ درجه سلسیوس نگهداری شدند. استخراج آر.ان.ا.ی و زدودن دی.ان.ا. ژنومی از نمونه‌ها: محتوی آر.ان.ا.ی کل از برگ‌های نمونه‌برداری شده در زمان‌های مختلف با استفاده از کیت RNXplus (شرکت سیناژن) انجام شد. به منظور زدودن دی.ان.ا.ی ژنومی از نمونه‌های آر.ان.ا.ی، از کیت RQ1 RNase-free DNase شرکت Fermentas طبق دستورالعمل شرکت سازنده استفاده شد.

بررسی کیفیت و کمیت آر.ان.ا.ی استخراجی: به منظور بررسی کیفیت آر.ان.ا.ی استخراجی از دو روش استفاده شد. نمونه‌های استخراج شده، با استفاده از ژل آگارز ۱/۵ درصد در بافر TAE (40mM Tris acetate, 1 mM EDTA 1X) ژل در اتیدیوم بروماید ( $0.5 \mu\text{g/mL}$ ) به مدت ۱۵ دقیقه رنگ‌آمیزی و بعد از شستشو با آب مقطر با UV دستگاه ژل‌خوان کدامک از آن عکس‌برداری شد. درجه خلوص و غلظت نمونه‌ها در طول موج‌های ۲۶۰ و ۲۸۰ نانومتر و بوسیله دستگاه اسپکتروفوتومتر بررسی شد.

ساخت cDNA و بررسی کیفیت: cDNA با استفاده از کیت Revert Aid First Standard cDNA (شرکت Fermentase) و بر اساس دستورالعمل، از محتوی آر.ان.ا.ی کل استخراج شده ساخته شد. نمونه‌ها تا زمان استفاده در -۲۰ درجه سلسیوس نگهداری شدند. تکثیر قطعات cDNA با استفاده از واکنش زنجیره‌ای پلی‌مراز<sup>۱۳</sup> و جفت آغازگر بتا-اکتین انجام شد. ارزیابی محصول واکنش بی‌سی. آر بر روی ژل آگارز ۱/۵ درصد در بافر TBE صورت گرفت.

بررسی میزان بیان ژن‌ها به کمک روش Quantitative real-time PCR: بیان ژن‌ها بوسیله qRT-PCR، و با استفاده از کیت M\*3000P Syber green و آغازگرهای مربوطه در دستگاه BioRad thermal cycler (BioRad) انجام شد.  $\mu\text{L}$  از cDNA رقیق شده (50 ngr) از هر نمونه به عنوان الگو در واکنش‌ها استفاده شد و به ترکیب:  $1 \mu\text{L}$  از هر آغازگر،  $7/5 \mu\text{L}$  سایبرگرین و  $8/5 \mu\text{L}$

درون تستک پتری استریل قرار داده شد. پس از مرطوب کردن کاغذ صافی با آب مقطر، برای یکنواخت ترشدن جوانه‌زنی، پتری‌ها در ژرمیناتور و در دمای ۲۵ درجه سلسیوس نگهداری و بعد از ۴۸ ساعت بذور جوانه زده به گلدان‌های حاوی خاک استریل منتقل شدند. گیاهچه‌ها در اتاقک رشد با تناوب ۱۶ ساعت روشنایی با دمای ۲۲ درجه سلسیوس و ۸ ساعت تاریکی با دمای ۲۰ درجه سلسیوس، با رطوبت نسبی ۷۵ درصد و به مدت یک هفته نگهداری شدند.

برگ‌های اول گیاهچه‌های ۷ روزه، بزیده و در پتری‌های حاوی محیط کشت نیمه جامد agar water نیم درصد حاوی ۲۰ میلی‌گرم در لیتر بنزیمیدازول قرار داده شدند. برگ‌های مربوط به لاین‌های ایزوژنیک و ارقام تجاری به طور تصادفی و با تکرارهای مساوی در کنار هم در هر پتری پخش شدند. این آزمایش ۲ مرتبه تکرار و در هر تکرار ۱۴ برگ از هر لاین بررسی شد. به منظور مایه‌زنی، از سوسپانسیون حاوی  $10^7$  اسپور در هر میلی‌لیتر آب مقطر استریل حاوی تویین  $20^7$  استفاده و سوسپانسیون بر روی نمونه‌ها اسپری شد. پتری‌ها به مدت ۲۴ ساعت در ژرمیناتور تاریک و در دمای ۱۵ تا ۱۷ درجه سلسیوس و با رطوبت اشباع نگهداری و سپس به گلخانه با دمای ۲۵-۲۰ درجه سلسیوس و رطوبت ۷۵ درصد منتقل شدند.

ارزیابی تیپ آلدگی: دوازده روز بعد از مایه‌زنی، ارزیابی میزان حساسیت هر لاین براساس شمارش تعداد جوش در سطح معینی از برگ‌های آلدگ (تعداد جوش‌ها در  $2/5$  سانتی‌متر مربع از هر برگ) و بوسیله استریو میکروسکوپ، صورت گرفت. تجزیه آماری داده‌ها در ۲ تکرار انجام شده آزمون غربالگری، با روش Duncan's Multiple Range Test

مایه‌زنی و جمع‌آوری نمونه جهت تجزیه ملکولی: جهت بررسی ملکولی ارقام تجاری آرتا (ژنوتیپ مقاوم) و مروارید (ژنوتیپ حساس) بر اساس نتایج غربالگری انتخاب شدند. گیاهچه‌های ۷ روزه ارقام مورد آزمایش در تجزیه ملکولی (آرتا و مروارید)، با سوسپانسیون اسپور تهیه شده به غلظت  $10^7$  اسپور در هر میلی‌لیتر، مایه‌زنی شدند. گیاهچه‌ها در اتاق رشد به مدت ۲۴ ساعت در تاریکی در دمای ۱۵ تا ۱۷ درجه سلسیوس و رطوبت اشباع و سپس در دمای ۲۰ تا ۲۵ درجه سلسیوس تناوب ۱۶

جدول ۱- جفت آغازگرهای مورد استفاده در آزمایش‌های زنجیره‌ای پلی‌مراز.

Table 1- Properties and Nucleotide sequences of primers used in qRT-PCR.

نام آغازگر	توالی آغازگر (5'→3')	طول نوکلئوتید (bp)	دما اتصال (°C)
TaActin	F: GGAAAAGTCAGAGAGAACG R: TACAGTGTCTGGATCGGTGG	150	60
TaLipase	F: CACAAAATATCGACCCACCAC R: ACTGGGTATTCTGTCTGCAGC	145	60
TaLTP	F: ACGTAGGTACTCCTCTCGCTGT R: GTTGATCGACCACTTCTTCATA	148	60
TaPAL	F: CCAATGTTCTGTCCGTCCTT R: CTTCAGCTTGTGGGTAGGT	150	60

قهوهای (تعداد جوش در ۲/۵ سانتی‌متر مربع از هر نمونه) با روش Duncan's Multiple Range Test، نشان داد که اختلاف بین لاین‌های مقاوم در مقایسه با لاین‌های حساس در میزان حساسیت به قارچ عامل زنگ قهوهای در سطح پنج درصد معنی‌دار است ( $P \leq 0.05$ ) (شکل ۱ و ۲).

بر این اساس، در بین ارقام تجاری، رقم آرتا و در بین لاین‌های به طور تقریبی ایزوژنیک Lr2a بیشترین نرخ مقاومت را نشان دادند. هم‌چنین رقم مروارید و Lr11 به ترتیب در بین ارقام تجاری و لاین‌های به طور تقریبی ایزوژنیک، بیشترین میزان حساسیت را نشان دادند. در مجموع بیشترین مقاومت به ترتیب در آرتا، Lr2a Lr24 Lr28 Lr19 Lr26 Lr25 در آرتا، Lr2a Lr24 Lr28 Lr19 Lr26 Lr25 و مغان ۳ مشاهده شد و Lr11 Lr34 Lr3 Lr12 Lr21 Lr10 Lr1 Lr16 Lr25 دریا و مروارید حساس‌ترین ارقام و ژنتوتیپ‌ها ارزیابی شدند (شکل ۱ و ۲).

در این بررسی شمارش تعداد کلی‌های قارچ عامل بیماری در تکرارهای لاین ایزوژنیک Lr9 ناهمگن بوده که به نظر می‌رسد این امر به دلیل عدم خلوص بذور در لاین فوق باشد. از این‌رو از بیان نتایج مربوط به این لاین صرف نظر شده است.

بخشی از نتایج این بررسی در ارتباط با ژنتوتیپ‌های با Afshari et al. 2005; Afshari, (2008). در پژوهش‌های انجام شده توسط افشاری و همکاران در سال ۱۳۸۶، برای لاین‌های حاوی ژن‌های Lr34 Lr36 Lr37 Lr18 Lr19 Lr25 Lr28 Lr29 Lr35 مشاهده نشد و در تمامی مناطق مورد بررسی واکنش مقاومت

آب (حجم نهایی:  $\mu\text{L}$  ۲۰) افزوده شد. پارامترهای دمایی جهت تکثیر مطابق زیر است.

- ۱- مرحله واسرشته‌سازی اولیه: ۴ دقیقه در ۹۵ درجه سیلیسیوس.
- ۲- مرحله واسرشته‌سازی: ۳۰ ثانیه در ۹۵ درجه سیلیسیوس.
- ۳- مرحله اتصال آغازگر: ۳۰ ثانیه در دمای ۶۰ درجه سیلیسیوس.
- ۴- مرحله تکثیر: ۲۰ ثانیه در دمای ۷۲ درجه سیلیسیوس.
- ۵- مرحله تکثیر نهایی: ۵ دقیقه در دمای ۶۰ درجه سیلیسیوس.
- و ۴۰ مرتبه چرخش بین مراحل ۲ الی ۴.

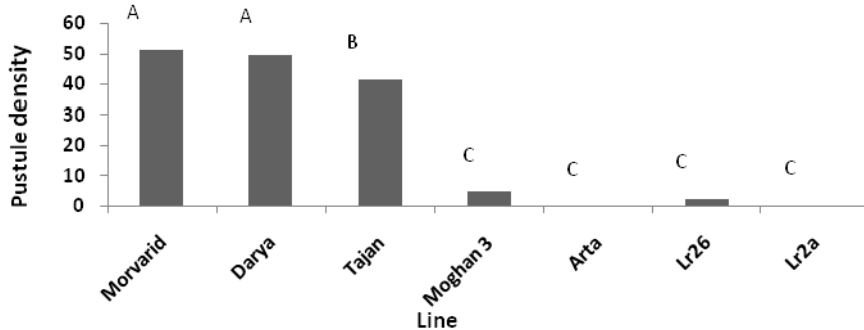
لیست آغازگرهای مورد استفاده در این پژوهش نیز در جدول ۱ آمده است. در تمام آزمایش‌ها از ژن  $\beta$ -Actin به عنوان ژن خانه‌دار استفاده شد. تمام واکنش‌های پی.سی. آر در ۲ تکرار انجام گرفت. تجزیه داده‌ها: تجزیه داده‌های دستگاه Real time با نرم‌افزار Bio-Rad cfx manager انجام شد. نرخ بیان هر ژن در این روش با استفاده از فرمول  $(\Delta\Delta\text{CT}) = \text{CT}_{\text{نمونه}} - \text{CT}_{\text{نمونه کنترل}} - (\text{CT}_{\text{ژن خانه‌دار}} - \text{CT}_{\text{ژن هدف}})$  (Livak and Schmittgen, 2001) محاسبه شد.

تجزیه داده‌ها، با محاسبه STDEV و TTEST در نرم‌افزار اکسل، انجام گرفت.

## نتایج و بحث

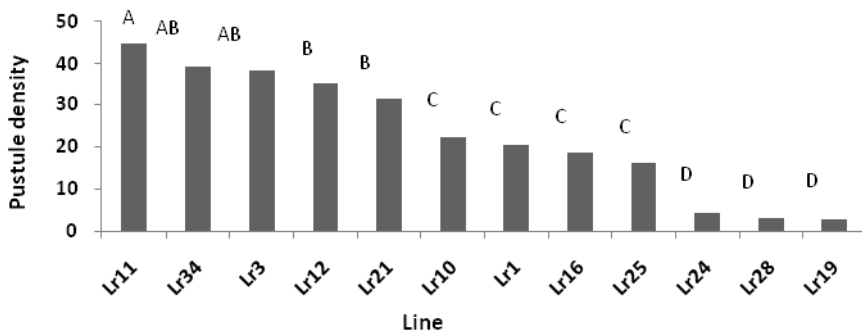
تجزیه آماری نتایج حاصل از واکنش غربالگری ۱۴ لاین به طور تقریبی ایزوژنیک و ۵ رقم تجاری گندم در مقابل جدایه زنگ

14- Threshold Cycle (Ct)



شکل ۱- نتایج آزمون غربالگری ۵ رقم تجاری و ۲ لاین به طور تقریبی ایزوژنیک گندم در مقابل با قارچ عامل زنگ قهوه‌ای گندم.

Figure 1- The result of screening 5 commercial and 2 near-isogenic lines of wheat in response to *P. triticina*.



شکل ۲- نتایج آزمون غربالگری ۱۴ لاین به طور تقریبی ایزوژنیک گندم در مقابل با قارچ عامل زنگ قهوه‌ای گندم.

Figure 2- The result of screening 14 near-isogenic lines of wheat in response to *P. triticina*.

شد و نرخ بیان این ژن پس از زمان اوج کاهش یافت و مجدداً در زمان ۴۸ (در اثر عفونت ثانویه) همزمان با تشکیل هوستوریوم و انشعابات شبکه میسیلیومی قارچ افزایش یافت. میزان رونوشت‌های این ژن در رقم مقاوم آرتا در زمان‌های ۱۲ و ۲۴ و ۴۸ ساعت پس از آلودگی، به ترتیب  $17/2$ ،  $4$  و  $7/22$  برابر زمان صفر به عنوان شاهد بوده است (شکل ۳). نرخ بیان این ژن در رقم مروارید در زمان‌های ۱۲، ۲۴ و ۴۸ ساعت پس از آلودگی به ترتیب  $4/03$ ،  $4/04$  و  $3/97$  برابر زمان صفر این رقم بوده است (شکل ۳). بیان ژن *PAL* در زمان اوج در رقم مقاوم آرتا  $4/2$  برابر آن در زمان مشابه در رقم حساس مروارید بود. آزمون مقایسه‌ای t-test نیز اختلاف معنی‌داری در سطح  $0/1$  و  $1$  درصد به ترتیب در زمان‌های ۱۲ و ۴۸ پس از مایه‌زنی بین این دو رقم نشان داده است (شکل ۳).

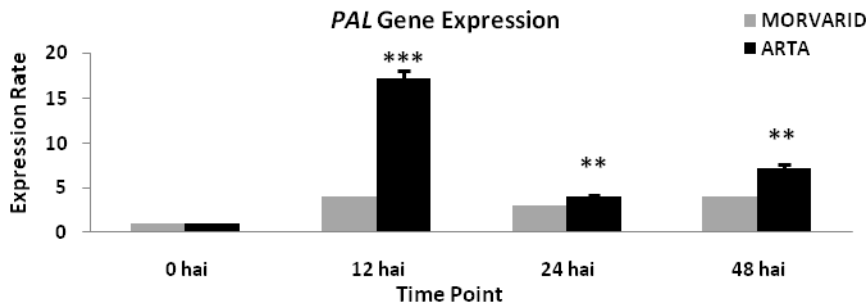
ژانکوان و همکاران (۲۰۰۹)، در پژوهش‌های خود بر روی

نشان دادند (Afshari *et al.* 2005). در پژوهش‌های انجام شده توسط افشاری در سال ۱۳۸۹، برای لاین‌های حاوی ژنهای *Lr19* *Lr23* *Lr25* *Lr26* *Lr28* *Lr32* *Lr36* *Lr2a* *Lr9* و *Lr14* بیماری زایی مشاهده نشد و در تمامی مناطق مورد بررسی واکنش مقاومت نشان دادند (Afshari, 2008).

بررسی بیان ژنهای دفاعی در ارقام آرتا و مروارید پس از آلودگی با قارچ *P. triticina*

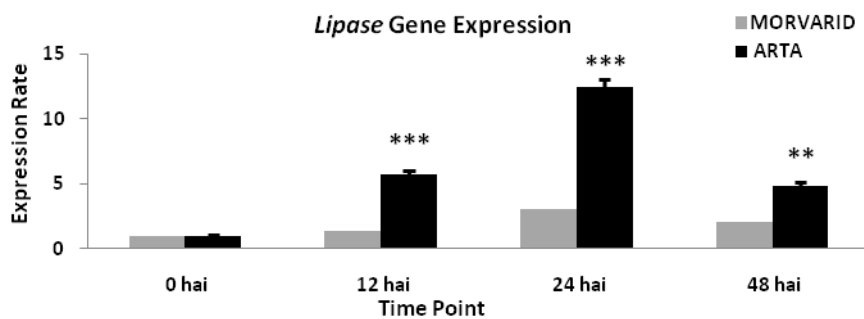
نرخ بیان ژن *PAL* در ارقام آرتا و مروارید پس از آلودگی با قارچ *P. triticina* میزان بیان ژن *PAL* در پاسخ به آلودگی در هر دو رقم آرتا و مروارید، در ساعت پس از مایه‌زنی<sup>۱۵</sup> افزایش یافت. بیشینه بیان این ژن نیز در ساعت ۱۲ پس از مایه‌زنی همزمان با جوانه‌زنی و تشکیل germ tube در هر دو لاین مشاهده

15- Hour after inoculation (hai)



شکل ۳- نرخ بیان ژن *PAL* در ارقام آرتا و مروارید پس از آلودگی با قارچ *P. triticina*. بر اساس آزمون t-test اختلاف معنی‌دار در سطح ۵ درصد با \*, اختلاف معنی‌دار در سطح ۱ درصد با \*\* و اختلاف معنی‌دار در سطح ۰/۱ درصد با \*\*\* مشخص شده است.

Figure 3- Effect of *P. triticina* on PAL activity in susceptible (Morvarid) and resistant (Arta) uninfected (0 hai) and infected (12, 24 and 48 hai) wheat. Analysis of data by Student's t-test showed significant difference between two cultivars ( $P<0.001=***$ ,  $P<0.01=**$ ,  $P<0.05=*$ ).



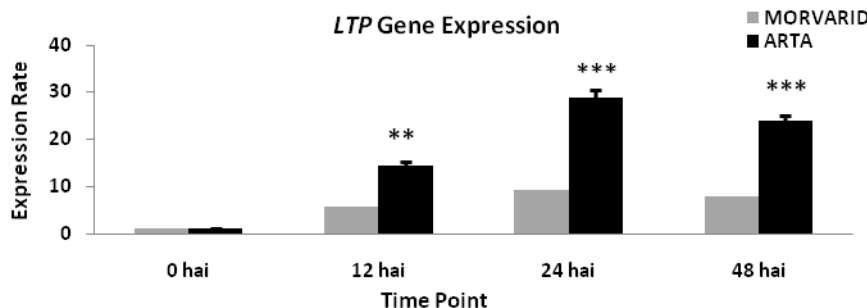
شکل ۴- نرخ بیان ژن *Lipase* در ارقام آرتا و مروارید پس از آلودگی با قارچ *P. triticina*. بر اساس آزمون t-test اختلاف معنی‌دار در سطح ۵ درصد با \*, اختلاف معنی‌دار در سطح ۱ درصد با \*\* و اختلاف معنی‌دار در سطح ۰/۱ درصد با \*\*\* مشخص شده است.

Figure 4- Effect of *P. triticina* on Lipase activity in susceptible (Morvarid) and resistant (Arta) uninfected (0 hai) and infected (12, 24 and 48 hai) wheat. Analysis of data by Student's t-test showed significant difference between two cultivars ( $P<0.001=***$ ,  $P<0.01=**$ ,  $P<0.05=*$ ).

میخ رخته به بیشینه سطح خود می‌رسد. نرخ بیان این ژن در هر دو رقم پس از زمان اوج کاهش می‌یابد. بیان این ژن در رقم آرتا در زمان‌های ۱۲، ۲۴ و ۴۸ ساعت پس از آلودگی به ترتیب ۵/۷۵، ۱۲/۴۳ و ۴/۸۴ برابر زمان صفر به عنوان شاهد بوده است (شکل ۴). نرخ بیان این ژن در رقم مروارید در زمان‌های ۱۲، ۲۴ و ۴۸ ساعت پس از آلودگی به ترتیب ۱/۳۵، ۱/۳۰۲ و ۲/۰۹ برابر زمان صفر این رقم بوده است (شکل ۴). بیان ژن *Lipase* در زمان اوج در رقم مقاوم آرتا ۱/۴ برابر آن در زمان مشابه در رقم حساس مروارید بوده است. آزمون مقایسه‌ای t-test نیز اختلاف معنی‌داری در سطح ۰/۱ درصد در زمان‌های ۱۲ و ۲۴ بین این دو رقم نشان

بررسی نقش G پروتئین‌ها در زنگ قهوه‌ای گندم، افزایش فعالیت آنزیم دفاعی PAL را در همان مراحل اولیه آلودگی و سریع تر از سایر PR پروتئین‌ها مشاهده کردند (ZhanQuan et al. 2009). در پژوهش‌های انجام شده توسط پاول (۲۰۱۰) در رابطه با بیان ژن *PAL* در برابر زنگ زرد فعالیت ضد میکروبی آن در مراحل اولیه پس از آلودگی مشاهده شده است (Powell, 2010).

نرخ بیان ژن *Lipase* در ارقام آرتا و مروارید پس از آلودگی با قارچ *P. triticina*: بیان ژن *Lipase* در هر دو رقم آرتا و مروارید پس از آلودگی با قارچ زنگ قهوه‌ای افزایش می‌یابد و در ساعت ۲۴ پس از آلودگی همزمان با تشکیل آپرسوریوم و به دنبال آن



شکل ۵- نرخ بیان ژن *LTP* در ارقام آرتا و مروارید پس از آلودگی با قارچ *P. triticina* P. بر اساس آزمون t-test اختلاف معنی‌دار در سطح ۵ درصد با \*, اختلاف معنی‌دار در سطح ۱ درصد با \*\* و اختلاف معنی‌دار در سطح ۰/۱ درصد با \*\*\* مشخص شده است.

Figure 5- Effect of *P. triticina* on LTP activity in susceptible (Morvarid) and resistant (Arta) uninjected (0 hai) and infected (12, 24 and 48 hai) wheat. Analysis of data by Student's t-test showed significant difference between two cultivars ( $P<0.001=***$ ,  $P<0.01=**$ ,  $P<0.05=*$ ).

در زمان‌های ۱۲، ۲۴ و ۴۸ ساعت پس از آلودگی به ترتیب ۵/۵۹، ۹/۱۷ و ۸/۰۰ برابر زمان صفر این رقم بوده است (شکل ۵). بیان ژن *LTP* در زمان اوج در رقم مقاوم آرتا ۳/۱ برابر آن در زمان مشابه در رقم حساس مروارید بود. آزمون مقایسه‌ای t-test نیز اختلاف معنی‌داری در سطح ۰/۱ درصد در زمان‌های ۲۴ و ۴۸ بین این دو رقم نشان داده است (شکل ۵).

مولینا و گارسیا اولمدو (۱۹۹۴) در پژوهش اثر ژن *LTP* در پاسخ‌های دفاعی جو به پاتوئن‌ها، مشاهده کردند که سطح بیان *Blumeria graminis* f.sp *hordei* در رقم مقاوم افزایش یافته و در ساعت ۱۶ پس از مایهزنی به اوج خود رسید که با نتایج این بررسی مطابقت دارد (Molina and Olmedo, 1993). بر اساس پژوهش‌های انجام شده توسط ژنگ و همکاران (۲۰۱۰) سطح بیان ژن *LTP2* در لاین مقاوم گندم پس از آلودگی به ژنگ زرد افزایش یافت و در زمان ۲۴ پس از آلودگی به اوج خود رسید و سپس به طور منظمی کاهش یافت که با نتایج این بررسی مطابقت دارد (Zeng et al.2010). لی و همکاران (۲۰۰۶) در بررسی نقش ژن *LTP* در مقاومت گندم به قارچ عامل سفیدک پودری *Blumeria graminis* f.sp. *tritici* به افزایش قابل ملاحظه رونوشت‌های این ژن در لاین مقاوم در مقایسه با لاین حساس در ساعت اولیه پس از آلودگی و سپس کاهش تدریجی آن پی بردن (Li et al.2006).

داده است (شکل ۴). در بررسی انجام شده توسط لو و همکاران (۲۰۰۵)، میزان بیان ژن لیپاز در هر دو لاین مقاوم و حساس گندم، پس از آلودگی با عامل سیاهک معمولی گندم، افزایش داشته است و در ساعت ۱۶ پس از آلودگی به حداقل سطح خود رسیده است و سپس به صورت تدریجی کاهش یافت. البته نرخ بیان این آنزیم در لاین مقاوم، همواره بیشتر از لاین حساس بوده است (Lu et al.2005). همچنین در مطالعه انجام شده توسط باقری بجستانی و همکاران (۲۰۱۲)، نرخ بیان ژن لیپاز، در لاین مقاوم گندم در برابر قارچ عامل *Fusarium graminearum* FHB در ساعت ۱۲ پس از آلودگی به بیشترین سطح خود رسید که بیانگر نقش مثبت این ژن در مقاومت است که با نتایج این بررسی مطابقت داردند (Bagheri Bajestani et al.2012).

نرخ بیان ژن *LTP* در ارقام آرتا و مروارید پس از آلودگی با قارچ *P. triticina*: بیان ژن *LTP* در هر دو رقم آرتا و مروارید پس از آلودگی با قارچ ژنگ قهوه‌ای، افزایش می‌یابد و در ساعت ۲۴ پس از آلودگی، همزمان با تشکیل آپرسوریوم و به دنبال آن میخ رخنه، به بیشترین سطح خود می‌رسد. نرخ بیان این ژن در دو رقم پس از زمان اوج به تدریج کاهش یافت. بیان این ژن در رقم آرتا در زمان‌های ۱۲، ۲۴ و ۴۸ ساعت پس از آلودگی به ترتیب ۱۴/۵۴، ۲۸/۸۴ و ۲۳/۸۶ برابر زمان صفر به عنوان شاهد بوده است (شکل ۵). بیان ژن *LTP* در رقم حساس مروارید نیز

کاهش مصرف سوم، افزایش کمیت و کیفیت محصول و از سوی دیگر کاهش صدمات واردہ به منابع زیستی مثل خاک و آب‌های زیرزمینی از جمله مزیت‌های حاصل از کاربرد گیاهان تاریخته است.

با توجه به نتایج این پژوهش و یافته‌های گذشته نتیجه‌گیری می‌شود که ژن *PAL* که در افزایش اسید سالسیلیک به طور مستقیم نقش دارد و خود به عنوان ملکول سیگنال با فعال کردن ژن *NPR1* موجب بیان ژن‌های *PR* (*PR1*, *PR2*, *PR3*, *PR5* و ...) می‌شود، در تولید گیاهان تاریخته، توصیه می‌شود. ارزیابی این ژن‌ها با استفاده از روش افزایش بیان و استفاده از آن‌ها در برنامه‌های اصلاحی در راستای تولید گیاهان تاریخته مقاوم که نقش مهمی در برنامه‌های مقاومت ژنتیک و ایمنی زیستی دارند پیشنهاد می‌شود. امید است که نتایج حاصل از این پژوهش در درک بهتر مقاومت گندم به قارچ عامل زنگ قهقهه‌ای و توسعه استراتژی‌های جدید در مبارزه با این بیماری از طریق تولید گیاهان تاریخته موثر باشد.

### منابع

1. Afshari F 2008. Identification of virulence factors of *Puccinia triticina*, the causal agent of wheat leaf rust in Iran. In: Proceedings of 11th International Wheat Genetics Symposium, Brisbane, Australia, 106 P.
2. Afshari F, Torabi M, Kia S, Dadrezaei S, Safavi SA, Chaichi M, Nasrolahi M, Karbalai Khiavi H, Zakeri A, Bahrami Kamangar S, Patpour M, Ebrahimnejad S. 2005. Monitoring of virulence factors of *Puccinia triticina* Eriksson, the causal agent of wheat leaf rust in Iran during 2002-2004. Seed and Plant 21:485-500 (in Farsi with English abstract).
3. Bagheri Bajestani F, Ramezanpour S, Soltanloo H, Vakili Bastam S. 2012. Study on differentially *Lipase* gene expression against different inducers of defense response in scab-resistant and susceptible wheat cultivars. J Rec Adv Agri 1(1):6-14.
4. Carriere F, Thirstrup K, Boel E, Verger R, Thim L. 1994. Structure-function relationships in naturally occurring mutants of pancreatic lipase. Protein Engineering 7(4):563-569.
5. Duplessis S, Cuomo CA, Lin YC, Aerts A, Tisserant E, Veneault-Fourrey C, Joly DL, Hacquard S, Amselem J, Cantarel BL. 2011. Obligate biotrophy features unraveled by the genomic analysis of rust fungi. In: Proceedings of the National Academy of Sciences, 108(22):9166-9171.
6. Fitzgerald HA, Chern MS, Navarre R, Ronald PC. 2004. Overexpression of (At) *NPR1* in rice leads to a BTH-and environment-induced lesion-mimic/cell death phenotype. Molecular Plant-Microbe Interactions 17(2):140-151.
7. Grover A, Gowthaman R. 2003. Strategies for development of fungus-resistant transgenic plants. Curr. Sci 84:330-40.
8. Hulbert SH, Bai J, Fellers JP, Pcheco MG, Bowden RL. 2007. Gene expression patterns in near isogenic lines for wheat rust resistance gene *Lr34/Yr18*. Phytopathology 97:1083-1093.
9. Knott DR 1989. The wheat rusts. Breeding for Resistance. Springer Verlag, Berlin, Heidelberg, 201 pp.
10. Li HP, Liao YC. 2003. Isolation and characterization of two closely linked phenylalanine ammonia-lyase genes from wheat. College of Plant Science and Technology, Huazhong Agricultural University, Wuhan ,China, 30(10):907-12.
11. Li AL, Meng CS, Zhou RH, Ma ZY, Jia JZ. 2006. Assessment of *Lipid Transfer Protein (LTP1)* gene in wheat powdery mildew resistance. Agricultural Sciences in China 5(4):101-105.
12. Livak KJ, Schmittgen TD. 2001. Analysis of relative gene expression data using real-time quantitative PCR and the 2 to the (-Delta Delta Ct) method. Methods 25:402-408.
13. Lu Z, Gaudet DA, Frick M, Puchalski B, Genswein

### نتیجه‌گیری

نرخ بیان ژن‌های مورد بررسی در این پژوهش در رقم مقاوم آرتا در مقایسه با ژنوتیپ حساس مروارید به طور معنی داری افزایش یافت و هم‌چنین سطح بیان این ژن‌ها در نمونه‌های شاهد (پیش از آلدگی) در هر دو لاین مورد بررسی در این آزمایش بسیار پایین بود. این نتایج حاکی از نقش مثبت این ژن‌ها در مکانیسم‌های مقاومت گیاه‌گندم در پاسخ به آلدگی قارچ عامل زنگ قهقهه‌ای است. به طور کلی ژنوتیپ‌های مختلف عکس العمل فیزیولوژیک و ژنتیک یکسانی را در برابر حمله بیمارگرها نشان نمی‌دهند. عملکرد صفت پیچیده‌ای است که تحت تاثیر اثر متقابل ژنوتیپ و محیط است. برای دستیابی به حداقل تولید، مقاوم بودن به آفات و بیماری‌ها ضروری است. عوامل بیماری‌زای قارچی، باکتریایی و ویروسی در مقاطع مختلف از مرحله رشد گیاه بیشترین خسارت را به محصول وارد می‌کنند. مهندسی ژنتیک هموواره سعی بر دستیابی به گیاهانی را دارد که حاوی ژن‌های مطلوب مقاومت به آفات‌ها و بیماری‌ها هستند. کاهش هزینه کشاورزان از طریق

- B, Laroche A. 2005. Identification and characterization of genes differentially expressed in the resistance reaction in wheat infected with *Tilletia tritici*, the common bunt pathogen. *Journal of Biochemistry and Molecular Biology* 38(4):420.
14. McIntosh RA, Welling CR, Park RF. 1995. Wheat Rust: an atlas of resistance genes. CSIRO, Australia, 200 pp.
15. Molina A, Garcia-Olmedo F. 1993. Developmental and pathogen-induced expression of three barley genes encoding lipid transfer proteins. *Plant J* 6:983-991.
16. Molina A, Segura A, and Garcia-Olmedo F. 1993. Lipid transfer proteins (nsLTPs) from barley and maize leaves are potent inhibitors of bacterial and fungal plant pathogens. *FEBS Lett* 316:119-122.
17. Powell NM. 2010. Phenotypic and genetic analysis of yellow rust resistance in the UK winter wheat cultivar Claire. Research final Report. Research, Education and Extension organization. PhD thesis. University of East Anglia, Norwich.
18. Poznanski J, Sodano P, Suh SW, Lee JY, Ptak M, Vovelle F. 1999. Solution structure of a lipid transfer protein extracted from rice seeds: comparison with homologous proteins. *Eur. J. Biochem* 259:692-708.
19. Roelfs AP, Singh RP, Saari EE. 1992. Rust disease of wheat: concepts and methods of disease management. CIMMYT, Mexico, D.F, 81pp.
20. Thomma BPHJ, Eggermont K, Penninckx IAMA, Mauch-Mani B, Vogelsang R 1998. Separate jasmonate-dependent and salicylate-dependent defense-response pathways in *Arabidopsis* are essential for resistance to distinct microbial pathogens. *Proc. Natl. Acad. Sci. USA*, 95:15107-11.
21. Van Loon LC, Rep M, Pieterse CMJ. 2006. Significance of inducible defense-related proteins in infected plants. *Annu. Rev. Phytopathol* 44:135-62.
22. Wirtz KWA. 1991. Phospholipid transfer proteins. *Annu. Rev. Biochem* 60:73-99.
23. Zeng X, Wang C, Ali M, Zhang H, Liu X, Li W, Ji W. 2010. Profiling gene expression patterns of strip rust (*Puccinia striiformis* f.sp. *tritici*) resistance gene in new wheat germplasm. *Pak. J. Bot* 42(6):4253-4266.
24. ZhanQuan Z, ShuiShan S, YingChun Z, WenXiang Y, DaQun L. 2009. Involvement of the heterotimeric G protein in the defense responses of wheat to *Puccinia triticina*. *Scientia Agricultura Sinica* 42(1):117-123.
25. Zhu Q, Dabi T, Beeche A. 1995. Cloning and properties of a rice gene encoding phenylalanine ammonia-lyase. *Plant Mol Biol* 29:535-50.
26. Zhu X, Li Z, Xu H, Zhou M, Du L, and Zhang Z. 2012. Overexpression of wheat lipid transfer protein gene TaLTP5 increases resistance to *Cochliobolus sativus* and *Fusarium graminearum* in transgenic wheat. *Funct Intergr Genomics DOI 10.1007/s10142-012-0286-z*.